



Archeologische opgraving Aalst, Merestraat

Titel

Aalst, Merestraat

Auteur

Nathalie Baeyens, Sander De Ketelaere, Piotr Pawelczak, Tina Dyselinck, Olivier Van Remoorter

Opdrachtgever

Durabrik

Projectnummer

2016-254

Plaats en datum

Gent, januari 2018

Reeks en nummer

BAAC Vlaanderen Rapport 608

ISSN 2033-6896

Inhoud

1	Inleiding	1
2	Bureauonderzoek	3
2.1	Landschappelijke en bodemkundige situering	3
2.1.1	<i>Topografische situering</i>	3
2.1.2	<i>Geologie en landschap</i>	6
2.1.3	<i>Bodem</i>	6
2.2	Historiek en cartografische bronnen.....	11
2.2.1	<i>Historische situatie</i>	11
2.2.2	<i>Cartografische bronnen</i>	11
2.3	Archeologische data	17
2.3.1	<i>Centrale Archeologische Inventaris</i>	17
2.3.2	<i>Archeologisch vooronderzoek</i>	19
3	Methode	21
3.1	Veldwerk	21
3.2	Uitwerking	23
4	Resultaten	26
4.1	Bodem (Piotr Pawelczak)	26
4.2	Spoorbeschrijving en interpretatie	29
4.2.1	<i>Algemeen</i>	29
4.2.2	<i>Beschrijving en interpretatie van de sporen en structuren</i>	29
5	Vondstmateriaal	38
5.1	Aardewerk.....	38
5.1.1	<i>Handgevormd aardewerk (Tina Dyselinck)</i>	38
5.1.2	<i>(Post-)middeleeuws aardewerk (Olivier Van Remoorter)</i>	45
5.2	Andere materiaalcategorieën	46
5.2.1	<i>Silex (Yves Perdaen)</i>	46
5.2.2	<i>Metaal</i>	46
6	Natuurwetenschappelijk onderzoek	47
6.1	Macrobotanische analyse (Clasine van Doorn).....	47
6.1.1	<i>Inleiding</i>	47
6.1.2	<i>Onderzoeksvragen</i>	47
6.1.3	<i>Methode</i>	48
6.1.4	<i>Resultaten</i>	48
6.1.5	<i>Conclusies</i>	48
6.2	Koolstofdateringen.....	49
6.2.1	<i>Inleiding</i>	49
6.2.2	<i>Onderzoeksvragen</i>	50
6.2.3	<i>Methode</i>	50
6.2.4	<i>Resultaten</i>	51
6.2.5	<i>Conclusies</i>	52

7	Analyse en interpretatie	54
8	Besluit	55
8.1	Algemeen.....	55
8.2	Beantwoording onderzoeksvragen	55
8.3	Besluit	57
9	Lijst met figuren	59
10	Bibliografie	60
11	Bijlagen	63
11.1	Lijsten	63
11.1.1	<i>Sporelijst</i>	63
11.1.2	<i>Fotolijst</i>	63
11.1.3	<i>Vondstenlijst</i>	63
11.1.4	<i>Profielenlijst</i>	63
11.2	Kaartmateriaal	63
11.2.1	<i>Overzichtsplan</i>	63
11.2.2	<i>Detailplan vlak 2</i>	63
11.2.3	<i>Detailplan vlak 3</i>	63
11.3	Bodemprofielen	63
11.4	Digitale versie van het rapport, de bijlagen en het fotomateriaal	63

Technische fiche

Naam site:	Aalst, Merestraat
Onderzoek:	Archeologische opgraving
Ligging:	Aalst
Kadaster:	Afdeling 2, Sectie C, Percelen: 1230C, 1230G, 1234Y, 1219F, 1239E
Coördinaten:	X: 125356.9528 Y: 180900.2873 (noordwesten van het terrein) X: 125456.9820 Y: 180939.3116 (noordoosten van het terrein) X: 125429.2322 Y: 180847.7514 (zuidoosten van het terrein) X: 125372.4091 Y: 180834.8602 (zuidwesten van het terrein)
Opdrachtgever:	Durabrik
Uitvoerder:	BAAC Vlaanderen bvba
Projectcode BAAC:	2016-254
Projectleiding:	Nathalie Baeyens
Vergunningsnummer:	2016/261
Naam aanvrager:	Nathalie Baeyens
Terreinwerk:	Nathalie Baeyens, Stefanie Sadones, Anna De Rijck, AdonisWardeh, Sander De Ketelaere.
Verwerking:	Nathalie Baeyens met bijdrages van Stefanie Sadones en Sander De Ketelaere
Wetenschappelijke begeleiding:	Niet van toepassing
Trajectbegeleiding:	Inge Zeebroek (Agentschap Onroerend Erfgoed Oost-Vlaanderen)
Bewaarplaats archief:	BAAC Vlaanderen bvba (tijdelijk)
Grootte projectgebied:	2,2 ha
Grootte onderzochte oppervlakte:	(met vlak verdiepingen) 7.000 m ²
Termijn:	Veldwerk: 7 dagen
Reden van de ingreep:	Ontwikkeling van het terrein tot een verkaveling met open en halfopen bebouwing.
Bijzondere voorwaarden	Opgesteld door het Agentschap Onroerend Erfgoed
Archeologische verwachting:	Bewoningssporen uit de metaaltijden en de Vroeg Romeinse periode.
Resultaten:	IJzertijd, kuilen, handgevormd aardewerk

1 Inleiding

Naar aanleiding van een geplande verkaveling heeft BAAC Vlaanderen bvba in opdracht van Durabrik een archeologische opgraving uitgevoerd aan de Merestraat te Aalst. Op het terrein zullen door Durabrik verschillende woningen en appartementen gerealiseerd worden. In het noordoosten van het terrein wordt een waterbuffering aangelegd. Dit gaat gepaard met graafwerken waardoor het bodemarchief zal verstoord worden. Eerder uitgevoerd onderzoek binnen het plangebied heeft aangetoond dat behoudenswaardige archeologische resten aanwezig zijn.

In het kader van het ‘archeologiedecreet’ (decreet van de Vlaamse Regering 30 juni 1993, houdende de bescherming van het archeologisch patrimonium, inclusief de latere wijzigingen) en het uitvoeringsbesluit van de Vlaamse Regering van 20 april 1994, is de eigenaar en gebruiker van gronden waarop zich archeologische waarden bevinden, verplicht deze waarden te behoeden en beschermen voor beschadiging en vernieling. In het licht van de bestaande wetgeving heeft de opdrachtgever beslist, in samenspraak met het Agentschap Onroerend Erfgoed, eventuele belangrijke archeologische waarden te onderzoeken voorafgaande aan de verkaveling. Dit kan door behoud *in situ*, als de waarden ingepast kunnen worden in de plannen, of *ex situ*, wanneer de waarden onomkeerbaar vernietigd worden. Na een evaluatie door middel van een prospectie met ingreep in de bodem/booronderzoek/overig is gebleken dat behoud *in situ* niet mogelijk is en een opgraving noodzakelijk is.

Het onderzoek werd uitgevoerd tussen 22/06/2016 en 29/06/2016. Projectverantwoordelijke was Nathalie Baeyens. Stefanie Sadones (2^{de} archeoloog), Anna De Rijck, Adonis Wardeh en Sander De Ketelaere werkten mee aan het onderzoek. Contactpersoon bij de bevoegde overheid, Agentschap Onroerend Erfgoed provincie, was Inge Zeebroek. Contactpersoon bij de opdrachtgever (*Durabrik*) was Bart Vanruymbeke.

Na dit inleidende hoofdstuk volgt een beknopt bureauonderzoek, met de gekende bodemkundige en archeologische gegevens betreffende het onderzoeksgebied en haar omgeving, aangevuld met een samenvatting van het vooronderzoek. Vervolgens wordt de toegepaste methode toegelicht. Daarna worden de resultaten van de archeologische opgraving gepresenteerd. Hieruit volgen een synthese en interpretatie van de occupatiegeschiedenis van het onderzoeksterrein.



Figuur 1: Situering onderzoeksgebied op orthofoto¹

¹ AGIV 2017

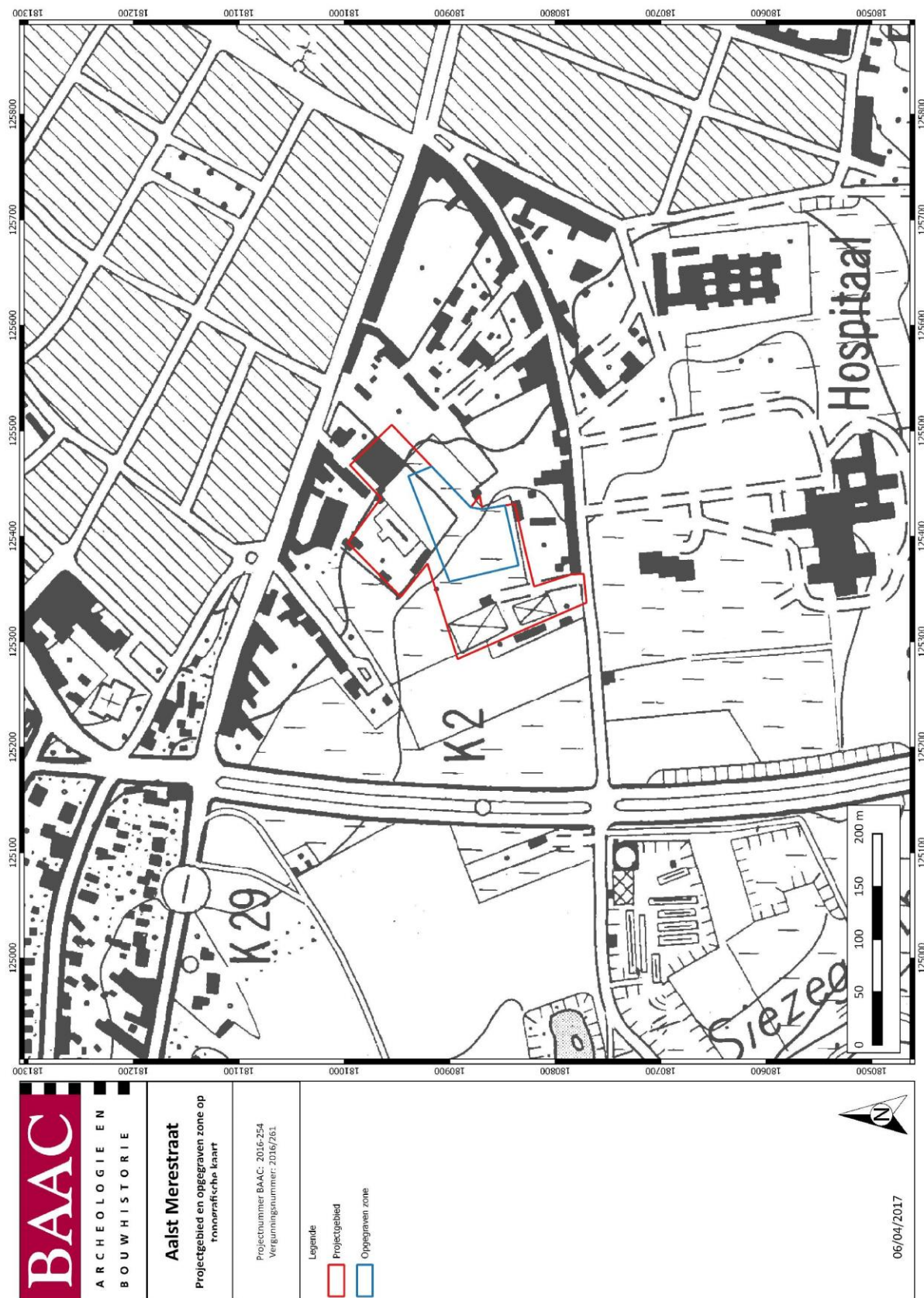
2 Bureauonderzoek

In dit hoofdstuk wordt een overzicht gegeven van de beschikbare kennis inzake bodemkunde, geomorfologie, historie en archeologie met betrekking tot de onderzoekslocatie en omgeving. Deze informatie vormt de basis voor de archeologische verwachting van het onderzoeksgebied.

2.1 Landschappelijke en bodemkundige situering

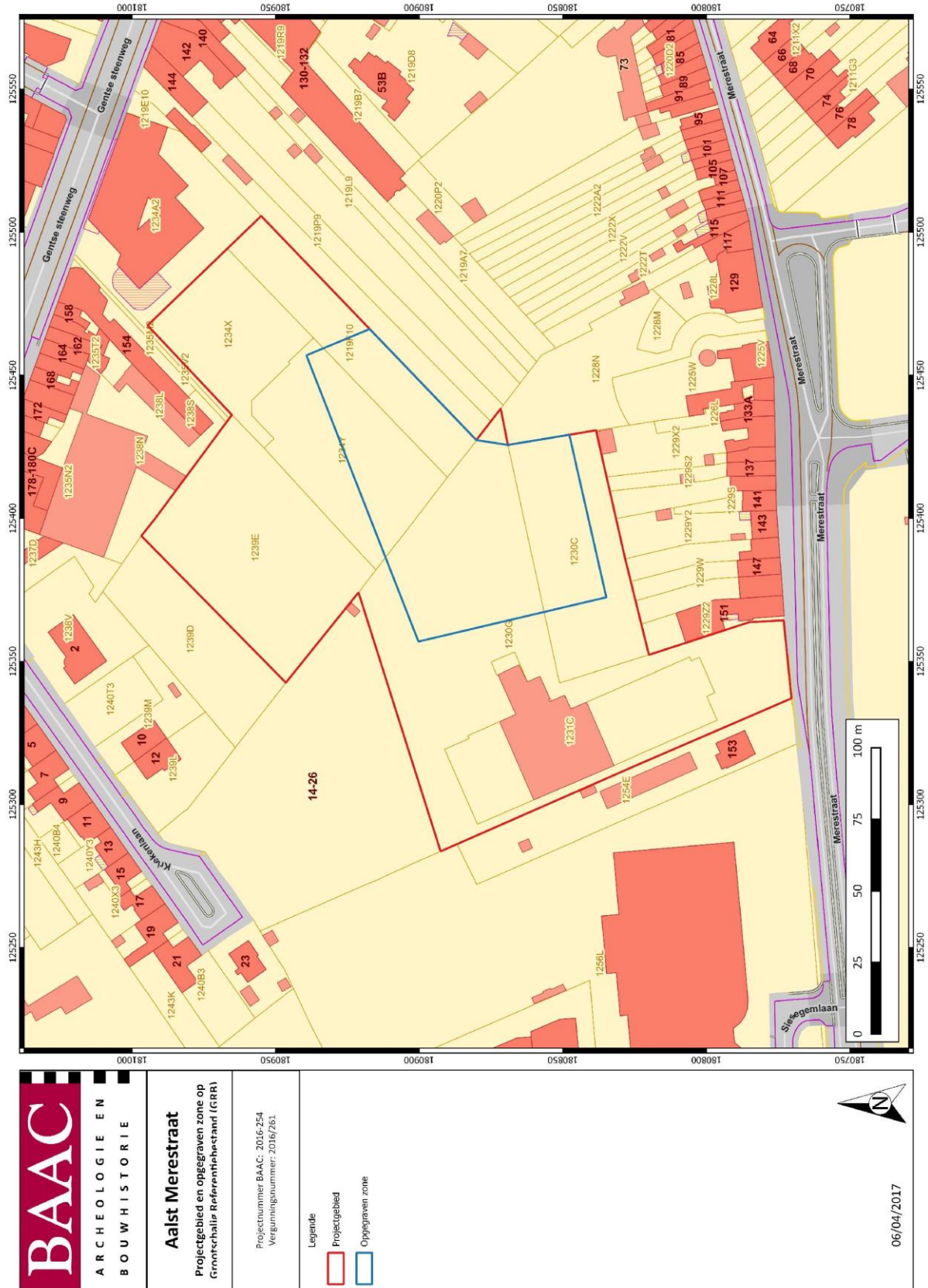
2.1.1 Topografische situering

De exacte locatie van het plangebied is weergegeven op Figuur 1. Het plangebied betreft een aaneengesloten gebied, gesitueerd tussen de Merestraat in het zuiden en de Gentse steenweg in het noordoosten. Het onderzoeksgebied heeft een totale oppervlakte van 6000 m² en bestaat uit de volgende perceelnummers: 1230C, 1230G, 1234Y, 1219F, 1239E. Bij aanvang van het archeologisch onderzoek was de grond niet in gebruik. Voorheen maakten de gronden deel uit van een plantenkwekerij (aan de westelijke zijde van het terrein) en grasland (aan de noordoostelijke zijde van het terrein). Op het terrein plant Durabrik een verkaveling en zal het bodemarchief verstoord worden. Het gevolg van deze ingreep is dat eventuele waardevolle archeologische resten vernietigd zullen worden.



Figuur 2: Situering onderzoeksgebied op de topografische kaart²

² AGIV 2017a



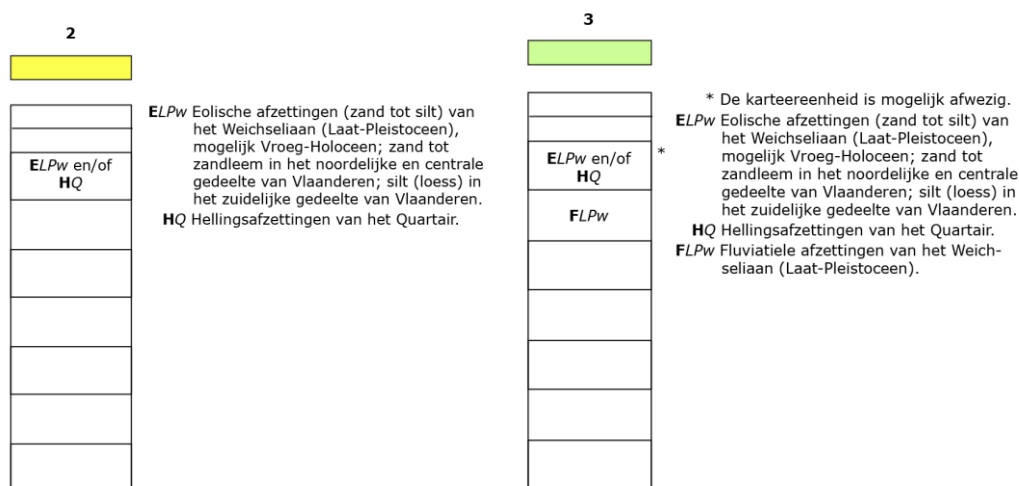
Figuur 3: Situering onderzoeksgebied op de kadastrale kaart³

³ AGIV 2017b

2.1.2 Geologie en landschap

Op basis van de *Databank Ondergrond Vlaanderen*⁴ wordt binnen het plangebied het Tertiair substraat gevormd door het Lid van Aalbeke (*KoAa*) (*Figuur 5*), dat bestaat uit donkergrijze tot blauwe klei dat glimmers bevat. Deze laag heeft zich gevormd in het vroeg-Eoceen.⁵

Quartairgeologisch gezien komen er, volgens de Quartairgeologische kaart met schaal 1:200.000, in het grootste deel van het plangebied *eolische afzettingen van het Weichseliaan* voor.⁶ De opgegraven zone ligt volledig binnen deze Quartaire eenheid. In het noordoosten van het plangebied bevinden er zich onder de eolische afzettingen ook nog *fluviaatiele afzettingen van het Weichseliaan*.⁷



Figuur 4: Kenmerken van de quartairgeologische kaart 1:200.000 voor het plangebied

Volgens de Quartairgeologische kaart met schaal 1:50.000 bestaat het zuidwestelijke gedeelte van het plangebied uit niveo-eolische sedimenten uit het Weichseliaan met een (zand-)lemige facies en zandige hellings sedimenten (nH). Het noordoostelijke gedeelte van het plangebied bestaat uit een zandige fluvio-periglaciale facies uit het Weichseliaan.⁸

2.1.3 Bodem

Op de bodemkaart van Vlaanderen⁹ is de bodem in het grootste deel van het plangebied gekarteerd als een *droge leembodem met textuur B-horizont (Aba1)*. In het noordoosten van het plangebied is ook een zone geklasseerd als een *bebouwde zone (OB)*.

⁴ DOV VLAANDEREN 2017

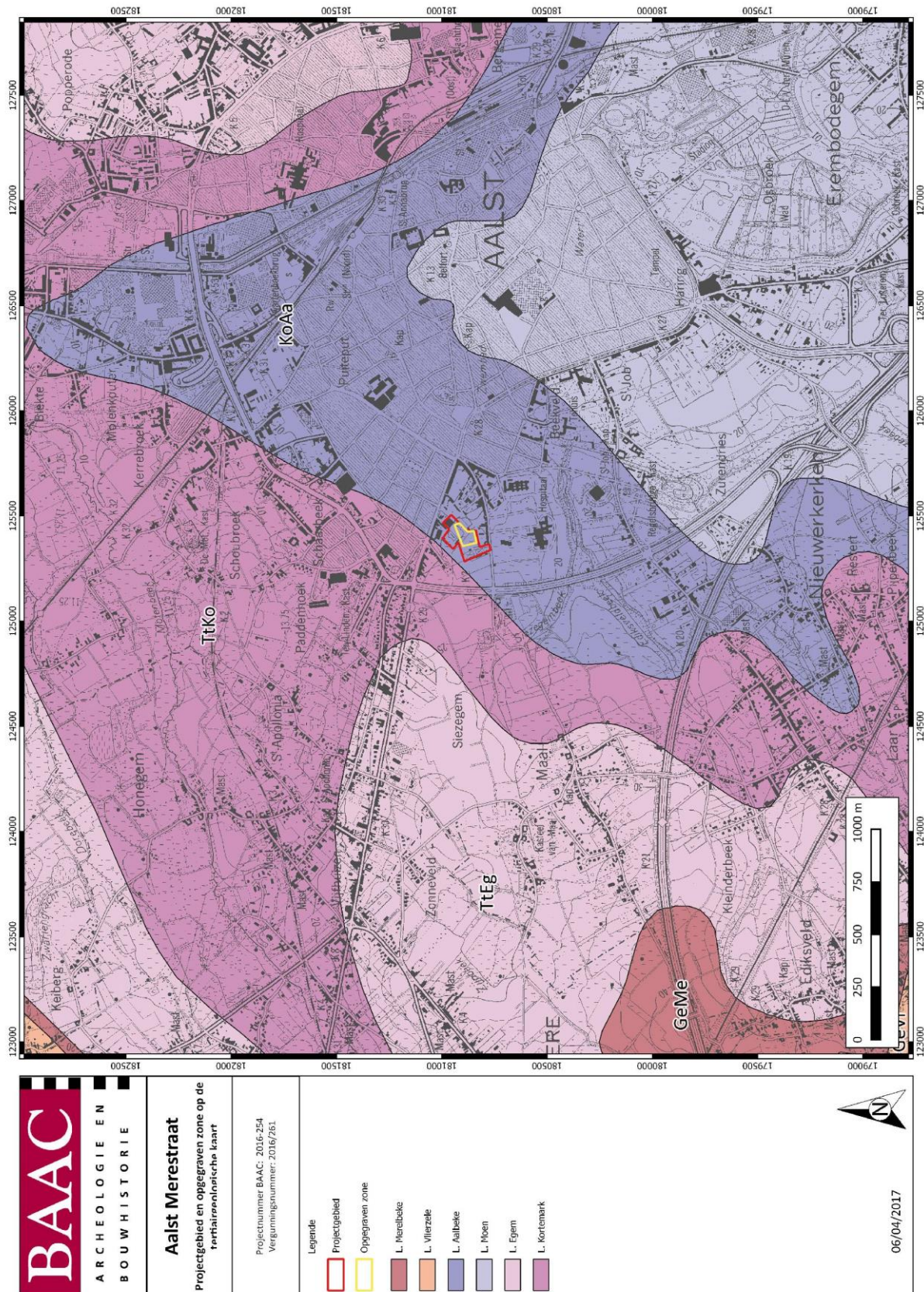
⁵ JACOBS P., DE CEUKELAIRE M., DE BREUCK W. 1996

⁶ DOV VLAANDEREN 2017b

⁷ DOV VLAANDEREN 2017b

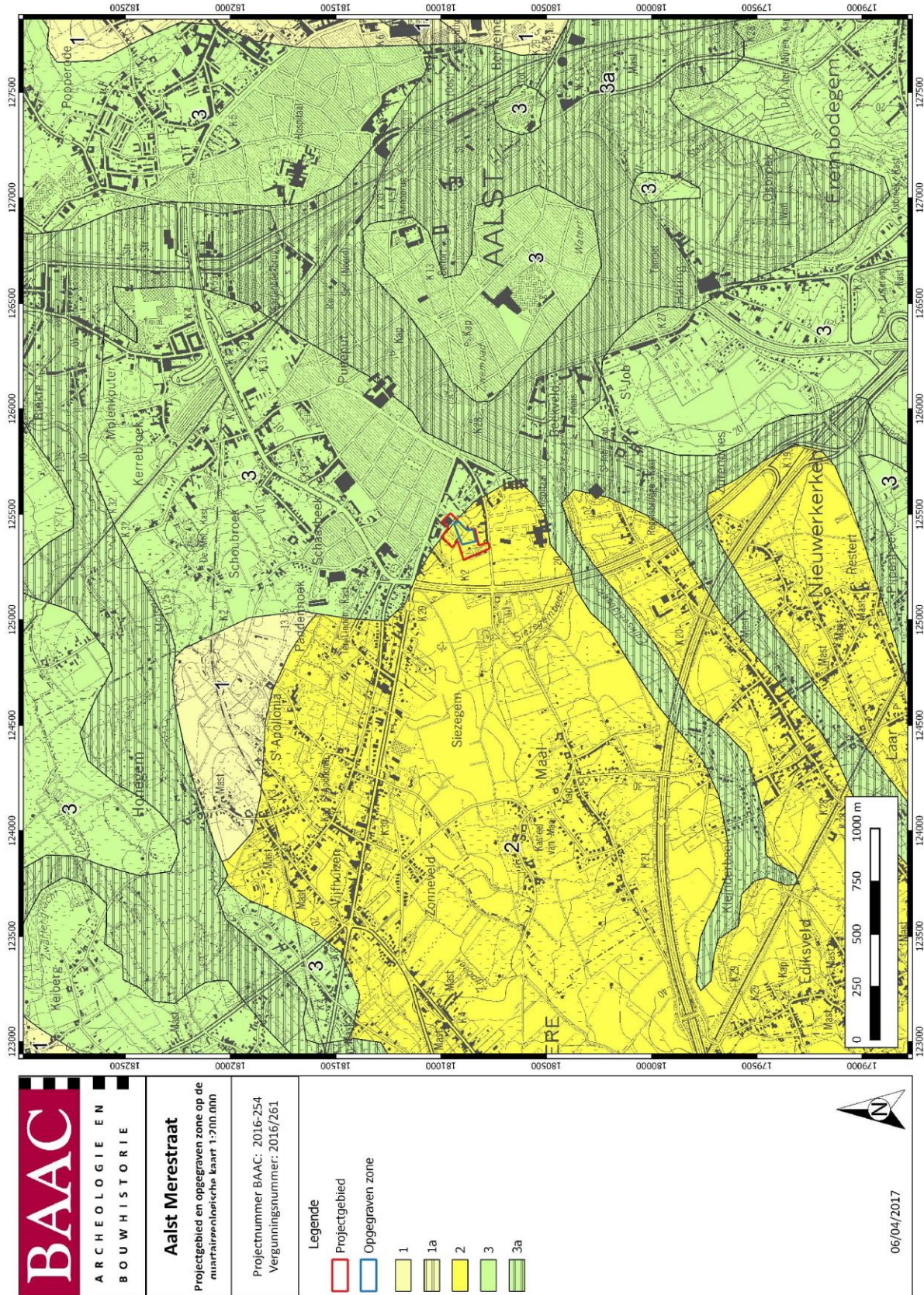
⁸ DE MOOR 2000

⁹ DOV VLAANDEREN 2017a



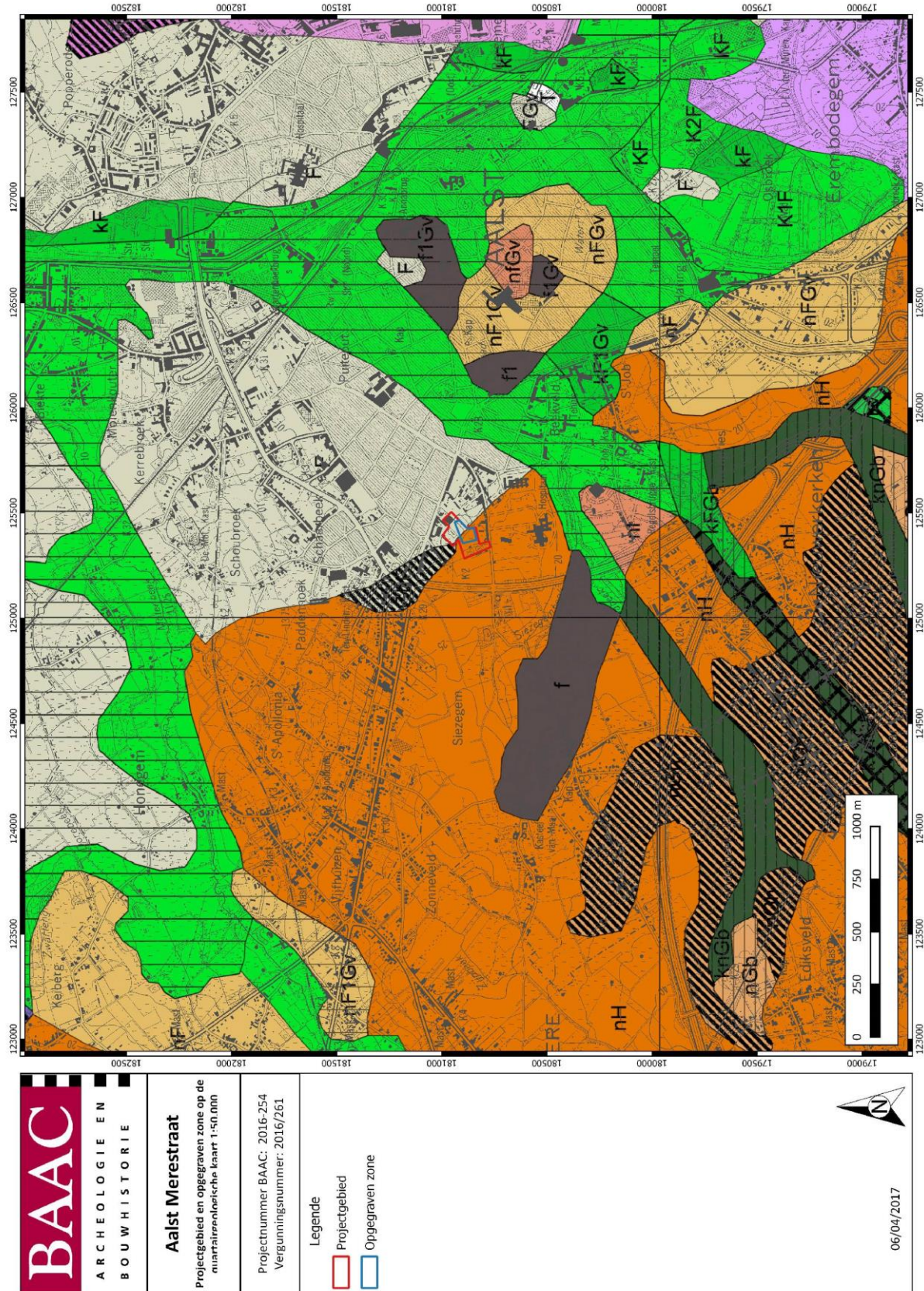
Figuur 5: Situering van het onderzoeksgebied op de Tertiairgeologische kaart¹⁰

¹⁰ DOV VLAANDEREN 2017



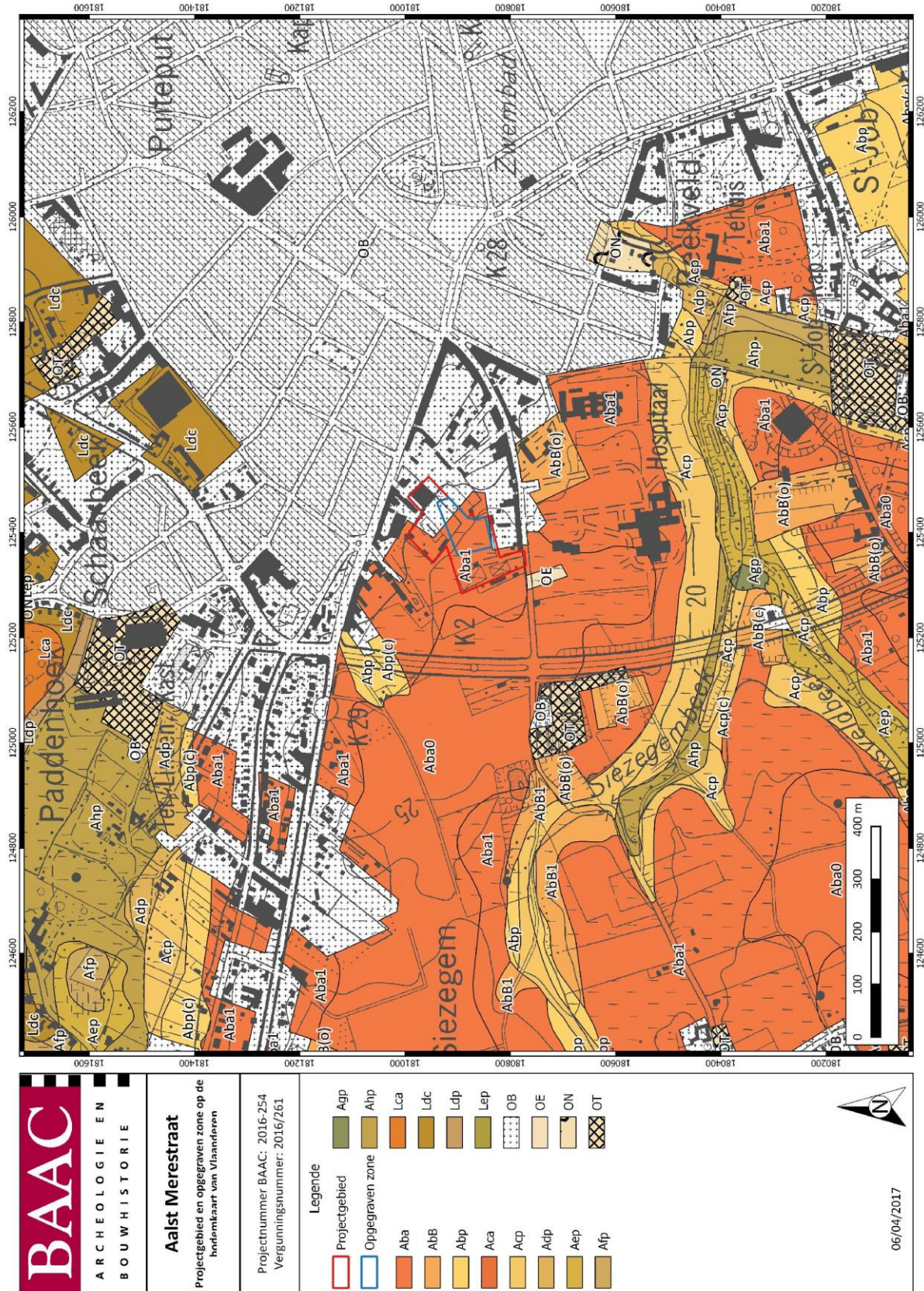
Figuur 6: Situering van het onderzoeksgebied op de Quartairgeologische kaart¹¹

¹¹ DOV VLAANDEREN 2017b



Figuur 7: Situering van het onderzoeksgebied op de Quartairgeologische kaart 1:50.000¹²

¹² DOV Vlaanderen 2017



Figuur 8: Situering onderzoeksgebied op de bodemkaart van Vlaanderen¹³

¹³ DOV VLAANDEREN 2017a

2.2 Historiek en cartografische bronnen

2.2.1 Historische situatie

Het onderzoeksgebied ligt net buiten het historische centrum van Aalst.¹⁴ Deze historische kern van deze stad situeert zich op de linkeroever van de Dender. De naam van de gemeente gaat waarschijnlijk terug tot een Germaanse benaming, *Alhusta*, wat naar een prehistorisch heiligdom verwijst.¹⁵ Archeologische vondsten van silexartefacten doen echter een veel oudere occupatie vermoeden. Vanaf de Romeinse tijd zou deze zeker bewoond zijn en lag ze langs twee secundaire heirbanen, Asse en Velzeke.¹⁶

Op het eind van de 4^e eeuw vestigden zich verschillende Frankische families in de regio. Die lieten zich in de 7^e eeuw kerstenen. In de 9^e eeuw werd de nederzetting verwoest door de Noormannen. Het is ook in deze periode, namelijk in 868 n.Chr., dat de gemeente voor het eerst vermeld wordt in een historische bron.¹⁷

Het heropbouwen van de nederzetting leidde tot een nieuwe bevolkingsaan groei, waarna de gemeente regelmatig terugkeert in de bronnen. Ze had namelijk een groot strategisch belang binnen het Graafschap Vlaanderen aangezien ze zich slechts op een paar kilometer van de grens met Brabant bevond. Daarnaast had ze ook een belangrijke handelsfunctie aangezien ze langs de handelsweg van Keulen naar Brugge lag. Vanaf 1049 werd de gemeente dan ook versterkt met wallen, torens en poorten.

Deze verdedigingen konden niet voorkomen dat de stad meermaals verwoest werd. In 1360 gebeurde dit door een brand, in 1380, 1452, 1480, 1572, 1582, 1645 en 1667 door verscheidene oorlogen.¹⁸

Het projectgebied zelf bevindt zich langs de Merestraat, die Aalst met Erpe-Mere verbindt, nabij het dorp Maal. Waarschijnlijk vormde de omgeving van dit dorp reeds van oudsher een geschikte nederzettingplaats gezien de hogere ligging binnen het landschap en de nabijheid van waterlopen.

2.2.2 Cartografische bronnen

Een andere belangrijke bron van informatie is het historisch kaartmateriaal. Om na te gaan of er bebouwing is geweest op het terrein in historische tijden, of dat het landgebruik van het perceel is gewijzigd doorheen de tijd, zijn enkele historische kaarten geraadpleegd. Hierbij moet wel rekening gehouden worden met het feit dat de eerste bruikbare kaarten pas vanaf de 16^e eeuw of later voorhanden zijn.

Het historisch kaartmateriaal geeft een beeld van hoe (eventuele) bebouwing evolueerde door de eeuwen heen, maar pas vanaf het moment dat de eerste kaarten voor het gebied verschenen, m.a.w. vanaf de 16^e eeuw. Bovendien is de afwezigheid van bebouwing op de kaarten geen garantie dat er geen bebouwing geweest is. In de beginperiode van de cartografie werden voornamelijk grotere nederzettingen en belangrijke bouwwerken zoals kerken, kloosters en kastelen weergegeven, en was er geen of weinig aandacht voor de “gewone bewoning”/burgerlijke architectuur. Pas vanaf de 19^e eeuw verschijnen de eerste gedetailleerde kaarten. Mogelijk eerder aanwezige middeleeuwse structuren waren misschien reeds verdwenen.

De oudste kaart waarop het plangebied duidelijk is te plaatsen, is de kaart van Aalst die gemaakt werd door Jacob van Deventer tussen 1558 en 1575. Deze kaart doet vermoeden dat het plangebied

¹⁴ De historische kern van Aalst zoals deze is vastgelegd door onroerenderfgoed zijnde de buitenste afbakening van de tweede middeleeuwse stadsomwalling.

¹⁵ VANDEPUTTE 2008

¹⁶ HASQUIN e.a. 1980

¹⁷ IOE, 2017

¹⁸ HASQUIN and VAN UYTVEN, 1980

gedeeltelijk binnen de *Leprosi* ligt. Hier moet echter wel de opmerking bij gemaakt worden dat historische kaarten van deze ouderdom moeilijk te refereren zijn. Het is waarschijnlijker dat de *Leprosi* zich juist ten noorden van het plangebied bevindt. De *Leprosi* bestaat uit een omgrachte of omwalde kerk met enkele gebouwen in het oosten.¹⁹



Figuur 9: Situering onderzoeksgebied op de kaart van Deventer (1558-1575)²⁰

De Ferrariskaarten zijn een verzameling van 275 uiterst gedetailleerde topografische kaarten van de Oostenrijkse Nederlanden. Ze zijn opgemaakt tussen 1771 en 1778 onder leiding van Joseph de Ferraris, een generaal bij de Oostenrijkse artillerie en veldmaarschalk in de Oostenrijkse Nederlanden. Het is de eerste systematische kartering van het Belgische grondgebied.²¹ Op de Ferrariskaart is de *Leprosi* reeds verdwenen. Dit komt overeen met het historisch gekende sluitingsjaar in 1566. Het enige dat overblijft zijn enkele kleine tuintjes en een klein gebouw. Dit is mogelijk de kapel die op latere kaarten vermeld wordt en een bedevaartsoord was (Figuur 10).

Ten zuidoosten van het plangebied bevindt zich een molen, de Mosseveldmolen. Deze molen werd vermoedelijk in 1758 opgericht. Het ging om een achtkantige stellingmolen, een type dat vrij uitzonderlijk was. De molen bleef in gebruik tot 1947 en bleef hierna nog bewaard. Bij de laatste restauratie werd het molenhuis afgebroken.

Een volgende bron zijn de Vandermaelenkaarten, die tussen 1795 en 1869 zijn gemaakt door Philippe Vandermaelen. Zijn gedetailleerde (schaal 1:20.000) 'Carte topographique de la Belgique' is tussen 1846 en 1854 gemaakt en bestaat uit 250 folio's.²² Ter hoogte van het plangebied wordt grotendeels dezelfde situatie afgebeeld. Waar de leprozerie was, zijn wel enkele gebouwen extra afgebeeld.

De situatie op de Popp-kaart uit de 2^e helft 19^e eeuw (1842-1879) toont dezelfde situatie als de kaart van Vandermaelen, met de toevoeging van de benaming kapel bij de gebouwen waar vroeger de leprozerie aanwezig was.

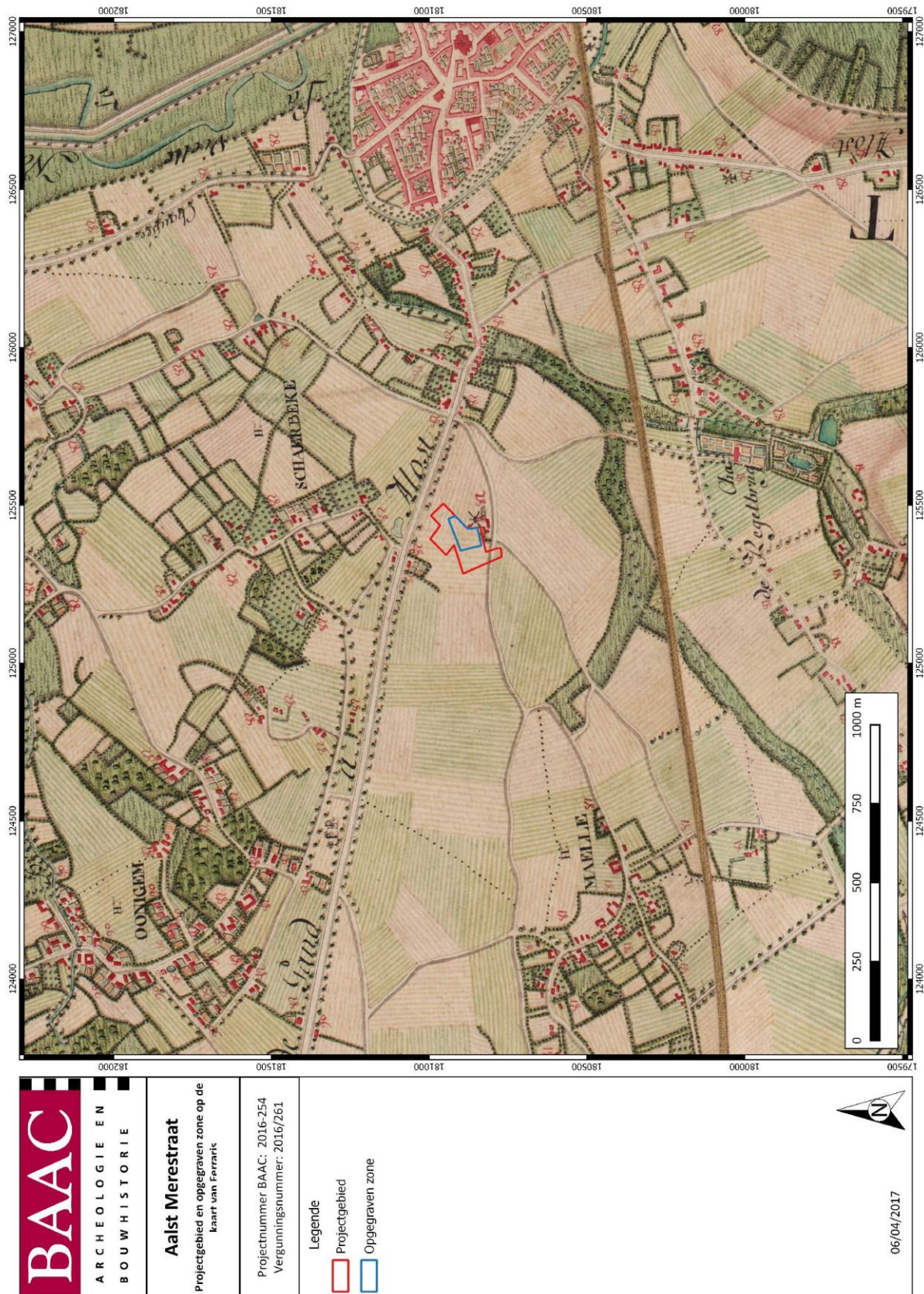
¹⁹ CARTESIUS 2016

²⁰ CARTESIUS 2016

²¹ KONINKLIJKE BIBLIOTHEEK VAN BELGIË 2016

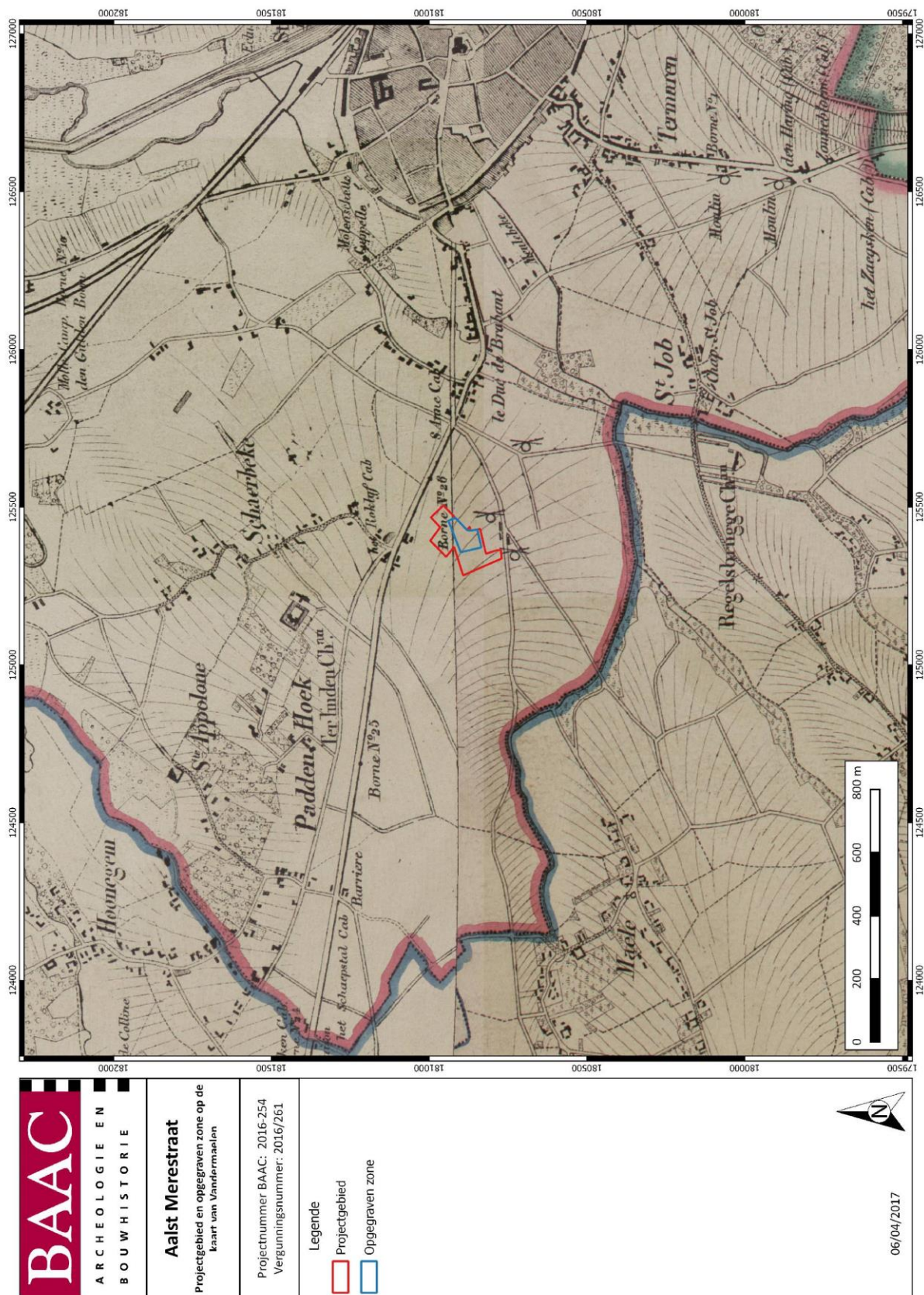
²² GEOPUNT 2017

Op de historische kaarten staan enkel velden afgebeeld en voor het plangebied en in de directe omgeving zijn weinig archeologische waarden gekend. Dit betekent echter niet dat er een lage verwachting kan voorop gesteld worden aangezien de ligging van het plangebied op een hoge en droge plaats in het landschap een sterke aantrekkingskracht had voor bewoning en akkerbouw in het verleden.



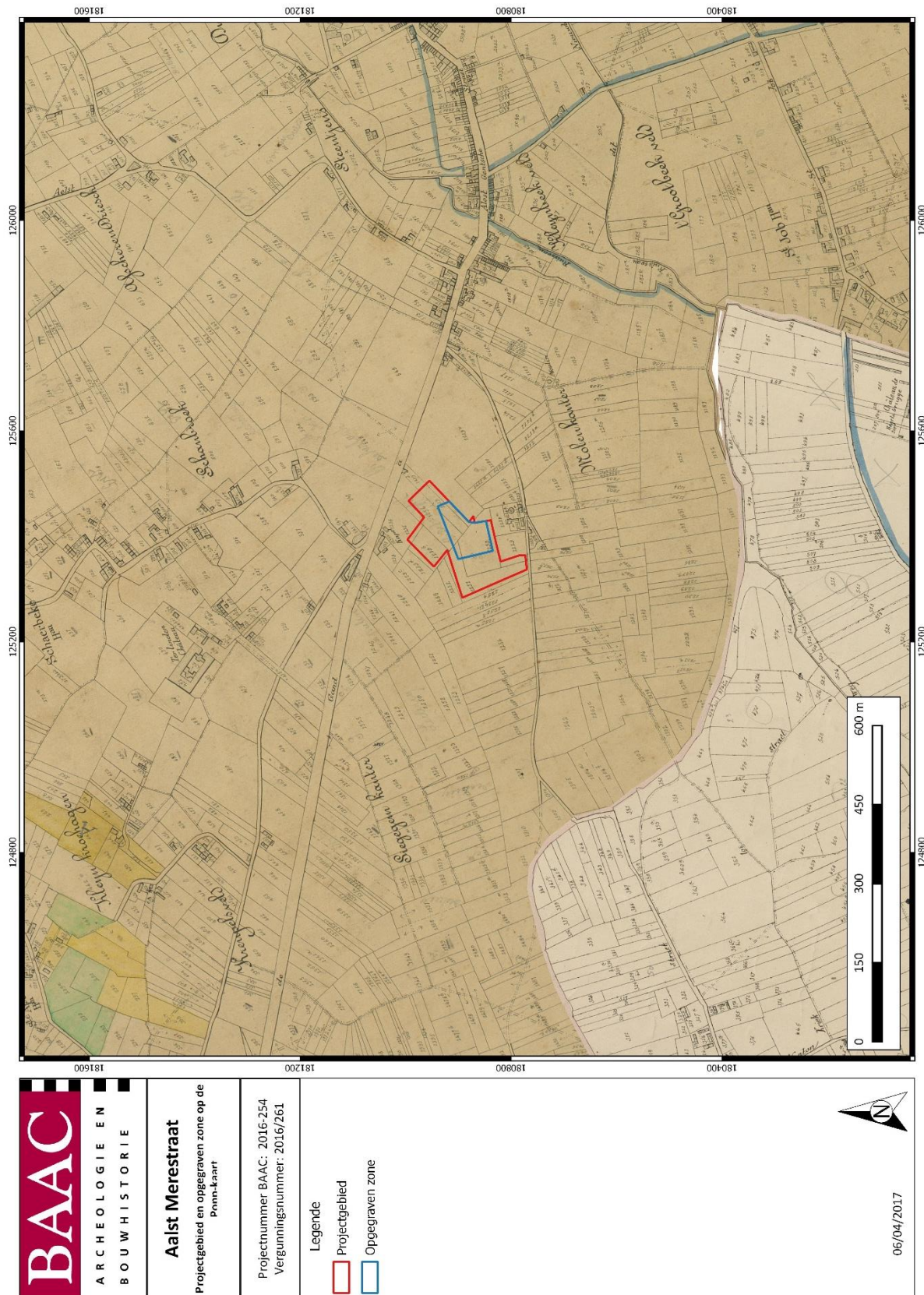
Figuur 10: Situering onderzoeksgebied op de kaart van Ferraris (1771-1778)²³

²³ GEOPUNT 2017a



Figuur 11: Situering van het onderzoeksgebied op de kaart van Vandermaelen (1846-1854)²⁴

²⁴ GEOPUNT 2017b



Figuur 12: Situering van het plangebied op de Popp-kaart²⁵

²⁵ GEOPUNT 2017b

2.3 Archeologische data

2.3.1 Centrale Archeologische Inventaris

De Centrale Archeologische Inventaris (CAI) is een databank van archeologische vindplaatsen in Vlaanderen. Dit overheidsinstrument helpt om een inschatting te maken over het archeologisch potentieel van het onderzoeksgebied. Voor het plangebied zelf aan de Merestraat te Aalst zijn enkele archeologische waarden gekend (Figuur 13)²⁶.

CAI-NUMMER	OMSCHRIJVING
CAI 155488	EEN LEPROZERIE MET EEN ZIEKENHUISKAPEL, TOEBEHORENDE GEBOUWEN EN EEN KERKHOF.
CAI 158188	AFSLAG
CAI 158189	AFSLAG
CAI 158190	VERBRANDE AFSLAGEN
CAI 158187	2 AFSLAGEN
CAI 31956	3 AFSLAGEN
CAI 158179	GERETOUCHEERDE KLING
CAI 158176	EEN KLEINE KERN MET MEERDERE SLAGRICHTINGEN
CAI 158182	EEN GERETOUCHEERDE KLING

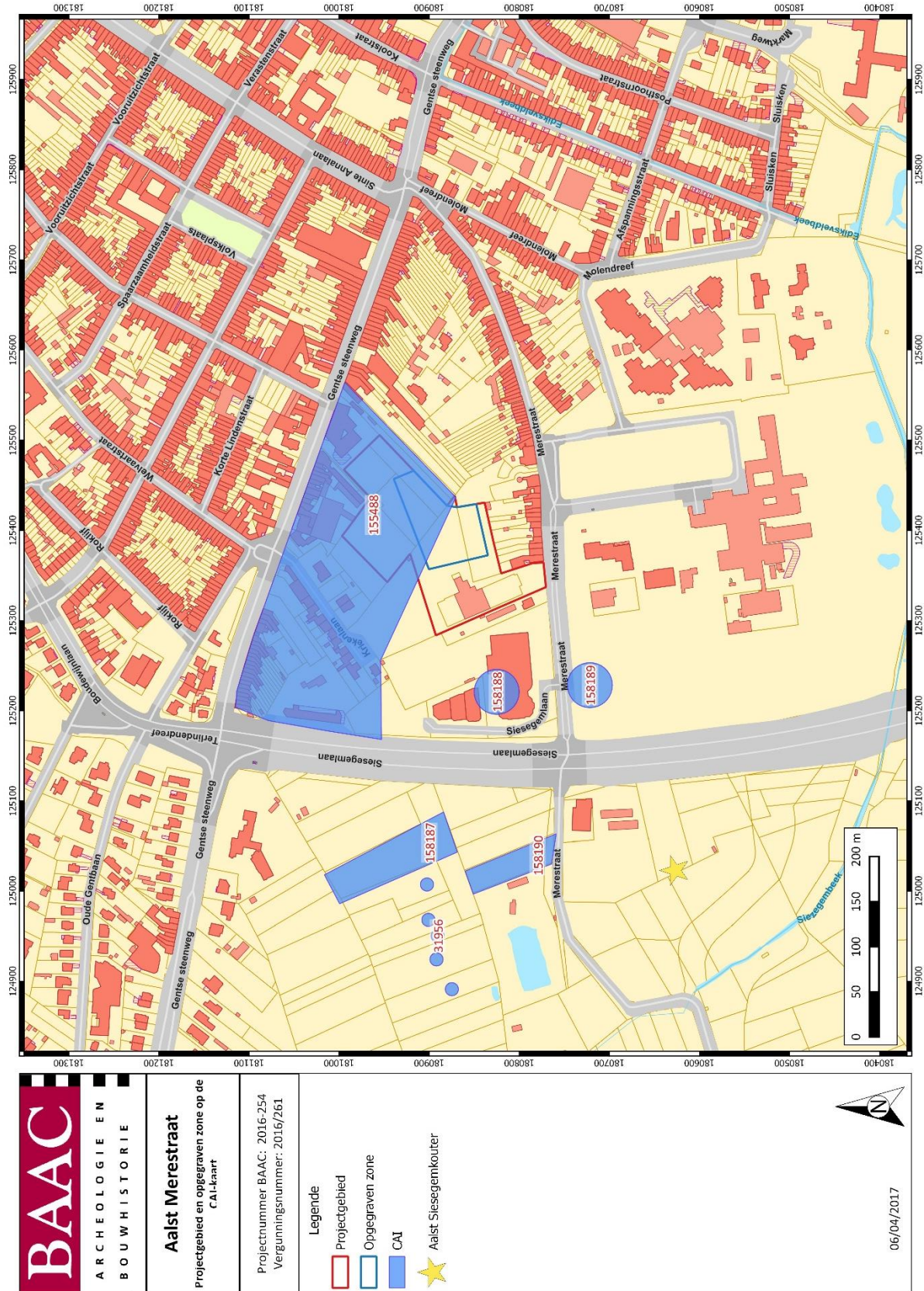
Tabel 1: Archeologische waarden in de CAI in de onmiddellijke omgeving van het plangebied²⁷

In het noordoosten van het onderzoeksgebied bevindt zich het polygoon CAI 155488. Ter hoogte van dit polygoon bevond zich een leprozerie met een ziekenhuiskapel, enkele bijgebouwen en een kerkhof²⁸. De leprozerie zou in de tweede helft van de 13^e eeuw bestaan hebben. In 1452 werd ze vernietigd maar naderhand weer opgericht. In 1566 werd de leprozerie definitief gesloten. De kapel werd doorheen de eeuwen nog drukbezocht als een bedevaartsoord. In het begin van de 20^e eeuw werden de resterende gebouwen van de leprozerie gesloopt.

²⁶ CAI 2017

²⁷ CAI 2017

²⁸ CAI 2017; ID: 115488



Figuur 13: CAI-kaart van het onderzoeksgebied met de archeologische vindplaatsen in de omgeving²⁹

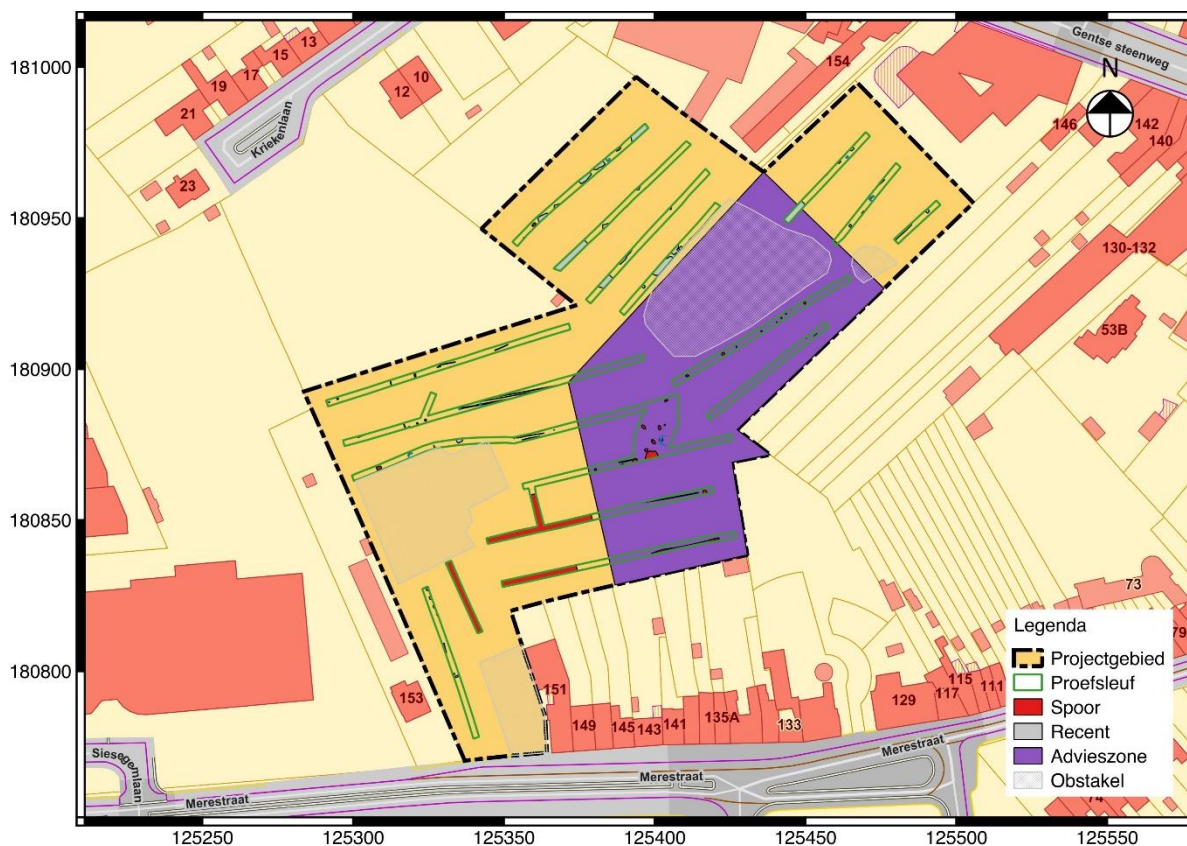
²⁹ CAI 2017

In het kader van het doctoraatsonderzoek van J. Sergant werden er in de directe omgeving van het onderzoeksgebied verschillende prospecties gehouden. Bij deze prospecties werden verschillende lithische artefacten aangetroffen.

Ten westen van het projectgebied werd in 2015 ook een archeologisch vooronderzoek uitgevoerd (Aalst Siesegemkouter). Hierbij werden verschillende sporen aangetroffen uit de midden-bronstijd, de ijzertijd en de Romeinse of vroegmiddeleeuwse periode aangetroffen. Na vervolgonderzoek op deze site kwamen ook twee structuren aan het licht die te dateren waren binnen het finaal neolithicum en de bronstijd. Naast de sporencusters werden ook verschillende kuilen gevonden, waarvan enkele silo's uit de midden bronstijd en één uit de late bronstijd. In het zuiden van het terrein werd ook een vroeg-Romeins crematiegraf aangetroffen.³⁰ Deze dateringen staan nog niet vast in afwachting van de resultaten van het natuurwetenschappelijk onderzoek.

2.3.2 Archeologisch vooronderzoek

In april 2016 werd door Studiebureau Archeologie een archeologisch vooronderzoek met ingreep in de bodem onder de vorm van een bureauonderzoek en proefsleuven uitgevoerd binnen het projectgebied.³¹



Figuur 14: Plangebied met aanduiding van de sporen, proefsleuven, kijkvensters en de geadviseerde zone voor verder onderzoek³²

In totaal werden 17 sleuven aangelegd. In het noordoosten van het onderzoeksgebied bevond zich een grondstock waardoor een zone van 2200 m² niet werd onderzocht. Deze zone werd later opgenomen in de te onderzoeken kernzone.

³⁰ VERBRUGGE 2015

³¹ VANDER GINST and SMEETS, 2016

³² VANDER GINST and SMEETS, 2016

Er werden in de sleuven geen sporen aangetroffen van de leprozerie. Er werden wel sporen teruggevonden in het zuidoosten van het terrein die als oudere sporen beschouwd werden. Op basis van handgevormd aardewerk dat in enkele van deze sporen gevonden werd, kon een datering in de ijzertijd/vroeg-Romeinse periode naar voren geschoven worden.

Aangezien er voornamelijk kuilen werden aangetroffen kon er tijdens het vooronderzoek nog geen uitspraak worden gedaan omtrent de aard van de site. Uiteindelijk werd de zone rond de oudere grondsporen, en de zone van de grondstock, geselecteerd voor verder archeologisch onderzoek.³³

³³ VANDER GINST and SMEETS, 2016

3 Methode

In dit hoofdstuk wordt eerst de toegepaste methodologie geschetst (werkwijze, planning, aanpak, strategie van het veldwerk).

3.1 Veldwerk

Alle veldwerkzaamheden zijn conform de Bijzondere Voorwaarden en conform de vigerende minimumnormen uitgevoerd.

Op basis van de data uit het archeologisch vooronderzoek werd er binnen het plangebied een kernzone van 6000 m² geselecteerd (Figuur 15). Daarnaast werd er nog 1000 m² voorzien voor uitbreidingen en/of eventuele vlakverdiepingen binnen de kernzone.

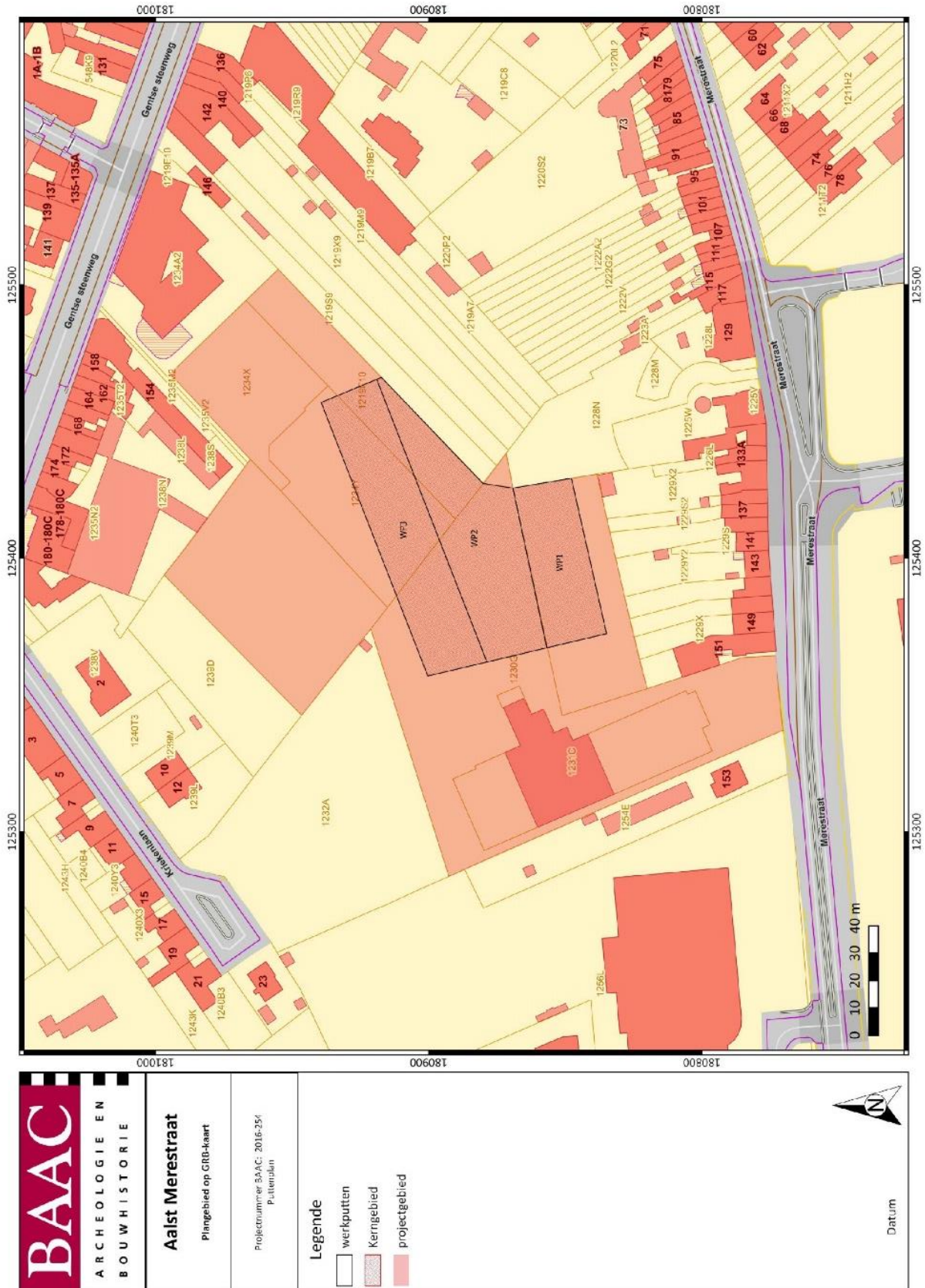
Deze kernzone werd onderverdeeld in drie werkputten. De werkputten hadden een oostwestelijke oriëntatie. Werkput 1 heeft een oppervlakte van 1391 m² en werkput 2 bedraagt 2129 m². Werkput 3, de meest noordelijke, is de grootste van de drie en bedraagt 2467 m². De werkputten en enkele vaste meetpunten werden uitgezet met een GPS, tijdens het veldwerk werd er ingemeten met een RTS (Figuur 15). Het maaiveld is licht hellend en bevindt zich in het westen op een gemiddelde hoogte van 23 m + TAW. In het oosten is dit gemiddeld 20,3 m + TAW. Het archeologisch vlak volgt dit patroon grotendeels en bevindt zich in het westen gemiddeld op 22,2 m + TAW en in het oosten op gemiddeld 20,1 + m TAW.

Het archeologisch vlak werd aangelegd met behulp van een kraan op rupsbanden van 21 ton met gladde graafbak van 2 m. In elke put werd machinaal één vlak aangelegd op het archeologisch relevante en leesbare niveau; dit onder begeleiding van minstens één archeoloog. Vervolgens werd het vlak manueel bijgeschaafd, zodat de sporen het best zichtbaar waren en meteen konden worden aangeduid.

De lichtbruine tot beige C-horizont of moederbodem was zeer moeilijk leesbaar. De oudere grondsporen tekenden zich zeer vaag af in het vlak. Daarom werden vage vlekken en sporen met een natuurlijk karakter op regelmatige basis genummerd en gecoupeerd bij wijze van steekproef. Bovendien werd binnen zones met een hogere densiteit aan grondsporen een tweede en zelfs een derde vlak aangelegd.

In totaal werd op drie locaties een tweede vlak aangelegd (Tabel 2). Hiervoor werd gebruik gemaakt van de bijkomende 1000 m².³⁴ In werkput 2 werd een tweede en derde vlak aangelegd ter hoogte van een zone waarbinnen enkele kuilen met handgevormd aardewerk werden aangetroffen. In werkput 3 werd op twee locaties een tweede vlak aangelegd. De eerste bevond zich in het westen van de werkput. Hier werd in het eerste vlak een zeer vage grondverkleuring waargenomen (S3008). Deze grondverkleuring bleek in coupe 15 cm diep en van een recente oorsprong. Om te vergewissen dat er geen sporen gemist werden, werd hier een tweede vlak aangelegd. In het noordoosten van deze werkput bevond zich een grote verkleuring ten gevolge van reductie, vermoedelijk door de grondstock die zich lange tijd op deze locatie bevond. Door de grondverkleuring was het waarnemen van sporen zo goed als onmogelijk. Ook hier hebben werd een tweede vlak aangelegd om na te gaan of er sporen waargenomen konden worden onder de grondverkleuring.

³⁴ Bijzondere voorwaarden, P.5



Figuur 15: Overzicht van de werkputten

WERKPUT, VLAK	OPP. (M ²)
WP1, VLAK 1	1391
WP2, VLAK 1	2129
WP2, VLAK 3	135
WP2, VLAK 2	135
WP3, VLAK 1	2467
WP3, VLAK 2 (WEST)	365
WP3, VLAK 2 (NOORDOOST)	455
TOTAAL	7077

Tabel 2: Overzicht van de verschillende werkputten met de respectievelijke vlakken en oppervlakte (m²)

Van alle vlakken werden overzichtsfoto's gemaakt en van alle sporen detailfoto's. De putten en sporen werden ingetekend door middel van een *Robotic Total Station* (RTS) en gedocumenteerd aan de hand van beschrijvingen. Indien een spoor zich tegen de putwand bevond, werd het werkputprofiel opgeschoond om de relatie tussen het spoor en de bodemhorizonten te registreren. Sporen-, foto- en vondstenlijsten werden digitaal geregistreerd in het veld. Gebruik makend van de programma's *Autocad* en *QGIS* werden de verzamelde data van de opgravingsvlakken verwerkt tot een gedetailleerd en overzichtelijk grondplan.

Per werkput werden twee diepere profielputten aangelegd waarbij min. 60 cm van de moederbodem zichtbaar was. De locatie ervan stond in functie van het inzicht in de lokale bodemopbouw (en de diepte van verstoring). Bij elke profielput werd de absolute hoogte van het (archeologisch) vlak en van het maaiveld genomen en op het plan aangeduid. Deze bodemprofielen werden opgemeten, opgekuist, gefotografeerd, ingetekend op schaal 1:20 en beschreven per horizont op basis van de bodemkundige registratie- en beschrijvingsmethodes.

Meteen na afloop van het onderzoek werden de werkputten gedicht om verdere degradatie en instabiliteit van het terrein te voorkomen. Dit gebeurde met instemming van het Agentschap Onroerend Erfgoed.

3.2 Uitwerking

De basisuitwerking van het onderzoek en de rapportage van de onderzoeksresultaten gebeurden alle door BAAC Vlaanderen, conform de minimumnormen en de bijzondere voorwaarden bij de archeologische opgraving. De basisuitwerking van het onderzoek omvatte een beknopte omschrijving van alle sporen in een sporenlijst en het opstellen van een fotolijst, vondstenlijst en monsterlijst. De veldplannen van de opgraving werden gedigitaliseerd en opgemaakt tot overzichtelijke kaarten. De profieltekeningen werden gedigitaliseerd en in uniforme afbeeldingen weergegeven. Deze basisuitwerking gebeurde onmiddellijk na het veldwerk. Alle materiaalcategorieën zijn tot op een basisniveau beschreven. Vondsten uit contexten zijn door specialisten beschreven en gedateerd.

Vondstcategorie	Specialist
Vuursteen	Yves Perdaen
Handgevormd aardewerk	Tina Dyselinck
Middeleeuws en postmiddeleeuws aardewerk	Olivier Van Remoorter
Bodem	Piotr Pawelczak
¹⁴ C-datering	EARTH Integrated Archaeology
Botanisch onderzoek	Clasine van Doorn (EARTH Integrated Archaeology)

Tabel 3: Uitwerking door specialisten

Verskillende monsters zijn, in overleg met opdrachtgever en het Agentschap Onroerend Erfgoed, geselecteerd voor verder onderzoek, binnen het begrote budget. De selectie en motivatie wordt hieronder kort weergegeven.

Volgende vermoedelijke hoeveelheden waren in de bijzondere voorwaarden voorzien voor waardering: 4 waarderingen dendrochronologie, 5 waarderingen macroresten, 3 waarderingen pollenstalen, 1 waardering botmateriaal, 2 waarderingen crematie en 6 houtskoolwaarderingen. Voor analyses zijn 3 macroresten, 3 pollenanalyses, 2 dendrochronologische dateringen, 1 archeozoologisch onderzoek, 1 fysisch antropologische analyse en 2 conservaties aardewerk voorzien.³⁵

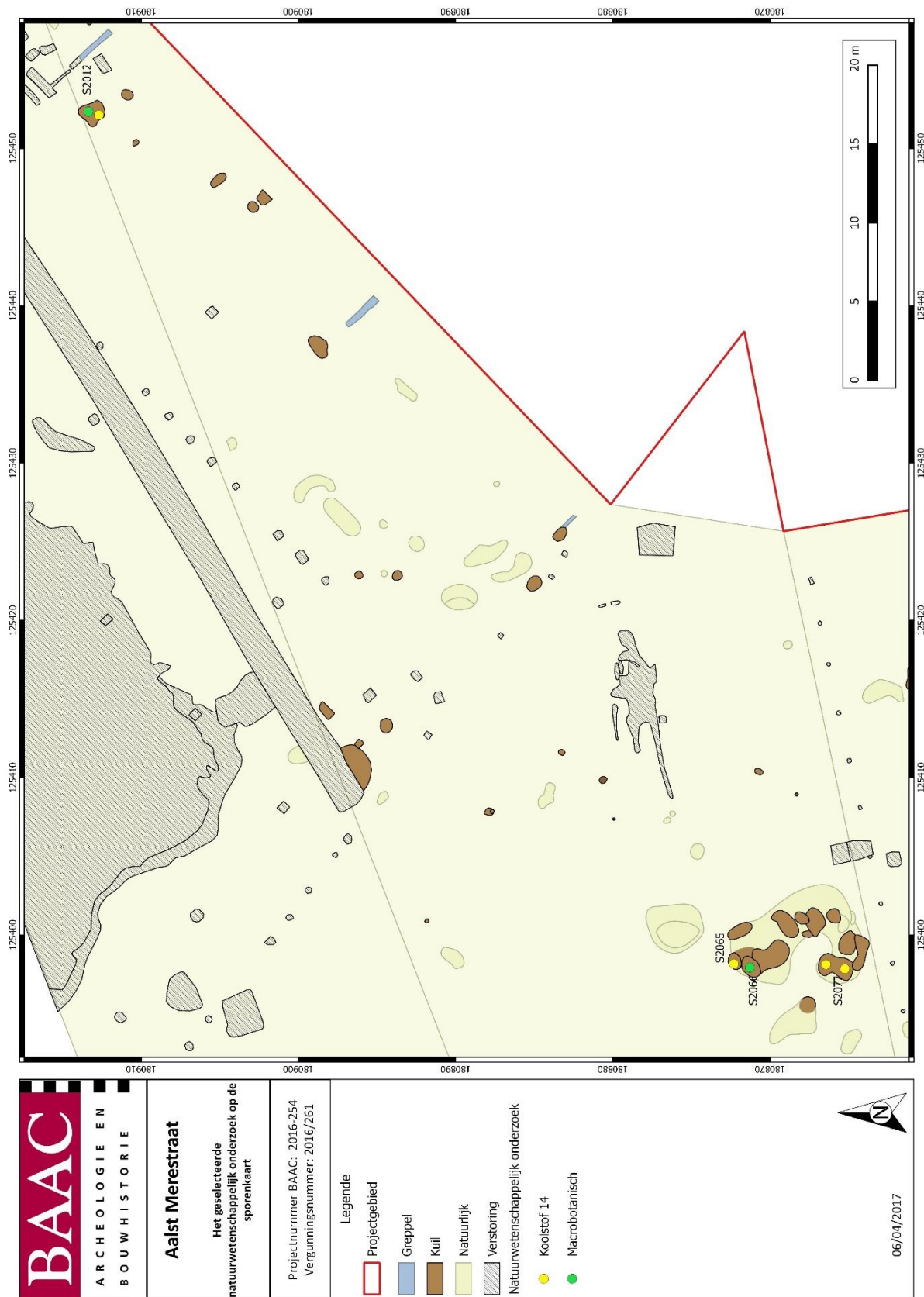
Volgend voorstel is goedgekeurd door Onroerend Erfgoed en de opdrachtgever:

Vier monsters werden geselecteerd voor een waardering voor ¹⁴C-datering. Deze kwamen uit S2012, S2065 en S2077, uit deze laatste werden er twee monsters geselecteerd. Het gaat hierbij voornamelijk om sporen die deel uitmaken van de grootste sporencluster, en een grote kuil waarvan geweten wou zijn of ze in verband staat met de sporencluster. Uiteindelijk werden deze allen geselecteerd voor een verdere datering.

Daarnaast werden er vijf monsters geselecteerd voor een waardering van de macrobotanische resten. Deze werden genomen uit S2012, S2066, S2067, S2073 en S2077. Na zeven en waarden bleek dat de conservering van macrobotanische resten slecht, en de diversiteit van de resten beperkt is. Enkel M7 en M11 uit respectievelijk S2066 en S2012 werden geselecteerd voor verder onderzoek. Deze situeren zich opnieuw binnen de grootste sporencluster en de grote kuil.

Nadat de monsters onderzocht werden bleek echter dat enkele hiervan uit een colluviumpakket kwamen, en dat deze dus niet verder onderzocht hadden moeten worden. Bij enkele sporen die op het veld niet bemonsterd werden bleek achteraf ook dat deze beter wel bemonsterd, en verder onderzocht, waren.

³⁵ ZEEBROEK, 2016



Figuur 16: Het geselecteerd natuurwetenschappelijk onderzoek op de sporenkaart

4 Resultaten

4.1 Bodem (Piotr Pawelczak)

Binnen iedere werkput werden telkens twee bodemprofielen aangelegd. Samen met de bodemprofielen uit het vooronderzoek geven deze een goed beeld van de lokale bodemopbouw en de bewaringstoestand van de bodem. Uit deze bodemprofielen bleek de bodemopbouw relatief goed bewaard.

Uit de bodemprofielen hebben we kunnen vaststellen dat de bodem binnen het onderzochte gebied in het algemeen een gelijkaardige opbouw kent. De bovenste 30 tot 40 cm bestaat uit een vrij humeus donkerbruin pakket. Het betreft de recente ploeglaag (Ap- of Ap1-horizont). Deze ploeglaag wordt gevolgd door een matigbruine laag van ongeveer 20 cm (Bw- horizont) die over gaat in een iets lichter bruin pakket, de BC-horizont. De Bw-horizont vertegenwoordigt het verbruining proces, dus met andere woorden de ontwikkeling van kleur en/of structuur van de bodem,³⁶ die *in situ* gebeurt. Op het terrein was deze Bw-horizont dikwijls moeilijk onderscheidbaar van de oudere, gedeeltelijk verweerde ploeglagen (Ap2-horizont), waarvan de oorspronkelijk scherpe ondergrens niet meer duidelijk was. Dit was het geval in profiel 2, werkput 3 waarin de sequentie minder leesbaar was. Het is theoretisch gesproken ook mogelijk dat er onder twee (of meer) ploeglagen een Bw-horizont voorkomt en een vergelijkbare bodemopbouw werd in feite in profiel 2, werkput 1 en in profiel 3, werkput 2 geregistreerd. In de laatstgenoemde was het proces van verbruining minder herkenbaar. Alleen de micromorfologieanalyse kan de juiste classificatie van de bodemhorizonten met zekerheid bevestigen.

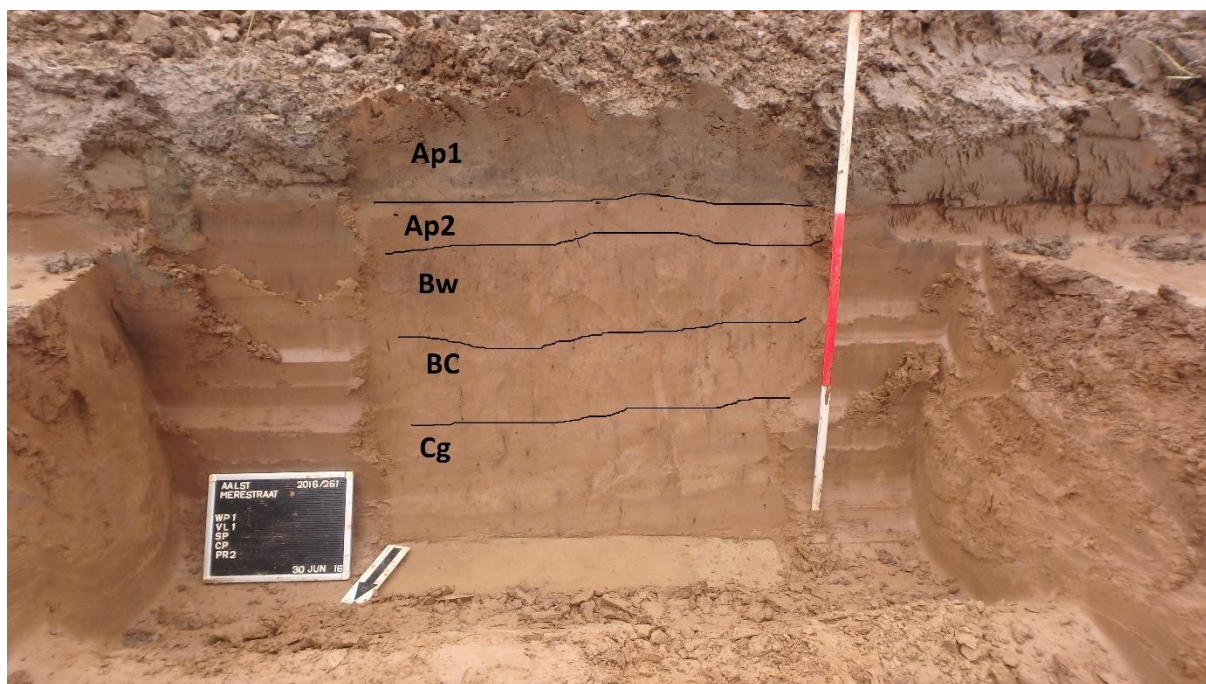
Nogal vaak werd ook de overgang BC-horizont gedocumenteerd, die meer heterogeen was. Deze vertegenwoordigde de aanwezigheid van een niet volledig ontwikkelde B-horizont, die direct onder de Ap-horizont verscheen of vormde deze een overgang tussen de Bw- en C-horizont. Onderaan ging het materiaal over in de C- of Cg-horizont (indien oxidoreductievlekken herkenbaar waren). Dit pakket bestond uit lichtbruine tot beige zandleem waarbinnen zich zandige lenzen bevonden. Zo'n bodemopbouw zou met de niveoeolische afzettingen van het Weichseliaan geassocieerd kunnen worden, die ter plaatste op de quartairgeologische kaart werden aangeduid.³⁷ Dat wil zeggen, dat de resultaten van het veldonderzoek met de officiële kartering overeenkomen.

Profiel 1 van werkput 3 stond uit van de rest van de profielen omdat deze een opgehoogde en verstoorde bodem vertegenwoordigde. Onder de opgehoogde Ap-horizont kwam een volledig antropogene 2Au-horizont voor, die voornamelijk uit grind en puin bestond. Deze veroorzaakte stoornissen in de grondwaterfluctuatie en was als gevolg verantwoordelijk voor het reduceren van de onderliggende 3Ap1- en 3Ap2-horizont, die vermoedelijk ook opgebracht konden worden. De lichtbruine 4Ap3-horizont bleek onverstoord te zijn en zou met de Ap2-horizonten van andere profielen gelinkt kunnen worden (Figuur 19).

Op de overgang van de Bw- en de C-horizont werd het vlak aangelegd. Opvallend genoeg kwamen de bepaalde horizonten op verschillende dieptes voor. Dit had vermoedelijk met de geomorfologie van het terrein te maken. De lichtbruine tot beige C-horizont of moederbodem was zeer moeilijk leesbaar. De oudere grondsporen tekenden zich zeer vaag af in het vlak. Daarom werden vage vlekken en sporen met een natuurlijk karakter op regelmatige basis genummerd en gecoupeerd bij wijze van steekproef. Bovendien werd binnen zones met een hogere densiteit aan grondsporen een tweede en zelfs een derde vlak aangelegd.

³⁶ FAO, 2006

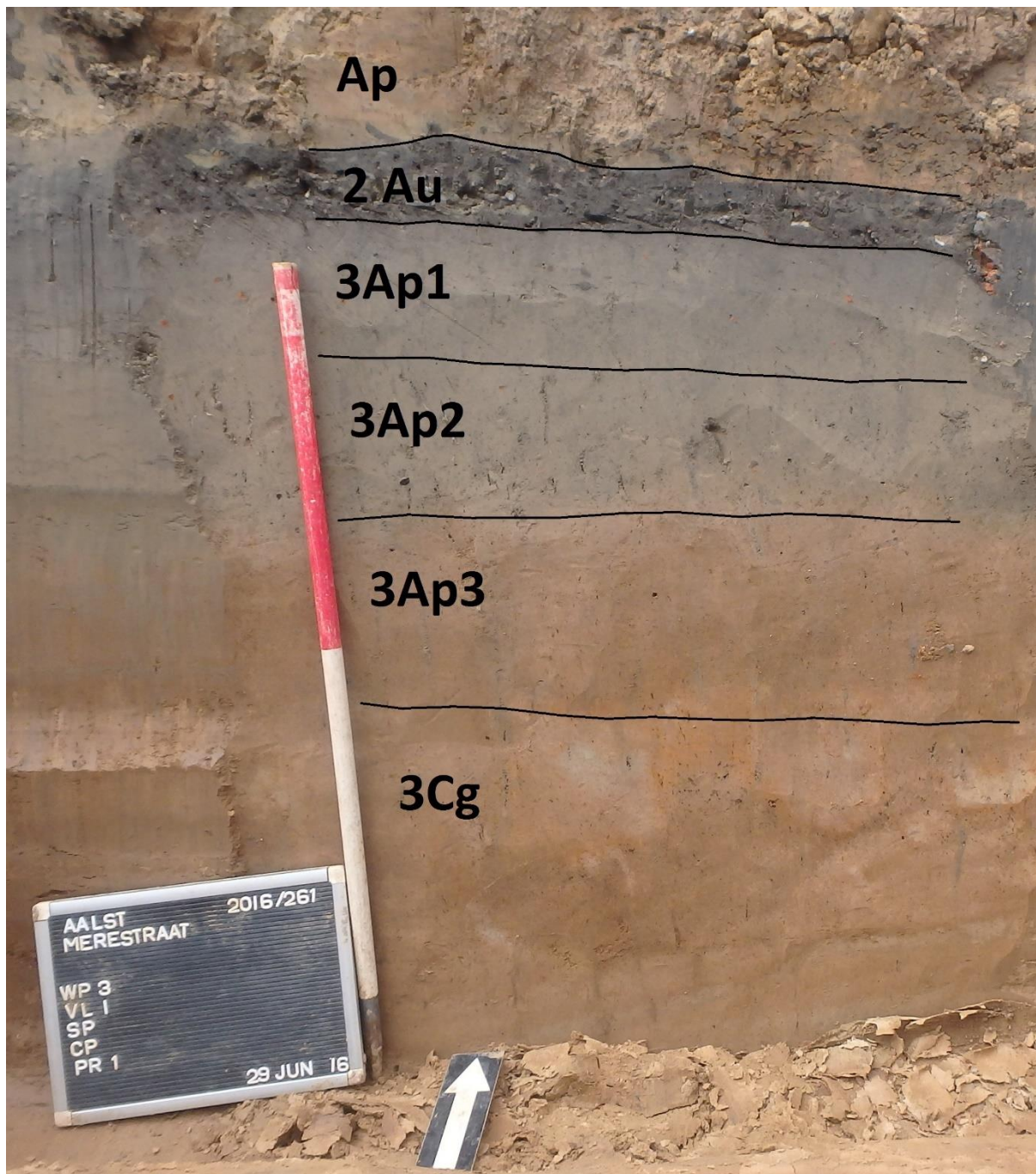
³⁷ DE MOOR G., VERMEIRE S., 1999



Figuur 17: profiel 2 uit werkput 1



Figuur 18: Profiel 1 uit werkput 2



Figuur 19: Profiel 1 uit werkput 3

4.2 Spoorbeschrijving en interpretatie

4.2.1 Algemeen

In totaal werden 104 spoornummers uitgeschreven. Van deze 104 sporen bleken er slechts 70 antropogeen. Het betrof 5 greppels, 53 kuilen, 6 paalkuilen en 6 recente verstoringen. Slechts een klein aantal van de antropogene sporen werden op basis van vormelijke aspecten en/of het aantreffen aardewerk als oude grondsporen geïnterpreteerd. De sporen worden per periode besproken.

4.2.2 Beschrijving en interpretatie van de sporen en structuren

Sporencluster 1

Centraal in werkput 2 werden enkele sporen met handgevormd aardewerk aangetroffen. Verder werd ook een middeleeuwse scherf aangetroffen binnen de sporencluster. Vermoedelijk is deze middeleeuwse scherf intrusief.

In het eerste vlak tekenden de sporen zich eerder af als een grote, onregelmatige vlek. Daarom werd er, na de vlakregistratie van het eerste vlak en het inzamelen van de vondsten, een tweede vlak aangelegd. Dit tweede vlak lag ongeveer 10 cm onder vlak 1 en heeft een oppervlakte van 135 m². Tijdens de aanleg van dit vlak werden nog meer scherven handgevormd aardewerk aangetroffen, waaronder enkele besmeten en met lijnen versierde wandscherven, alsook een weefgewichtje (infra).

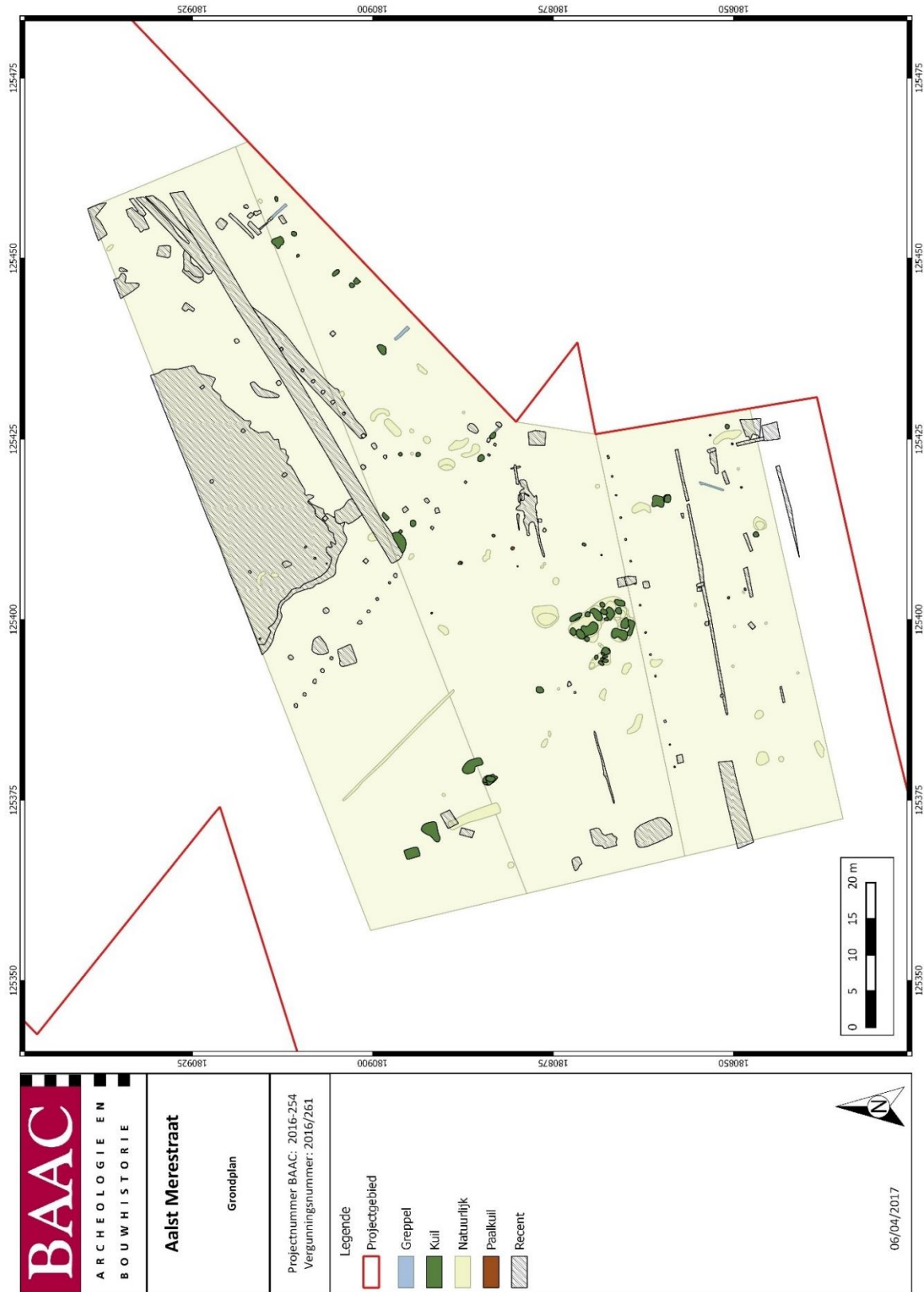
Vervolgens werden de sporen van vlak 2 gecoupeerd. Het ging hierbij steeds om kuilen met een grijsbruine vulling met mangaaninclusies. Enkele van de sporen bleken natuurlijk te zijn. In de kuilen werd ook aardewerk aangetroffen.

Tenslotte werd een derde vlak aangelegd. In dit vlak viel de cluster uiteen in een tiental afzonderlijke sporen, waarvan enkele diepe kuilen. De sporen hadden een lichtgrijze tot lichtgele, gelaagde vulling (Figuur 22). Ook binnen deze sporen werd er handgevormd aardewerk aangetroffen.

Van verschillende sporen binnen deze cluster werd een monster genomen voor natuurwetenschappelijk onderzoek. De oudste datering bevond zich in S2077. In de coupe konden er verschillende fasen herkend worden in dit spoor waarbij de oudste gedateerd werd rond 3.000 v.C. (Figuur 24). De jongste fase van dit spoor, en de andere monsters binnen de sporencluster, hadden allen een datering tussen 800 en 400 v.C..

Tijdens het vooronderzoek werden er ten noorden van de sporencluster enkele kuilen gevonden die hetzelfde materiaal bevatte. Mogelijk ging het hierbij om kleine restanten van het colluvium die bij de aanleg van het vlak tijdens het vervolgonderzoek mogelijk weggeschaafd zijn.

Vermoedelijk gaat het hierbij om een lagergelegen zone die gebruikt werd als drinkpoel voor vee. De kuilen kunnen het resultaat zijn van antropogene activiteiten binnen deze drinkpoel in drogere perioden om water in de poel te laten staan. Dit verklaart ook waarom S2077 vier verschillende fasen kent en waarom de kuilen een gelaagde vulling vertonen die wijzen op de aanwezigheid van water. De vlek waaronder al deze sporen zich bevinden is vermoedelijk een pakket colluvium dat zich boven de drinkpoel heeft afgezet.



Figuur 20: Grondplan met overzicht van alle sporen

BAAC

ARCHEOLOGIE EN
 BOUWHISTORIE

Aalst Merestraat

Sporenduster1: Vlak 1 tem Vlak 3

Projectnummer BAAC: 2016-254
 Vergunningsnummer: 2016-261

Legende

AlleSporen

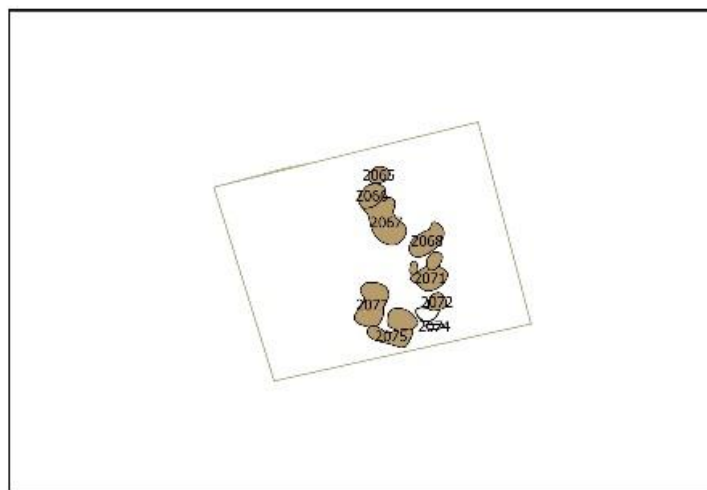
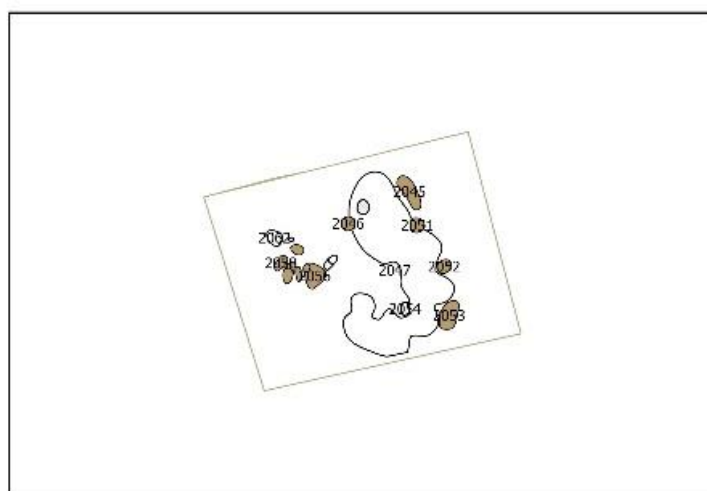
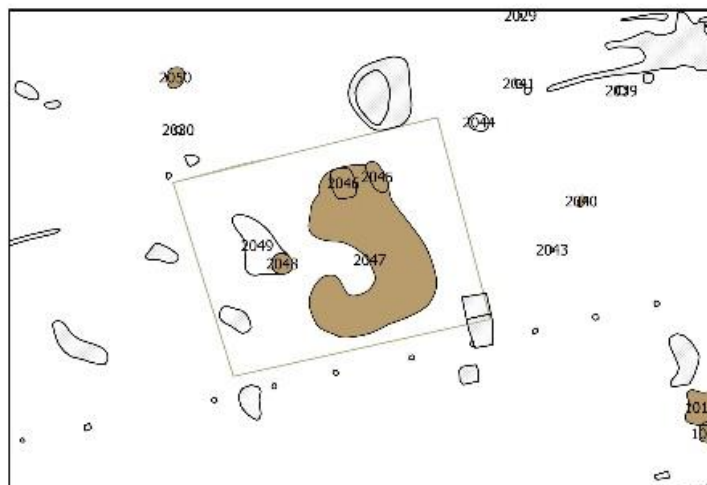
- Natuurlijk
- Kuil
- paalkuil

0 2.5 5 7.5 10 m



14/07/2016





Figuur 21: Overzicht van de sporen in de vlak verdieping ter hoogte van sporenduster 1. (Boven: vlak 1, Midden: vlak 2, Onder: vlak 3)

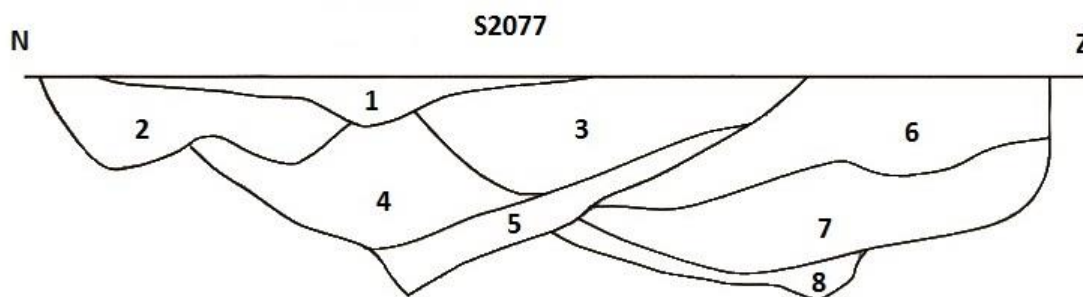


Figuur 22: Coupe op S2075 en 2076 (Vlak 3)



Figuur 23: Coupe op S2066 en 2067 (Vlak 3)





Figuur 24: Coupe op S2077 (Vlak 3): Fase 1 = Laag 1; Fase 2 = Laag 2 en 3; Fase 3 = Laag 4 en 5; Fase 4 = Laag 6, 7 en 8

S1016 en S1017

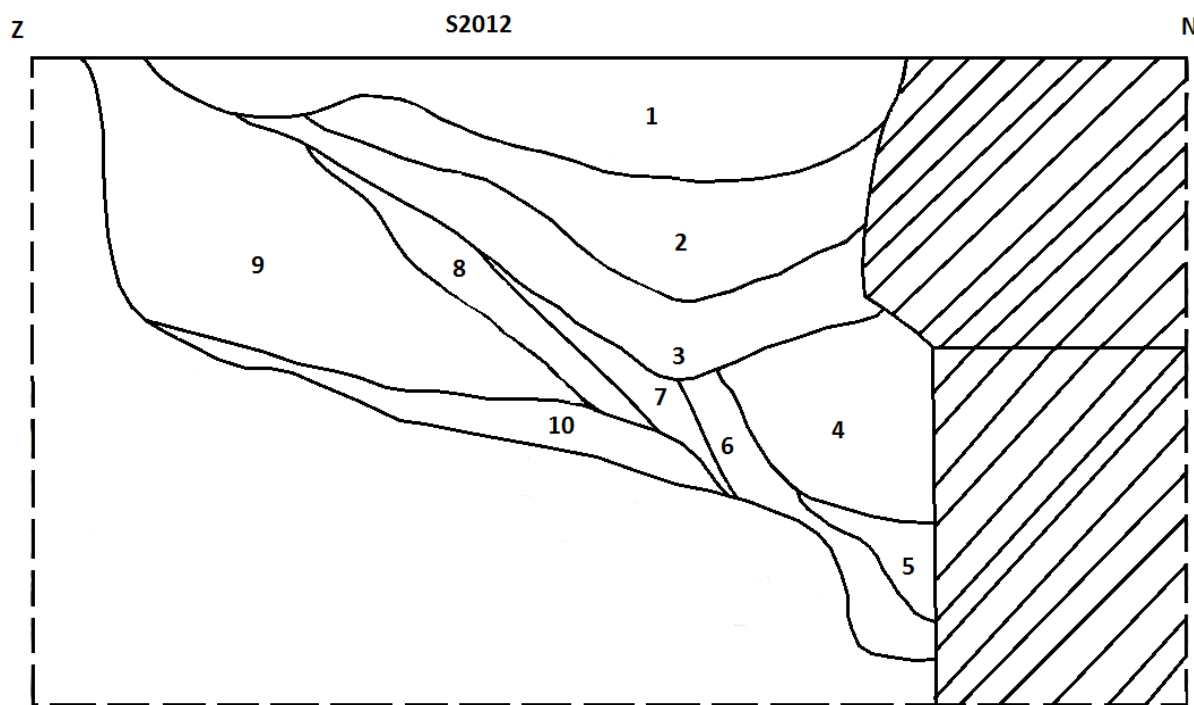
20 meter naar het zuidoosten bevonden zich nog twee sporen die op basis van het aangetroffen aardewerk binnen de ijzertijd gedateerd kunnen worden. S1016 was rond in het vlak met een diameter van één meter. In het vlak werden twee vullingen opgemerkt, na het couperen bleek dat er slechts één vulling aanwezig was. S1017 had een onregelmatige aflijning in het vlak waar vaag een vierkante vorm in herkend kon worden. Het had een doorsnede van ongeveer 1,5 meter. S1016 had een bewaringsdiepte van 20 cm en een bruingrijze vulling, er bevonden zich vlekken verbrande leem in het spoor. S1017 had een lichtbruin tot licht grijze, homogene vulling (Figuur 25). In het noorden werd S1017 oversneden door S1016. De functie van deze sporen kon niet achterhaald worden.



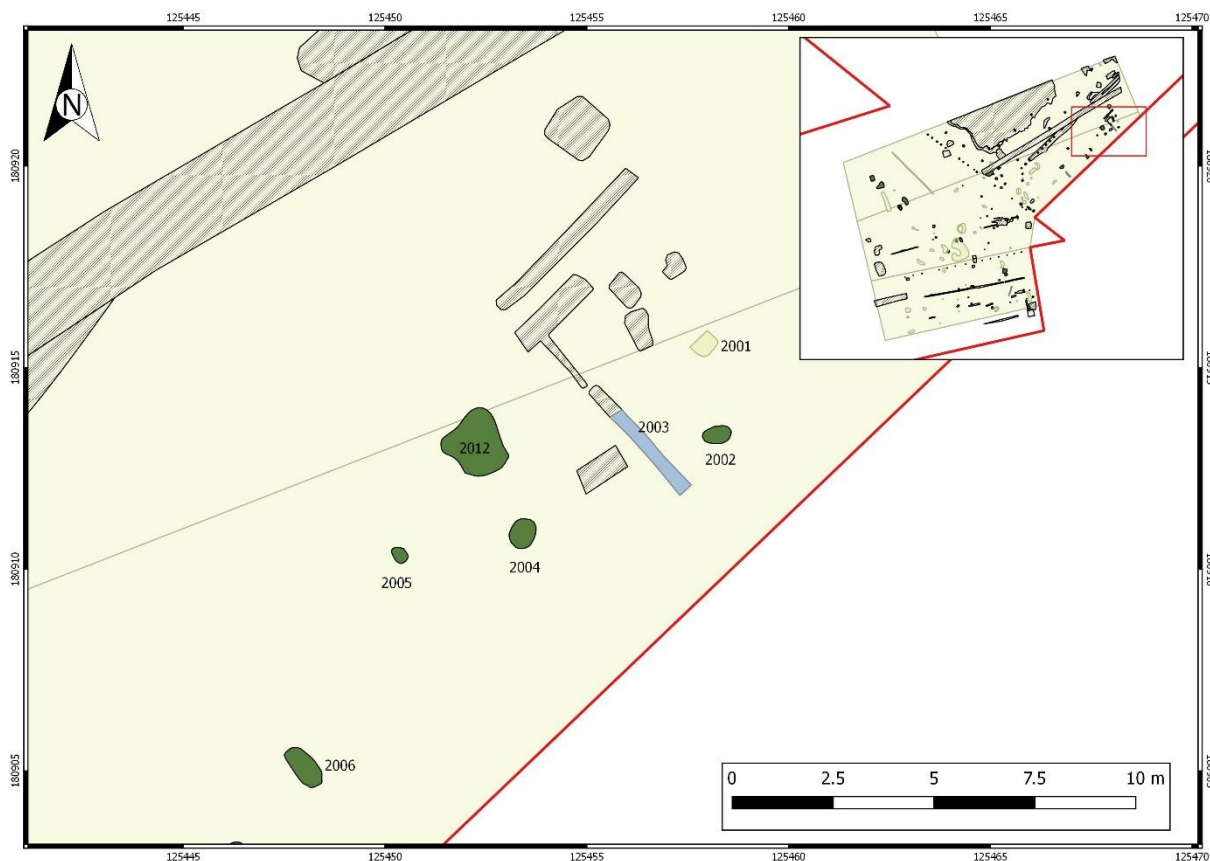
Figuur 25: Coupe op S1017

S2012

Op de grens tussen werkputten 2 en 3 bevond zich S2012 (deze werd eerst aangetroffen in werkput 2). Het spoor tekent zich scherp af in het vlak en er werden verschillende scherven handgevormd aardewerk in aangetroffen. De kuil kent een zeer gelaagde vulling waarbij zandleem wordt afgewisseld met enkele houtskoolrijke banden die aardewerk bevatten. De revolvertasvormige kuil heeft een diepte van 90 cm (Figuur 26). Er werden in de omgeving van S2012 geen gelijkaardige kuilen aangetroffen. Dit spoor kon aan de hand van koolstofdateringen gelijktijdig gedateerd worden als de jongste lagen van de eerder genoemde sporencluster, namelijk tussen 800 en 400 v.C. (Ua-56272: 2436 ± 26 BP).



Figuur 26: Coupetekening van S2012, het noordelijke deel was verstoord



Figuur 27: Situering van S2012 binnen het plangebied

Het is niet mogelijk om te zeggen of S2012, S1016, S1017 en de sporencluster op hetzelfde moment in gebruik waren. Het aardewerk uit de sporencluster en uit S1016 en S1017 is globaal in de midden-ijzertijd te dateren. Hierbij dient wel te worden opgemerkt dat het aardewerk binnen de sporencluster bijna uitsluitend uit het pakket colluvium kwamen. Het is wel mogelijk dat S1016 en S1017 ook

overblijfselen van dit colluvium zijn. S2012 bevatte zowel aardewerk uit de midden-ijzertijd als uit de overgang met de Romeinse periode. Het natuurwetenschappelijk onderzoek plaatste de kuil in de midden-ijzertijd. Mogelijk is het Romeins aardewerk intrusief, of heeft het spoor verschillende fases gekend.

De meeste sporen werden aan de hand van het aardewerk gedateerd. De sporen met het meeste aardewerk waren het pakket colluvium, S2047, en S2012. Beiden bevatten meer dan 160 scherven. Het aardewerk wordt hieronder verder besproken in 5.1.1 Handgevormd aardewerk (Tina Dyselinck). Samengevat kan het aardewerk algemeen in de vroege La Tène periode worden gedateerd, met enkele scherven aardewerk die in de late ijzertijd/vroege Romeinse periode geplaatst kunnen worden. Daarnaast werden ook verschillende fragmenten gevonden die enkel tussen de midden-bronstijd en de vroege Romeinse periode geplaatst konden worden.

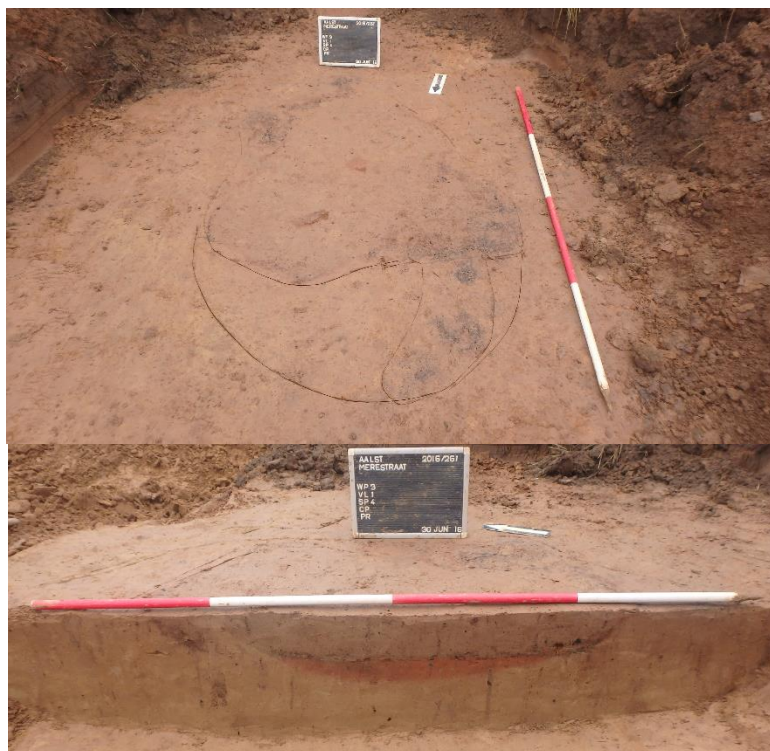


Figuur 28: (Links) Enkele fragmenten aardewerk uit S2012, met aan de rechterzijde een wandfragment met gezoneerde kamversiering. (Rechts) Enkele fragmenten aardewerk uit sporencluster in werkput 2

S3004

S3004 is ovaal van vorm en bewaard tot een diepte van 50cm en ze heeft een donkerbruine houtskoolrijke vulling. Onderaan de kuil kon een laagje verbrande leem worden waargenomen, wat wijst op een verhitting van de ondergrond.

Tijdens het opschaven en het couperen van S3004 werden verschillende scherven middeleeuws aardewerk aangetroffen. Op basis van het baksel, de vorm en de versiering wordt dit aardewerk gedateerd tussen de 14^e eeuw en de 1^e helft van de 16^e eeuw. Deze kuilen kunnen zowel als een houtskoolmeiler als een (veld)oven of haard geïnterpreteerd worden. Gezien de aanwezigheid van (middeleeuwse) scherven, en het ontbreken van een omkaderende plattegrond, wordt het spoor momenteel geïnterpreteerd als een veldoven of kampvuur. Deze interpretatie wordt versterkt door de nabijheid bij de stadsmuren van Aalst, op minder dan 1.000 m, en de militaire functie van deze stad.



Figuur 29: S3004 in vlak en coupe

Daarnaast werden ook nog enkele losse kuilen en greppels gevonden die aan de hand van het aardewerk in de middeleeuwen te dateren zijn. Hier konden echter geen structuren of greppelsystemen in onderscheiden worden. De greppels konden over een lengte van maximaal 3,5 m gevolgd worden waardoor het niet mogelijk was om ze aan eventuele greppelsystemen toe te schrijven.

S3003

Net ten zuiden van S3004 bevindt zich S3003. Deze lichtbruine kuil van 3 m bij 1,6 m tekende zich zeer vaag af in het vlak. In coupe was het spoor duidelijker zichtbaar en tot 1,5 m onder het vlak bewaard. Er werden geen vondsten in dit spoor teruggevonden. Bijgevolg is het niet mogelijk om een datering toe te kennen aan dit spoor. Gezien de diepte en de gelaagde vulling gaat het mogelijk wel om een waterkuil.



Figuur 30: Coupe van S3003

Recente sporen

Over heel de site werden ook verschillende recente sporen aangetroffen. De meeste kunnen in verband gebracht worden met relatief recente perceelsgrenzen. Andere getuigen van de landbouwactiviteiten die hier vroeger hebben plaatsgevonden. Het grootste recente spoor is vermoedelijk een overblijfsel van de grondstock die lange tijd aanwezig was op het terrein voor het onderzoek.

5 Vondstmateriaal

5.1 Aardewerk

5.1.1 Handgevormd aardewerk (Tina Dyselinck)

Algemeen

In totaal zijn 495 handgevormde scherven aardewerk gevonden tijdens de opgraving. Ze zijn onderverdeeld in 40 randscherven, 157 wandscherven, 18 bodemscherven en 280 fragmenten.³⁸ De scherven wijzen op occupatie in verschillende periodes, vanaf de midden ijzertijd tot de late ijzertijd/vroeg Romeinse periode.

Van deze scherven zijn er 161 gevonden in het colluviaal pakket van S2047, 164 van de scherven werden gevonden in S2012. Daarnaast bevatten S1016 en S2056 respectievelijk 61 en 26 scherven. Bij de andere sporen die aardewerk bevatten, ging het telkens om minder dan 10 scherven.

Beschrijving

Alle handgevormde scherven van Aalst Merestraat zijn beschreven op vlak van vorm en vormdetails, versiering, oppervlaktebehandeling en soort magering. Uitzonderlijke kenmerken, zoals onder andere het al dan niet verweerd of gefragmenteerd zijn van de scherven is opgenomen in de secundaire kenmerken. Verbranding wordt genoteerd. De scherven waarvan een vorm of versiering kon gedetermineerd worden, zijn mogelijk nauwer gedateerd. Het aantal rand-, wand-, bodemscherven en fragmenten is geteld. Het minimum aantal individuen is bepaald. Uit deze verzameling van gegevens zijn bepaalde scherven gedateerd.

De scherven zijn hoofdzakelijk gemagerd door middel van *chamotte* (potgruis) (n= 245). Vijf hiervan hadden additioneel ook minerale magering in de matrix. Het gaat hierbij waarschijnlijk om grof zand dat is toegevoegd. Één scherf bevat ook opvallend veel ijzeroer in de matrix (vnr 45). Intentioneel toevoegen van ijzeroxide als magering is eerder opgemerkt bij het vroeg middeleeuws aardewerk van Broechem, het vroeg ijzertijdaardewerk te Boechout, het ijzertijdaardewerk van Aalter, het aardewerk te Kortrijk Schaapsdreef, Drogen Karel De Bondtlaan, Haasdonk Zuurstofleiding en Menen Moorselestraat.³⁹

Een deel van de scherven is gemaakt van een zeer fijn zandige klei. Het is hier onduidelijk of dit zand is toegevoegd aan de klei of niet. Daarom is dit zand niet als verschraling aangeduid. De zandige matrices zijn wel bij de opmerkingen toegevoegd.

Bij een aantal van de scherven is de potgruisverschraling zeer prominent gelaten op de buitenwand, waardoor de roodbruine potgruisfragmenten duidelijk afsteken tegen de veelal donkere kleur van de buitenwand. Dit wordt zeer opvallend bij gegladde of gepolijste scherven. Deze scherven zijn met een afwijkend baksel beschreven en worden in de late ijzertijd-vroeg Romeinse periode gedateerd.

Van 241 scherven kon de oppervlaktebehandeling waargenomen worden.⁴⁰ De overige scherven waren te verweerd of verbrand om dit af te leiden. De oppervlaktebehandeling van de buitenwand van de scherven varieert sterk maar getuigt niettemin van een groot aandeel verzorgde scherven.

³⁸ Als fragment zijn scherven geteld kleiner dan 1 cm² en scherven die te verweerd waren om verder te analyseren. Ook het gefragmenteerd spinschijfje is als fragment geteld.

³⁹ Annaert 2016, pers comm. R. Bakx, Van Campenhout 2015, eigen waarnemingen.

⁴⁰ Wanneer nog effeningsstrepen zichtbaar zijn, is het oppervlak geëffend, zonder strepen is het geglad/gepolijst. Het onderscheid tussen geglad en gepolijst wordt gelegd bij het glanzende van het oppervlak. Zonder glans is het geglad, met glans is het gepolijst.

Oppervlaktebehandeling	Aantal scherven	Aandeel
Besmeten	17	7,05%
Effen	11	4,56%
Effen/besmeten	20 (MAI1)	8,3%
Geglad	146	60,58%
Gepolijst	1	0,41%
Ruw	40	16,6%
Ruw/besmeten	6 (MAI1)	2,49%

Tabel 4: Data oppervlaktebehandeling buitenwand

Twee individuen hebben een gecombineerde oppervlaktebehandeling. Hierbij wordt het bovenste potdeel over het algemeen met meer zorg afgewerkt en wordt het onderste deel ruwer gelaten. Dit ruwer laten kan ook door het besmijten van de pot. Dit besmijten komt bij een klein aandeel van de potten voor: 37 scherven (15,35%). Besmijten van potten kan een daterende functie hebben binnen een aardewerkensemble. Zo neemt het aandeel besmeten scherven een zeer groot aandeel in van het geheel aan aardewerk in de midden ijzertijd. Het ontbreken van besmeten materiaal zou dus kunnen wijzen op een oudere (vroeg ijzertijd, 800-500 v. Chr.) of jongere datering (late ijzertijd, vanaf 275 v. Chr.).⁴¹ Natuurlijk moet hier voorzichtig mee omgesprongen worden gezien het besmijten van aardewerk opkomt in de late bronstijd en eigenlijk niet verdwijnt tot in de Romeinse periode.

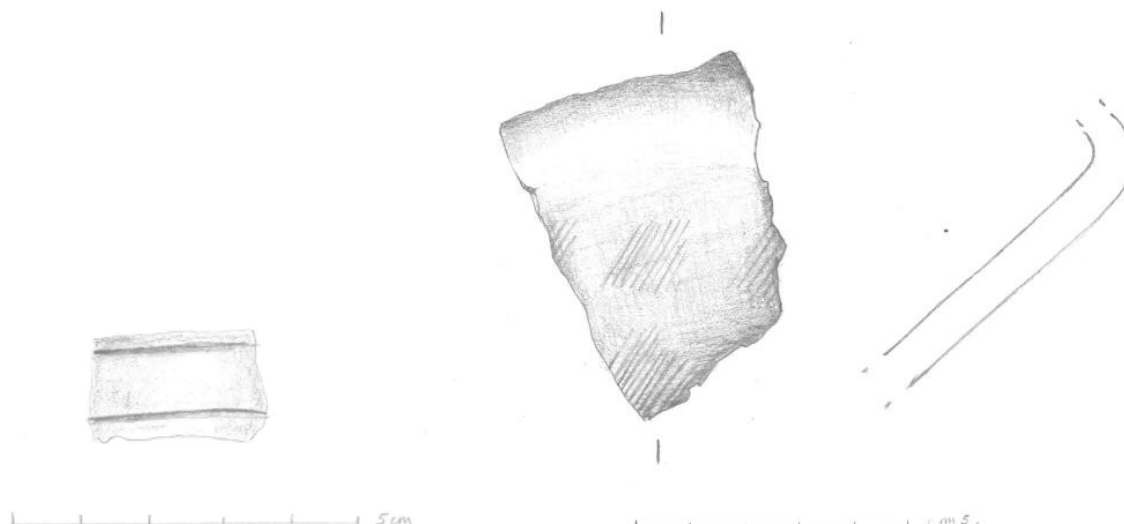
11 individuen vertonen een vorm van versiering, waarvan één individu twee mogelijke versieringen draagt. Ook één individu waarvan de wand is doorboord is hier meegerekend, terwijl deze doorboring een functionele aanpassing is aan de pot en geen esthetisch karakter had. De effening van de buikwand van een individu is hier ook aangehaald, hoewel dit effenen mogelijk ook eerder functioneel is dan esthetisch.

Type versiering	Aantal records
Indrukken	0
Groeven	6
Kamversiering	4
Doorboring	1
Effening	1

Tabel 5: Data versiering en technische aanpassingen

Bij zes records zijn de scherven beschreven met een versiering door middel van groeven. Een groef is een lineair motief aangebracht met een hulpmiddel of met de vinger. Met een hulpmiddel wordt meestal een strak en verzorgd motief bereikt. Met de vinger kan het zowel verzorgd als onverzorgd zijn, maar in ieder geval breder. Meestal worden groeven aangebracht ter accentuering van de overgang van twee potdelen, van lip naar hals of schouder (n=1), van hals naar schouder (n=0), van schouder naar buik (n=0) en van buik naar bodem (n=1). Hierbij kan de groef aangebracht zijn net boven, op of onder de knik. Groeven kunnen ook dekkend zijn aangebracht, met een parallel motief (n=4) of eerder aangebracht in verschillende richtingen, kruisend (n=0) of gezoneerd (n=0). Wanneer de groeven zijn aangebracht door middel van een getand voorwerp, wordt deze beschreven als kamversiering. Dit type versiering komt bijna uitsluitend voor op de buikwand van een pot. De versiering is meestal dekkend maar niettemin gezoneerd, al dan niet in verschillende richtingen aangebracht (Figuur 31).

⁴¹ VAN DEN BROEKE 2012



Figuur 31: Groef als accentuering (links) en in parallel motief (rechts)

Er komen geen indrukken als versiering voor. Dit is zeer uitzonderlijk en is waarschijnlijk ook gerelateerd aan het feit dat het aandeel verzorgde scherven zo groot is, met 158 scherven (65,55%).

De scherf met doorboring, vnr 39, is een verzorgde wandscherf waarin de doorboring is aangebracht vanuit buiten- en binnenwand, waardoor een zandlopervormige doorboring is ontstaan. De doorboring heeft een diameter aan het oppervlakte van 0,5 cm. Waarschijnlijk diende deze doorboring, in combinatie met een tweede doorboring die is verloren gegaan, om de pot op te hangen (Figuur 32).

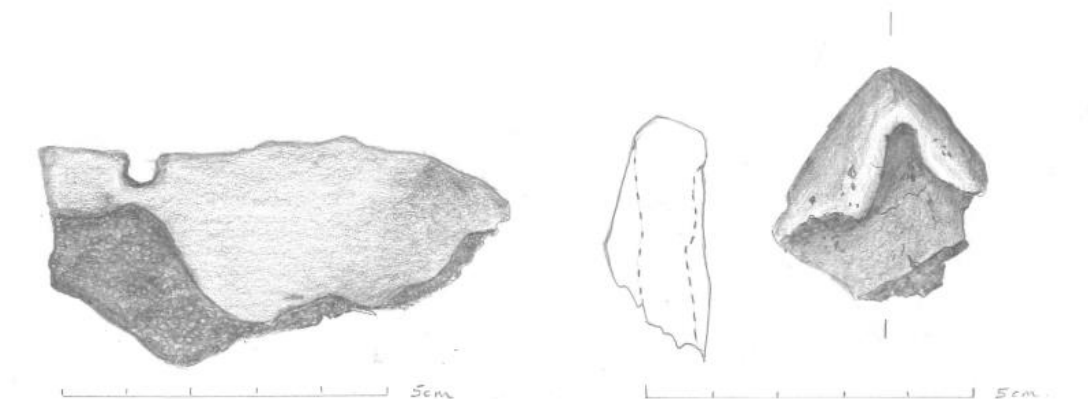
De vorm van de lippen van de randscherven varieert van spits tot afgerond en afgeplat. Één individu vertoont de rand van een lappenschaal. Één individu vertoont een spitse lip (type A1.8). 27 individuen hadden een ronde lip, waarbij uitstulpingen naar buiten, naar binnen of naar buiten en binnen voorkomen (type A1.1 en alle types van B2). Elf individuen vertonen een afgeplatte lip, van het type B3. In een aantal gevallen was de lip zeer onverzorgd aangebracht op de pot.⁴² Er komt eveneens een rand van een lappenschaal met omgeplooid rand (vnr 23) voor, type 2b volgens Van Den Broeke.⁴³ Een dergelijke *coupe à bord ourlé* of parasolschaal wordt over het algemeen als opvolger van de lobbenschaal of *coupe à bord lobbé* gezien en gedateerd vanaf de vroege ijzertijd, met een hoogtepunt tussen fase D en G (575/550-350/325 v. Chr.).⁴⁴ Een dergelijke lappenschaal wordt over het algemeen gerelateerd aan activiteiten met haardvuur of verlichting. Dit werd eerder vastgesteld aan de hand van de secundaire verbranding aan de binnenwand van de vormen, zoals te Olen Industrielaan (Figuur 32).⁴⁵

⁴² Types volgens VAN DEN BROEKE 2012, fig.3.31

⁴³ VAN DEN BROEKE 2012, fig.3.4:6, type 2b=open schaal met lobben en een rand die tussen de lobben is verdikt en/of uitgebogen.

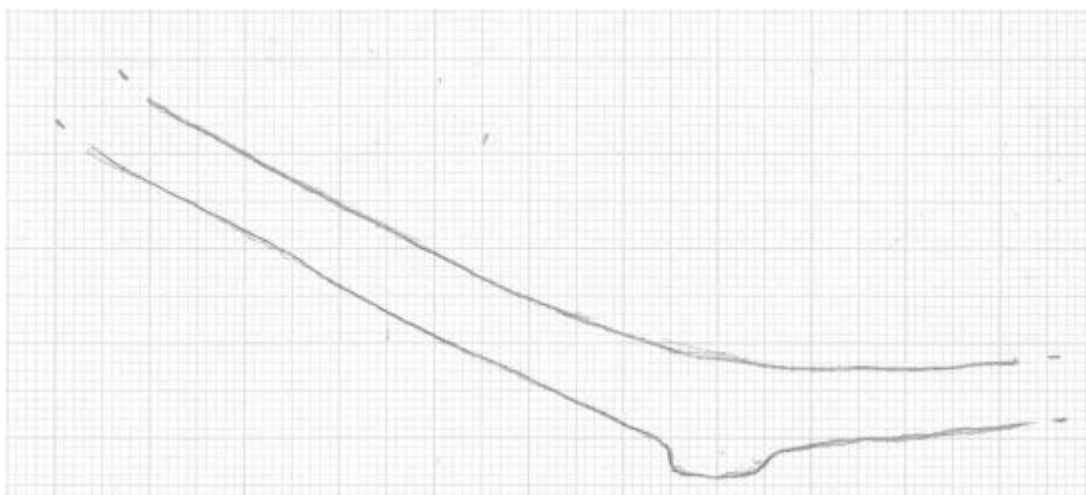
⁴⁴ VAN DEN BROEKE 2012, fig.2.10; LAMBOT 1988; LEMAN-DELERIVE 1973; WARMENBOL 1983

⁴⁵ MOSTERT & DYSELINCK 2014



Figuur 32: Vooraanzicht van scherf met doorboring (vnr 39, links) en doorsnede en vooraanzicht van omgeplooid rand van lappenschaal (vnr 23, rechts)

Van de 18 bodemscherven kon slechts van 4 individuen bepaald worden om welk type bodem het ging. Slechts twee types komen voor: de vlakke bodem en de standring. De vlakke bodems, waarbij de volledige bodemplaat de ondergrond raakt, komen 2 keer voor (vnr 31 en 47). Het voorkomen van twee bodems met een standring bij vnr 39 duidt op een datering in fase F-G (450-325 v. Chr.).⁴⁶ Bij één van beide bodems vertoont de standring duidelijk sporen van slijtage en gebruik. De andere standring vertoont kneepjes die de vorming van de standring voor het bakken weergeven (Figuur 33).



Figuur 33: Doorsnede van bodem met standring (vnr 39)

Van 16 potten kon een vorm gereconstrueerd worden. Één exemplaar is duidelijk eenledig, een kom met een spitse rand en een diep rond lichaam (vnr 30), maar ook de rand van de lappenschaal is afkomstig van een eenledige vorm, hoewel niks van de wand is bewaard gebleven (vnr 23).

14 exemplaren zijn tweeledige potten. Hierbij overheerst de eerder lage potvorm waarbij ook de schouderknik in de bovenste helft gesitueerd kan worden. Een aantal van deze potten zijn beschreven als geknikte Marne-achtige schaaltes, met korte schouder en zeer scherpe schouderknik. Dergelijke vormen zijn veelvuldig aangetroffen op de Kemmelberg, te Houplin-Ancoisne maar ook in Spiere-De Hel.⁴⁷ Ook recent te Menen-Moorselestraat zijn dergelijke vormen aangetroffen.⁴⁸

Twee exemplaren zijn eerder ruw afgewerkt tweeledige vormen waarbij de bovenste delen, rand en schouder, verzorgder zijn afgewerkt dan de buikwand die dan besmeten is (vnr 45/47 en vnr 32). Twee

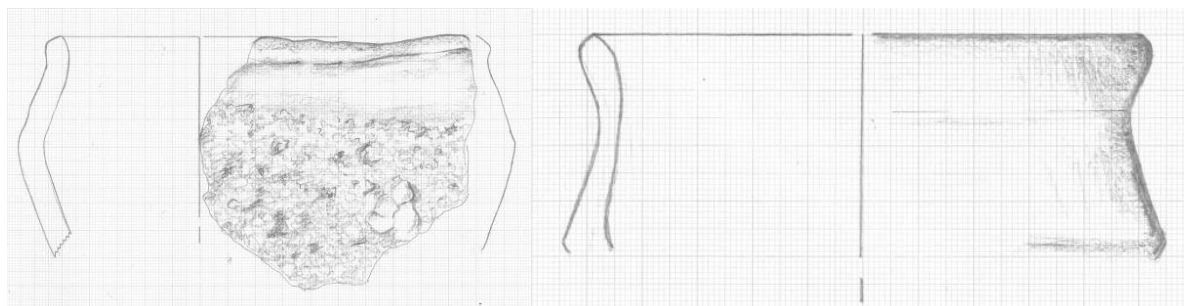
⁴⁶ Type B2, VAN DEN BROEKE 2012, fig.3.34b

⁴⁷ VAN DOORSELAER e.a. 1987; CHERRETTÉ & BOURGEOIS 2003, fig.13-19; DELARUELLE 2001

⁴⁸ DYSELINCK 2016

afgeronde vormen, meer emmerachtig maar niettemin tweeledig zijn volledig ruw gelaten (vnr 13 en 39). Het gaat hier meer om ondiepe kommetjes (Figuur 34).

Slechts één exemplaar is als drieledig beschreven (vnr 26). Het halsfragment is iets meer dan 1 cm lang, waardoor hier de discussie kan gevoerd worden of deze als afzonderlijk potdeel kan geteld worden (Figuur 34).⁴⁹ De ronde lip staat op een uitstaand korte hals die vrij scherp naar een korte schouder overgaat. De bolle schouder gaat scherp over naar de buik.



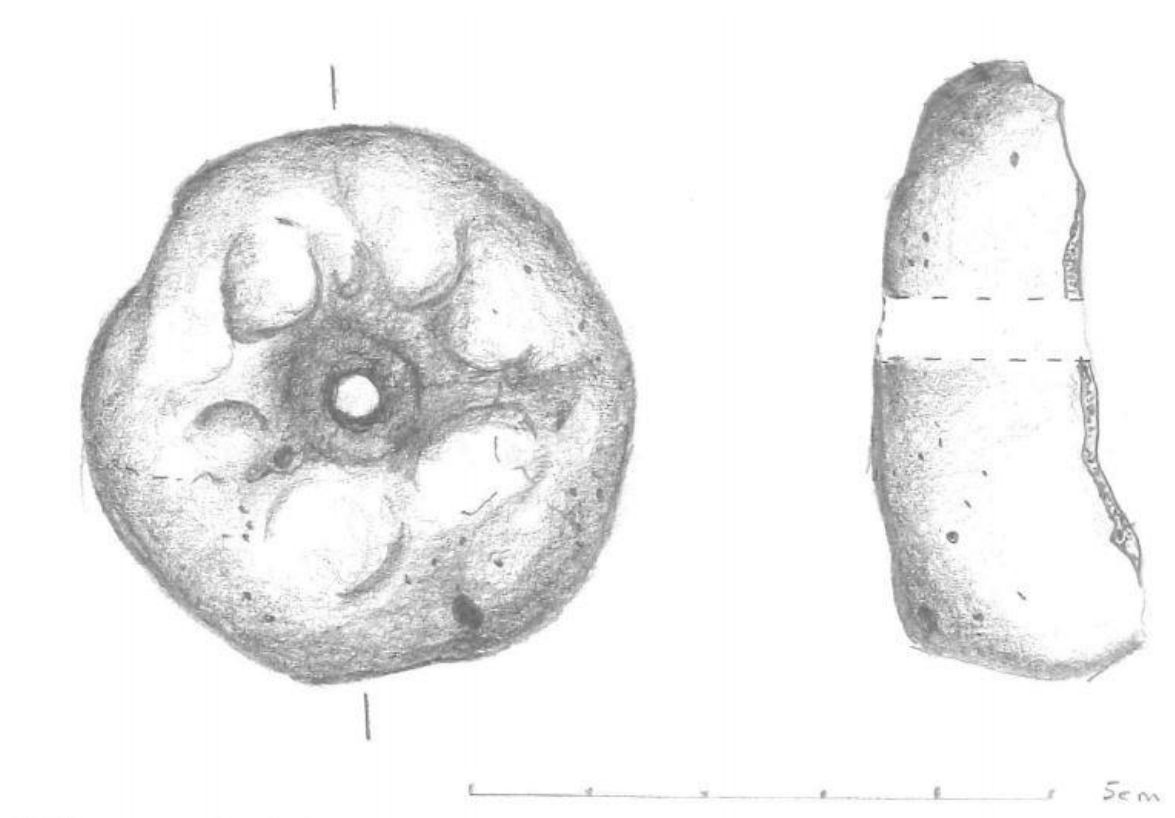
Figuur 34: Doorsnede en vooraanzicht van tweeledige vorm (links, vnr 45) en drieledige vorm (rechts, vnr 26)

Er zijn in totaal 19 scherven secundair verbrand. Bij secundaire verbranding is meestal het oppervlak van de buitenwand van de scherf veranderd in kleur en textuur. Slechts vijf scherven waren in die mate verweerd dat een aantal eigenschappen niet konden beschreven worden. Dit aandeel van vertering is zeer klein. De mate van fragmentatie, met een aandeel van 56,56% te gefragmenteerde scherven, is zeer groot. Dit grote aandeel kan te wijten zijn aan een zeer zorgvuldige inzamelwijze in het veld en een precieze werkwijze bij het wassen van de scherven, maar kan ook te wijten zijn aan de contexten waaruit deze scherven zijn gehaald en dus getuigen van pre-depositionele processen.

Spinschijf

In vnr 19 is een incomplete spinschijf gevonden. De spinschijf is vrij groot, met een doorboring van ongeveer 0,5 cm. De hoogte van de cilindrische spinschijf is niet meer te achterhalen. Helaas is op basis van de vorm van een spinschijf geen datering af te leiden (Figuur 35).

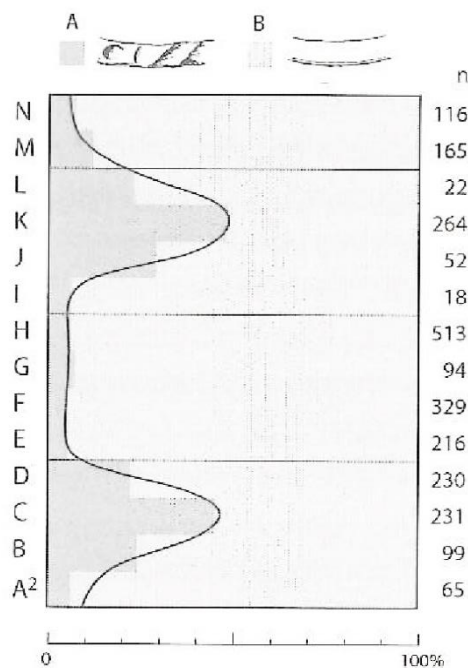
⁴⁹ Bij minder dan 1 cm wordt dit deel als lip gezien en niet als derde potdeel.



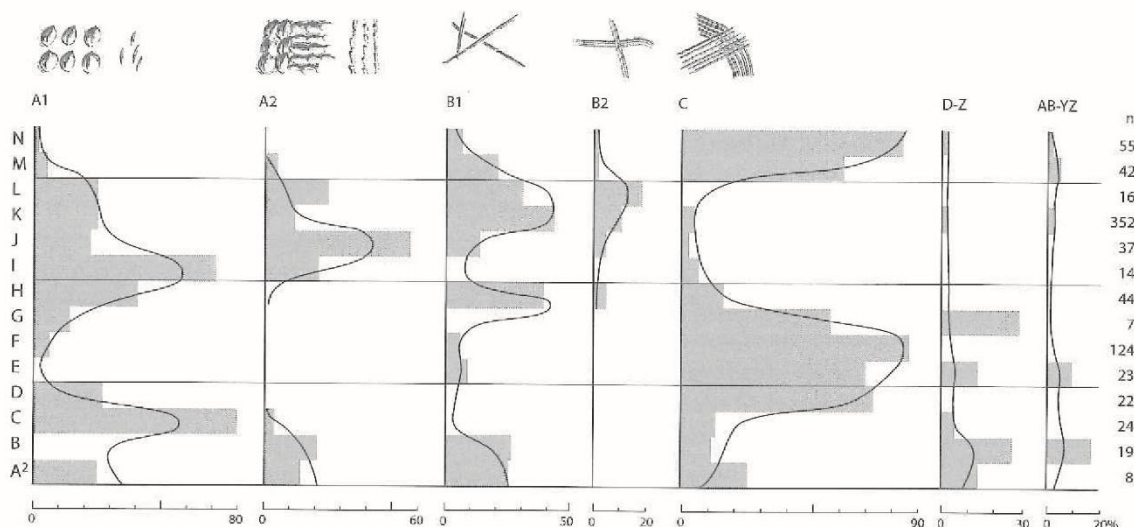
Figuur 35: Voor- en zijaanzicht van spinschijf (vnr 19)

Datering en vergelijkingen

Het totaal ontbreken van indrukken als versieringsvorm kan statistisch gezien een datering naar voor schuiven. Een dergelijk beeld kwam reeds naar voor in het onderzoek van Van den Broeke te Oss-Ussen en kan als trend vermoedelijk wijder getrokken worden. Opvallend in Figuur 36 en Figuur 37 is hoe voor de randversiering een duidelijk kleiner aandeel randversiering aanwezig is voor de fases E tot en met H (500-275/250 v. Chr.), terwijl de kamversiering een duidelijk prominent aandeel opneemt ongeveer in diezelfde fases. Dit komt ook hier, in het ensemble van Aalst Merestraat, duidelijk naar voren.



Figuur 36: Aandeel van met indrukken versierde randscherven ten opzichte van onversierde, geplaatst op een tijdslijn, in het assemblage van Oss-Ussen⁵⁰



Figuur 37: Aandeel van verschillende soorten versiering ten aanzien van de tijdlijn⁵¹

Voor de midden ijzertijd, en meer bepaald een datering in de Vroeg en Midden La Tène, zijn de standing, de scherp geknikte exemplaren, genre Marne-achtige schaaltes en de kamindrukken aanduidingen. Ook het ontbreken van indrukken op de rand als op de buik bevestigen een dergelijke datering.

Een aantal van de scherven zijn op basis van hun algemeen voorkomen, met name kleur, bakking, baksel en potgruis, als afwijkend beschreven. Ze lijken heel sterk op het late ijzertijd-vroeg Romeinse materiaal dat te Gent-Hogeweg is aangetroffen, waardoor een soortgelijke datering is aangehouden voor deze scherven. Het materiaal van Gent-Hogeweg kon op basis van vormen en versieringen

⁵⁰ VAN DEN BROEKE, 2012, Fig. 3.41, 107

⁵¹ VAN DEN BROEKE, 2012, Fig. 3.46, 124

vergeleken worden met de sites te Wervik, Kontich en Noord-Franse sites, maar hier ontbreken de nodige vormen en versieringen.⁵² Er zijn slechts twee tweeledige vormen (vnr 13 en 32) die dan zowel wat betreft afwerking als vorm in deze periode thuishoren, en een scherf met kamversiering (vnr 32), een versieringsvorm die ook in deze periode terug veelvuldig voorkomt. Het gaat om de vnrs 7, 13, 19, 32 en 38.

Conclusie

Het aardewerk van Aalst Merestraat wijst duidelijk op een occupatie in de midden ijzertijd, meer bepaald de Vroeg La Tène. Toch is ook duidelijk een jonger element aanwezig, die gedateerd kan worden op de overgang van de late ijzertijd naar de vroeg Romeinse periode. Het voorkomen van beide dateringen in een enkele context wijst duidelijk op het open karakter van deze context. Vooral gezien er ook middeleeuws aardewerk is gehaald uit deze context.

De contexten met elementen uit beide occupatieperiodes zijn S2012 en S2047. Negen contexten konden op basis van het vondstmateriaal niet nauwer gedateerd worden dan tussen de late bronstijd en vroeg Romeinse periode, S2032, S2041, S2045, S2046, S2051, S2056, S2065, S2072 en S2073. Twee contexten konden op basis van het te gefragmenteerd materiaal niet gedateerd worden, S2028 en S2069. S1016, S1017 en S2063 bevatten uitsluitend materiaal dat in de midden ijzertijd wordt gedateerd, terwijl S2067 en S2077 uitsluitend laat ijzertijd materiaal bevatten.

5.1.2 (Post-)middeleeuws aardewerk (Olivier Van Remoorter)

Er werden in totaal 22 scherven (post-)middeleeuws aardewerk gevonden. Ze zijn onderverdeeld in 13 wanden, 4 bodems, 2 randen, 1 steel en 2 poten. De meeste scherven wijzen op een datering in de late middeleeuwen tot postmiddeleeuwen. Enkele van de scherven kunnen reeds vanaf de 11^e eeuw voorkomen.

De meeste scherven kwamen voor in S3004. In dit spoor werden 10 scherven gevonden waaronder 2 poten. Enkele van de scherven vertoonden sporen van loodglazuur en op de poten waren vingerindrukken aanwezig. De scherven konden allemaal tussen de 14^e en de eerste helft van de 16^e eeuw worden gedateerd.

In S2029 werden 4 scherven gevonden. Eén hiervan betrof een steelgrape met loodglazuur en slibversiering die tussen de 2^e helft van de 15^e eeuw en de 1^e helft van de 16^e eeuw is te dateren (vnr 9) (Figuur 38).

De meeste andere scherven (post-)middeleeuws aardewerk werden aangetroffen bij losse sporen die niet in verband gebracht kunnen worden en maximaal één scherf bevatten.

⁵² DYSELINCK 2013; DE CLERCQ & et al. 2005; ANNAERT 1993; LEMAN-DELERIVE 1989; LEMAN-DELERIVE 1999



Figuur 38: Foto van steelgrape (vnr 9)

5.2 Andere materiaalcategorieën

5.2.1 Silex (Yves Perdaen)

In totaal werden drie silexartefacten gevonden, twee afslagen en een opgebruikte kern. Eén van de afslagen werd gevonden in S2077 tijdens het couperen. Aangezien de oudste fase van dit spoor in 3000 v.C. te dateren valt, in het neolithicum, is de afslag vermoedelijk ook in die periode te dateren.

De andere artefacten werden teruggevonden op de dump. Deze artefacten konden niet nader gedateerd worden.

5.2.2 Metaal

Er werden vier nagels gevonden tijdens de opgraving. Alle nagels waren sterk gecorrodeerd en konden niet verder gedetermineerd worden. Ze bevonden zich allemaal in aparte sporen die niet met andere sporen in verband gebracht konden worden.

6 Natuurwetenschappelijk onderzoek

Tijdens het uitgevoerde archeologisch onderzoek aan de Merestraat in Aalst (België) zijn 11 grondmonsters uit 7 verschillende contexten genomen ten behoeve van natuurwetenschappelijk onderzoek. De meeste van deze monsters bevonden zich binnen de sporencluster (S2065, S2066, S2067, S2073 en S2077, uit dit laatste spoor werden er drie monsters genomen) en binnen S2012, waaruit er twee monsters werden genomen. Voor het uitwerken van deze monsters is EARTH Integrated Archaeology B.V. ingeschakeld. Vijf monsters zijn geselecteerd voor een waardering van de macrobotanische resten, uit S2012, S2066, S2067, S2073 en S2077, en vier voor een selectie van geschikt materiaal voor ¹⁴C datering, uit S2012, S2065 en twee monsters uit S2077. Na zeven en waardering is een waarderingsrapport opgesteld waaruit naar voren komt dat de conservering van macrobotanische resten in de geselecteerde monsters slecht is. Ook de diversiteit aan resten is zeer beperkt. Op grond van deze bevindingen zijn alleen M7, uit S2066, en M11, uit S2012, geselecteerd voor analyse.⁵³ Alle vier de monsters die voor koolstofdateringen werden gewaardeerd, werden geselecteerd voor verder onderzoek.

Op het moment dat besloten werd welke monsters verder onderzocht zouden worden was nog niet geweten dat een deel van de monsters uit een pakket colluvium kwam. Indien dit wel reeds geweten was dan zouden er minder monsters gedateerd zijn.

6.1 Macrobotanische analyse (Clasine van Doorn)

Deze tekst is overgenomen en aangepast uit VAN DOORN, 2017.

6.1.1 Inleiding

Na zeven en waardering is een waarderingsrapport opgesteld waaruit naar voren komt dat de conservering van macrobotanische resten in de geselecteerde monsters slecht is. Ook de diversiteit aan resten is zeer beperkt. Op grond van deze bevindingen zijn alleen M7, uit S2066, en M11, uit S2012, geselecteerd voor analyse.⁵⁴

6.1.2 Onderzoeksvragen

De vraagstelling voor dit onderzoek richt zich op het verschaffen van inzichten in de milieuomstandigheden en/of de lokale voedsleconomie. Daarbij kan macrobotanisch onderzoek van paalkuilen van huizen mogelijk informatie geven over de indeling van het huis en processen die zich in het huis hebben afgespeeld. Soms kunnen dergelijke kuilen ook gerelateerd worden aan bepaalde ambachten.⁵⁵

- Welke milieuomstandigheden indiceren de macrobotanische resten?
- Welke informatie geven de macrobotanische resten met betrekking tot de lokale voedsleconomie?
- Is het mogelijk om een verband te leggen tussen de macrobotanische resten en de indeling van het gebouw in kwestie, dan wel bepaalde processen of ambachten in de omgeving van de plek van monsternamen?

53 FISCHER, 2017

54 FISCHER, 2017

55 FISCHER, 2017

6.1.3 Methode

De monsters zijn in een eerder stadium (waarderende fase) reeds gezeefd en bekeken. De twee grootste fracties; 2,0 en 1,0 mm, zijn in hun geheel bekeken. Van de kleinste fracties; 0,5 en 0,25 mm, is een representatieve steekproef genomen. Er is gebruik gemaakt van een binoculaire stereomicroscoop met opvallend licht microscoop en een vergroting tot 57x. De analyse is nu voortgezet en alle bevindingen worden hier gezamenlijk gepresenteerd.

6.1.4 Resultaten

Tijdens de waardering zijn in monster M11 een verkoolde graankorrel en aarvork van emmertarwe (*Triticum diccocon*), twee niet nader te identificeren graankorrels gevonden en 2 fragmenten van (duiven)boon (*Vicia faba ssp minor*) of erwt (*Pisum sativum ssp.*) aangetroffen. Ook in M7 zijn niet op soort te brengen graankorrels gevonden. De bevindingen van de analyse, weergegeven in Tabel 6 en Tabel 7, sluiten hierbij aan. Tijdens de waarderingsfase zijn in M10 ook gerst (*Hordeum vulgare* var. *vulgare*) en mogelijk rogge (cf. *Secale cereale*) aangetroffen. Dit monster is niet nader geanalyseerd.

Familie	Geslacht	Soort	Plantdeel	Aantal	Nederlandse naam
Poaceae	Triticum	monococcum	aarvork	1	Emmertarwe
Poaceae	Triticum	monococcum	zaad	1	Emmertarwe
Poaceae	Triticum	sp.	zaad	5	Tarwe
Poaceae		sp.	zaad	5	Graan sp.
Poaceae	Lolium?	sp.	zaad	1	Raaigras sp.
Fabaceae	Vicia /Pisum	sp.	zaad	2	(Duive)boon/erwt
Amaranthaceae	Chenopodium	album	zaad	6	Melganzevoet
Juncaceae	Juncus	sp.	zaad	4	Rus sp.

Tabel 6: Resultaten macrobotanische analyse M11

Familie	Geslacht	Soort	Plantdeel	Aantal	Nederlandse naam
Poaceae	Triticum	sp.	zaad	1	Tarwe sp.
Juncaceae	Juncus	sp.	zaad	5	Rus sp.
Amaranthaceae	Chenopodium	sp.	zaad	4	Ganzevoet sp.

Tabel 7: Resultaten macrobotanische analyse M7

6.1.5 Conclusies

Gezien de kwantiteit en kwaliteit van de macrobotanische resten, is het uitvoerig beantwoorden van de onderzoeksvragen een ambitieuze aangelegenheid geworden. Toch geven de monsters ons enig inzicht.

Milieuomstandigheden

Al is met name de representatie van wilde planten niet indrukwekkend, toch informeren zij ons over de lokale milieuomstandigheden: Russen (*Juncus sp.*) hebben voorkeur voor een vochtige standplaats in natte graslanden aan en zelfs in sloten. Ganzenvoetsoorten (*Chenopodium sp.*) gedijen goed op omgewerkte, open (bijvoorbeeld braakliggend) terrein. In grote getalen komen ze ook voor rond vuilstortplaatsen of andersoortige plaatsen waar veel organisch afval te vinden is, zoals mest of dode planten of dieren. Hiermee zijn Ganzenvoetsoorten typische cultuurvolgers.

Voedseleconomie

Beide monsters worden door de opgravers op grond van het gevonden aardewerk gedateerd in de midden ijzertijd. Op het moment van schrijven waren de resultaten van ¹⁴C datering nog niet bekend.

In de ijzertijd werden verschillende vernieuwingen in de landbouw doorgevoerd, zoals het rouleren van akkers, die nu afwisselend braak lagen. Over de gehele linie van voedselproductie is schaalvergroting te zien. Al lijkt de droge zandleem in het onderzochte gebied niet bij uitstek geschikt voor landbouw, de ijzertijd boer was prima in staat tot enige flexibiliteit. De keuze voor bepaalde voedselplanten werd afgestemd op de grondsoort. Emmertarwe heeft juist voorkeur voor een minerale ondergrond. Deze soort is dan ook in de gevonden monsters als enige op soort te brengen tarwe, in M11 teruggevonden. De vondst van een (duiven)boon dan wel erwt, is kenmerkend. Granen en peulvruchten zijn zowel landbouwkundig als qua voedingswaarde een uitstekend koppel. Waar graan werd verbouwd, werden meestal ook peulvruchten verbouwd. Peulvruchten geven namelijk stikstof af aan de grond, waar de meeste planten juist stikstof opnemen.⁵⁶ Dit maakt peulvruchten uitermate geschikt voor het rouleren van landbouwgronden en gewassen, wat gebruikelijk werd in de ijzertijd. Daarnaast voegen peulvruchten voedingsstoffen toe aan het dieet, die granen niet (voldoende) leveren, zoals eiwitten, die granen missen. De vondst van Rogge in M10 is opvallend. De heersende opvatting is dat Rogge pas laat in de ijzertijd, wellicht pas rond de eeuwwisseling, als cultuurplant werd verbouwd. Waarschijnlijk is rogge als akkeronkruid richting Europa gekomen. Rogge is goed winterhard en was daarmee uitermate geschikt als alternatief voor tarwe. Het is op grond van deze enkele vondst helaas niet vast te stellen of we hier te maken hebben met een gedomesticeerde dan wel wilde variant.

Op grond van de huidige resultaten van zowel het veldonderzoek als het macrobotanisch onderzoek, is het niet mogelijk om een plattegrond op te stellen waaraan de macrobotanische vondsten op een betekenisvolle manier kunnen worden gerelateerd. Het is binnen dit onderzoek dan ook niet mogelijk om een verbinding te leggen tussen de macrobotanische resten en de indeling van het gebouw in kwestie, dan wel bepaalde processen of ambachten.

6.2 Koolstofdateringen⁵⁷

6.2.1 Inleiding

Na het zeven en waarden werden vier monsters weerhouden om koolstofdateringen op uit te voeren. Bij M3, uit S2077, werd de koolstofdatering uitgevoerd op verbrand bot, bij M4, uit S2077, op houtskool, M6, uit S2065, op macroresten en bij M10, uit S2012, op verkoold graan.

⁵⁶ ZOHARY & HOPF, 2000/2004

⁵⁷ EARTH, 2017

6.2.2 Onderzoeksvragen

De onderzoeksvragen bij de koolstofdateringen richten zich voornamelijk op het dateren van de kuilen waaruit de monsters zijn genomen.

6.2.3 Methode

De monsters werden gedateerd door het Ångström Laboratory van de Uppsala Universitet in Zweden. Voor de kalibratie van de monsters is gebruik gemaakt van het programma OxCal 3.10 met de dataset Intcal09.⁵⁸

Vorbewerking verbrand bot:

Het oppervlak van het verbrand botmateriaal werd eerst mechanisch gereinigd door het te schrapen, en in sommige gevallen te zandstralen. Daarna werd het gemalen met een vijzel en werd er 1,5% NaOCl toegevoegd waarna het gedurende 48 uur werd geroerd op kamertemperatuur. Daarna werd het gewassen in gedistilleerd water waarna 1M HAC werd toegevoegd en het nogmaals werd geroerd op kamertemperatuur gedurende 24 uur. Hierna werd het opnieuw gewassen met gedistilleerd water en gedroogd. Als laatste werd het geloogd met 6M HCl en omgezet tot grafiet, gebruikmakende van een Fe-katalyst reactie.

Vorbewerking houtskool en soortgelijke materialen:

Als eerste werden zichtbare wortelvezels verwijderd. Daarna werd er 1% HCl toegevoegd waarna het mengsel gedurende 8-10 uur verhit werd op 80°C. Hierbij werden de carbonaten verwijderd. Wanneer dit voltooid was, werd 1%NaOH toegevoegd en werd het mengsel opnieuw gedurende 8-10 uur verhit op 80°C. Hierdoor werd zowel een oplosbare als een niet-oplosbare fractie dateerbaar materiaal verkregen. De niet-oplosbare fractie (INS-fractie) bestaat voornamelijk uit het originele organische materiaal en levert de meest betrouwbare datering op. De oplosbare fractie (SOL-fractie) slaat neer onder invloed van geconcentreerd HCl. Deze neerslag wordt gewassen en gedroogd. Bij deze fractie kan er zich een invloed van contaminanten voordoen.

Voor de meting zelf werd het gewassen en gedroogde materiaal verbrand tot CO₂ en omgezet tot grafiet, gebruikmakend van een Fe-katalyst reactie. Uiteindelijk werd de ouderdom van de INS-fractie gemeten.

Vorbewerking macroresten:

Er werd 1% HCl toegevoegd aan de macroresten. Dit mengsel werd gedurende 10 uur verhit op 80°C. Tijdens dit proces werden de carbonaten verwijderd. Daarna werd er 0,5% NaOH toegevoegd, en werd het mengsel gedurende 1 uur verhit op 80°C. Hierdoor werd zowel een oplosbare als een niet-oplosbare fractie dateerbaar materiaal verkregen. De niet-oplosbare fractie (INS-fractie) bestaat voornamelijk uit het originele organische materiaal en levert de meest betrouwbare datering op. De oplosbare fractie (SOL-fractie) slaat neer onder invloed van geconcentreerd HCl. Deze neerslag wordt gewassen en gedroogd.

Voor de meting zelf werd het gewassen en gedroogde materiaal verbrand tot CO₂ en omgezet tot grafiet, gebruikmakend van een Fe-katalyst reactie. Uiteindelijk werd de ouderdom van de INS-fractie gemeten.

⁵⁸ REIMER *et al.*, 2009

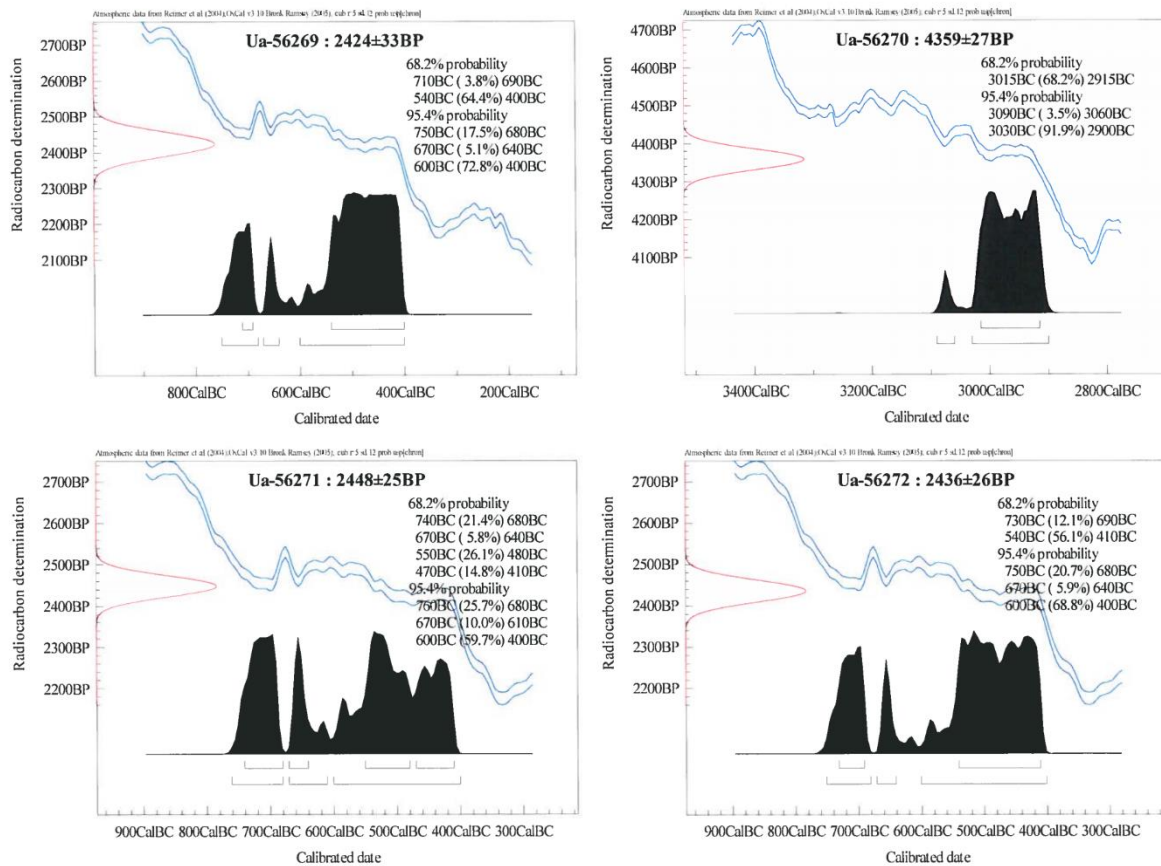
6.2.4 Resultaten

Uit de resultaten bleek dat M3, M6 en M10 allen tussen 760 en 400 v. Chr. gedateerd kunnen worden. Dit wil zeggen dat de sporen vermoedelijk tijdens de vroege tot midden ijzertijd (800 – 450 vC) werden bedekt. De dateringen kunnen door de invloed van het Hallstatt-plateau echter niet scherper worden gesteld.

M4 vertoont een andere datering. Deze werd tussen 3090 en 2900 v. Chr. gedateerd. Vermoedelijk werd de kuil waaruit het monster werd genomen ergens tijdens het midden neolithicum (4250 – 2500 v. Chr.) gedicht.

Monsternummer	Labnummer	Gekalibreerde ouderdom 1 σ (68,2%)	Gekalibreerde ouderdom 2 σ (95,4%)
M3	Ua-56269	710 vC – 690 vC (3,8%) 540 vC – 400 vC (64,4%)	750 vC – 680 vC (17,5%) 670 vC – 640 v C (5,1%) 600 vC – 400 vC (72,8%)
M4	Ua-56270	3015 vC – 2915 vC (68,2%)	3090 vC – 3060 vC (3,5%) 3030 vC – 2900 vC (91,9%)
M6	Ua-56271	740 vC – 680 vC (21,4%) 670 vC – 640 vC (5,8%) 550 vC – 480 vC (26,1%) 470 vC – 410 vC (14,8%)	760 vC – 680 vC (25,7%) 670 vC – 610 vC (10,0%) 600 vC – 400 vC (59,7%)
M10	Ua-56272	730 vC – 690 vC (12,1%) 540 vC – 410 vC (56,1%)	750 vC – 680 vC (20,7%) 670 vC – 640 vC (5,9%) 600 vC – 400 vC (68,8%)

Tabel 8: Monsternummers met de gekalibreerde ouderdommen met nauwkeurigheid van 68,2 en 95,4%



Figuur 39: Koolstofdateringsgrafieken

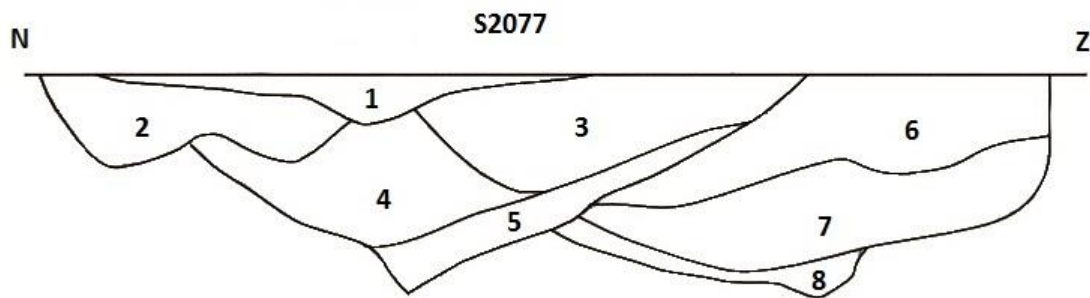
6.2.5 Conclusies

Om de koolstofdateringen te bespreken verdelen we deze in enkele clusters die op basis van locatie in het vlak worden onderverdeeld.

Een eerste locatie bevat enkel M10. Dit monster werd genomen uit laag 6 van S2012. Dit spoor kan in de midden ijzertijd gedateerd worden. Dit komt overeen met het aardewerk dat werd aangetroffen in dit spoor. Het komt ook grotendeels overeen met de resultaten van de macrobotanische analyse. M11, dat macrobotanisch onderzocht werd, bevatte resten van zowel granen als peulvruchten. Aangezien peulvruchten stikstof teruggeven aan de bodem, maakt het ze uitermate geschikt voor het rouleren van gronden, een landbouwtechniek die gebruikelijk was tijdens de ijzertijd. Ze voegen ook voedingsstoffen toe aan het dieet die niet (voldoende) worden aangeleverd door een dieet van uitsluitend granen. Tijdens de waarderingfase werd in M10 ook rogge gevonden. Men kon echter niet vaststellen of het hier om een gedomesticeerde of een wilde variant ging. Aangezien er algemeen wordt aangenomen dat rogge pas laat in de ijzertijd werd gecultiveerd, en zowel het aardewerk als de ¹⁴C datering een oudere datering aangeven, gaat het vermoedelijk om een wilde variant die als akkeronkruid op de site belandde.

De tweede locatie bevat M3, M4 en M6. Deze monsters werden respectievelijk genomen uit S2077 laag 1, S2077 laag 6 en S2065 laag 2. Deze monsters werden alle genomen uit sporen in vlak 3 van WP2. Ze maken deel uit van een sporencluster die zich onder een grotere vlek bevond. Wat hier voornamelijk opvalt, is het grote verschil in tijd tussen laag 1 en laag 6 in S2077, namelijk tussen 750 en 400 v. Chr. en tussen 3090 en 2900 v. Chr. respectievelijk. Mogelijk gaat het hier om oudere kuilen die deels zijn afgedekt door jonger colluvium. Dit colluvium zou afkomstig kunnen zijn van het westen, waar het terrein hoger lag. Dit lijkt bevestigd te worden in de coupe, waar vier fasen geïdentificeerd

werden. M4 werd uit de oudste fase genomen, terwijl het gedateerde aardewerk en M3 uit de eerste en tweede fase komen.



Figuur 40: Coupetekening van S2077: Fase 1 = Laag 1; Fase 2 = Laag 2 en 3; Fase 3 = Laag 4 en 5; Fase 4 = Laag 6, 7 en 8

7 Analyse en interpretatie

De situatie zoals deze in het vooronderzoek reeds boven gekomen was, met verspreide grondsporen, zette zich tijdens de archeologische opgraving verder. Er werden voornamelijk oudere grondsporen aangetroffen in de vorm van kuilen. Binnen deze verspreide kuilen konden geen structuren onderscheiden worden en er konden ook geen verdere uitspraken gedaan worden over de aard van de site. De sporen die tijdens het vooronderzoek reeds werden aangetroffen konden in de meeste gevallen echter niet meer aangetroffen worden. In enkele gevallen gaat het hierbij om restanten colluvium die bij het aanleggen van het vlak weg geschaafd werden.

Daar er geen duidelijke structuren gevonden werden tijdens het onderzoek, kunnen er ook zeer moeilijk vergelijkingen/doorgedreven analyses gemaakt worden. De enige sporenconcentratie die gevonden werd, was een cluster kuilen. Één van deze kuilen kon door middel van een C14 datering in het neolithicum gedateerd worden. Vermoedelijk was er een drinkpoel aanwezig ter hoogte van de sporencluster. De kuilen dienden mogelijk om blijvend in water te voorzien in drogere periodes. Boven deze kuilen zette zich een pakket colluvium af dat aan de hand van C14 dateringen tussen 800 en 400 v.C. te plaatsen is.

In de nabije omgeving van het onderzoeksgebied werden tot nu toe geen nederzettingen uit het neolithicum aangetroffen. Het is echter wel duidelijk dat het om kuilen van menselijke aard gaan die in verband gebracht kunnen worden met een nederzetting die zich in de omgeving bevindt.

Het colluvium bevatte een groot deel handgevormd aardewerk. Gelijkaardig aardewerk werd aangetroffen op de site Aalst Siesegemkouter, zo'n 250 m ten zuidwesten van het plangebied. Bij het vooronderzoek werden hier verschillende kuilen aangetroffen die gelijkaardige scherven handgevormd aardewerk bevatten. Na het vervolgonderzoek werd op deze site ook een gebouw aangetroffen. Dit gebouw werd in de midden tot late bronstijd gedateerd. Natuurwetenschappelijk onderzoek moet hier echter nog uitsluitsel over brengen.⁵⁹

Daarnaast werden er op de Siesegemkouter ook een viertal mogelijke ovenstructuren gevonden uit de postmiddeleeuwen die een sterke gelijkenis vertonen met het spoor met verbrande leemlaag in de Merestraat, dat als een veldoven of kampvuur geïnterpreteerd werd. De precieze functie van deze sporen is echter op geen enkele van de twee sites met zekerheid te achterhalen. Gezien de belangrijke militaire functie van de stad Aalst, en de positie op een 1000-tal m van de stadsmuren, zijn kampvuren of veldovens niet uit te sluiten.⁶⁰

⁵⁹ VERBRUGGE 2015

⁶⁰ DE MAEYER e.a. 2015

8 Besluit

8.1 Algemeen

De archeologische opgraving uitgevoerd door BAAC Vlaanderen bvba in opdracht van Durabrik op het terrein aan Merestraat te Aalst, bracht enkele interessante archeologische structuren aan het licht. Het gaat hier om een sporencluster en enkele losse kuilen uit de metaaltijden, een enkel mogelijk kampvuur uit de late middeleeuwen of post-middeleeuwen en enkele niet dateerbare sporen.

8.2 Beantwoording onderzoeksvragen

Wat is de aard, omvang, datering, en conservatie van de aangetroffen archeologische resten?

Er konden sporen uit verschillende perioden vastgesteld worden. De oudste sporen waren door middel van een C14 datering in het neolithicum te dateren. Het betreft een deel kuilen die worden afgedekt door een pakket colluvium dat via C14 tussen 800 en 400 v.C. te dateren was, en op basis van het aardewerk tussen de ijzertijd en de vroeg-Romeinse periode. Vermoedelijk gaat het hier om een drinkpoel waarin op verschillende momenten kuilen gegraven werden, mogelijk om blijvend in water te voorzien tijdens drogere periodes.

Uit de late-postmiddeleeuwen was slechts één spoor waaraan een functie kon worden toegekend. Het betreft hier één mogelijk veldoventje of kampvuur dat te herkennen was door een laag verbrande leem onderin het spoor. Er konden geen andere sporen hiermee in verband gebracht worden.

- Hoe verhoudt de site zich in zijn ruimere omgeving (cfr. Site op Siesegemkouter) met betrekking tot de onderzochte periode(s)?

Het aardewerk dat in het pakket colluvium werd aangetroffen vertoont grote overeenkomsten met het aardewerk dat gevonden werd tijdens de opgraving aan de Siesegemkouter. Aangezien de Siesegemkouter zich hoger bevindt dan de site in de Merestraat, en op een afstand van slechts 250 m ligt, is het mogelijk dat het colluvium vanop de Siesegemkouter afgespoeld is.

Voor de veldoven/kampvuur werd ook een parallel gevonden. Tijdens het vooronderzoek op de Siesegemkouter werden er vier gelijkaardige sporen gevonden, die allen in dezelfde periode te dateren waren.

- Wat is de archeologisch relevante bodemkundige opbouw?

Binnen het plangebied bestaat de bodemsequentie voornamelijk uit een Ap-Bw-C of een Ap1-Ap2-Bw-C structuur. Enkel in WP3 is de situatie anders doordat de bodem daar sterk opgehoogd werd. Dit wil zeggen dat er nog bodemvormingsprocessen zichtbaar zijn, maar dat deze sterk verweerd zijn. Onder deze B-horizont bevindt zich de C-horizont. Op deze horizont werd het vlak aangelegd en werden de sporen zichtbaar.

- Wat is de spreiding en onderlinge samenhang van de sporen?

De meeste sporen liggen verspreid in werkput 2. Behalve in de kuilencluster liggen de meeste sporen relatief gespreid. Er kon geen onderlinge samenhang herkend worden tussen de meeste sporen.

- Kan er een periodisering in het sporenbestand vastgesteld worden? Is er sprake van chronologische continuïteit? Kunnen er per periode fasen in de occupatie van het terrein onderscheiden worden?

Het natuurwetenschappelijk onderzoek toonde aan dat er een duidelijke chronologie is binnen het plangebied. Deze omvat drie fasen, een eerste neolithische fase die enkel gekend is door middel van een C¹⁴-datering, een ijzertijd fase die het meest uitgebreid is en gekend is aan de hand van aardewerk en natuurwetenschappelijke dateringen en een post-middeleeuwse fase die gekend is door middel van een kampvuur of veldoventje. Hierbij moet wel worden opgemerkt dat de ijzertijdfase vermoedelijk vooral uit een pakket colluvium bestaat. Mogelijk waren er meerdere oudere sporen aanwezig die niet bemonsterd werden, of die niet meer zichtbaar waren in de leemgrond.

- Wat is de omvang, begrenzing en ruimtelijke structuur van de nederzetting(en) of het erf, per periode/fase? Welke argumenten kunnen hiervoor aangereikt worden?

Er werd geen nederzetting of erf aangetroffen.

- Kunnen er uitspraken worden gedaan met betrekking tot de typen plattegronden en functionele en constructieve aspecten van de gebouwen? Is er sprake van herstelfasen? Zijn er aanwijzingen voor interne organisatie binnen de gebouwen?

Er werden geen plattegronden aangetroffen.

- Tot welke vondsttypen of vondstcategorieën behoren de vondsten? Wat is de conserveringsgraad en de vondstdichtheid?

De grootste deel van het vondstmateriaal bestaat uit handgevormd aardewerk, dat tijdens de metaaltijden te dateren is. Daarnaast werd er in mindere mate ook (post-)middeleeuws aardewerk, silex en metaal aangetroffen. Het aardewerk had een relatief goede conserveringsgraad, het metaal was sterk gecorrodeerd.

- Wat kan er op basis van het organische en anorganische vondstmateriaal gezegd worden over de datering van de nederzetting, de functie van de nederzettingen als geheel en de verschillende onderdelen daarvan?

Er werd geen nederzetting aangetroffen. De sporencluster die werd aangetroffen is vermoedelijk wel het restant van een drinkpoel waarin kuilen gegraven werden. Mogelijk dienden deze om blijvend in water te voorzien tijdens drogere periodes. De sporencluster werd later afgedekt door colluvium.

- Wat kan er op basis van het vondstmateriaal gezegd worden over de materiële cultuur, het voedselpatroon en de bestaans economie van de nederzetting?

Er werd geen nederzetting aangetroffen. Het pollenonderzoek toonde wel aan dat er in de omgeving van het plangebied zowel resten van emmertarwe als resten van peulvruchten werden aangetroffen.

- Wat is de relatie tussen de ligging van (onderdelen van) de nederzetting en hun landschappelijke omgeving?

Er werd geen nederzetting aangetroffen op de site zelf. Gezien de aanwezigheid van kuilen, aardewerk en macrobotanische resten van tarwe en peulvruchten, ligt er vermoedelijk een nederzetting in de nabije omgeving van de site. Verder onderzoek moet aantonen of deze nederzetting bestaat uit de gebouwen die werden aangetroffen op de site Siesegemkouter.

- Wat kan er gezegd worden over de inrichting en vegetatie in de nabije en ruimere omgeving van de vindplaats en de verbouwde gewassen?

Uit het macrobotanisch onderzoek kon worden afgeleid dat tarwe en peulvruchten werden geteeld in de omgeving van de site. Dit is typisch voor het boerenbedrijf in de midden-ijzertijd aangezien men in deze periode begint met het rouleren van akkers. Peulvruchten waren daarbij uitermate belangrijk aangezien ze niet enkel voedingsstoffen toevoegen aan het dieet, maar ook stikstof toevoegen aan de grond, waar de meeste planten juist stikstof opnemen. Gezien de grote hoeveelheid ijzertijd-aardewerk binnen het colluviumpakket bevindt er zich vermoedelijk een nederzetting uit die periode in de omgeving van het plangebied.

- Welke analyses dienen uitgevoerd om een inzicht te krijgen in de landschappelijke context van de site en de datering van de aangetroffen structuren/artefacten?

Verdere analyses zullen vermoedelijk geen extra inzichten opleveren.

- Hoe past de vindplaats binnen het regionale landschap uit deze specifieke periode(s)? zijn deze vergelijkbaar met andere soortgelijke vindplaatsen uit eenzelfde periode?

Op de site in de Merestraat werden enkel *off-site* fenomenen aangetroffen. Het is hierdoor niet mogelijk om ze te vergelijken met andere soortgelijke vindplaatsen in de omgeving. Dit niettegenstaande is ze wel in te passen binnen het regionale landschap. De aangetroffen *off-site* fenomenen zijn vermoedelijk te linken met de site die zich ten westen van het plangebied bevindt. Dit geeft het beeld van een verspreide bewoning in de regio weer. Vermoedelijk was de sporencluster een nattere zone die als drinkpoel diende voor het vee van de omliggende bewoning.

8.3 Besluit

Tijdens het onderzoek werden slechts weinig sporen aangetroffen. Er werden enkele geïsoleerde kuilen aangetroffen en een sporencluster die was afgedekt door een colluviumpakket. Daarnaast werd ook een veldoventje of kampvuur gevonden.

De sporencluster kon op basis van een C14 datering in één van de kuilen tot 3.000 v.C. gedateerd worden. Vermoedelijk ging het om een iets lager gelegen zone die als drinkpoel gebruikt werd. De kuilen zijn vermoedelijk om blijvend in water te voorzien tijdens drogere perioden. Later kwam er een colluviumpakket terecht op de drinkpoel. Enkele andere sporen (S1016 en S1017) zijn mogelijk ook restanten van dit pakket in het microreliëf.

Binnen het colluvium werd veel handgevormd aardewerk aangetroffen dat tussen de ijzertijd en de vroeg-Romeinse periode te dateren is. Dit komt overeen met het aardewerk dat teruggevonden werd op de site Siesegemkouter, zo'n 250 m ten westen van de Merestraat. Aangezien de Siesegemkouter hoger gelegen is in het landschap, is het mogelijk dat het colluvium van die site afkomstig is.

De verschillende geïsoleerde sporen op de site zijn vermoedelijk ook in de ijzertijd te dateren. Bij de grootste van deze sporen, S2012, werd dat zowel aan de hand van koolstofdateringen als macrobotanisch onderzoek bevestigd. Zowel bij deze sporen, als bij het kuilencomplex gaat het vermoedelijk om *off-site* fenomenen.

Uit recentere periodes werd ook een veldoventje gevonden. Deze zijn gelijkaardig aan een viertal ovenstructuren die op de Siesegemkouter werden gevonden. De exacte functie van deze veldoventjes is niet gekend, maar mogelijk gaat het om kampvuren, gezien de nabijheid bij de stadsmuren van Aalst en de belangrijke militaire functie die deze had.

9 Lijst met figuren

Figuur 1: Situering onderzoeksgebied op orthofoto	2
Figuur 2: Situering onderzoeksgebied op de topografische kaart.....	4
Figuur 3: Situering onderzoeksgebied op de kadasterkaart.....	5
Figuur 4: Kenmerken van de quartairgeologische kaart 1:200.000 voor het plangebied	6
Figuur 5: Situering van het onderzoeksgebied op de Tertiairgeologische kaart	7
Figuur 6: Situering van het onderzoeksgebied op de Quartairgeologische kaart	8
Figuur 7: Situering van het onderzoeksgebied op de Quartairgeologische kaart 1:50.000	9
Figuur 8: Situering onderzoeksgebied op de bodemkaart van Vlaanderen	10
Figuur 9: Situering onderzoeksgebied op de kaart van Deventer (1558-1575)	12
Figuur 10: Situering onderzoeksgebied op de kaart van Ferraris (1771-1778)	14
Figuur 11: Situering van het onderzoeksgebied op de kaart van Vandermaelen (1846-1854)	15
Figuur 12: Situering van het plangebied op de Popp-kaart.....	16
Figuur 13: CAI-kaart van het onderzoeksgebied met de archeologische vindplaatsen in de omgeving	18
Figuur 14: Plangebied met aanduiding van de sporen, proefsleuven, kijkvensters en de geadviseerde zone voor verder onderzoek.....	19
Figuur 15: Overzicht van de werkputten.....	22
Figuur 16: Het geselecteerd natuurwetenschappelijk onderzoek op de sporenkaart.....	25
Figuur 17: profiel 2 uit werkput 1.....	27
Figuur 18: Profiel 1 uit werkput 2.....	27
Figuur 19: Profiel 1 uit werkput 3.....	28
Figuur 20: Grondplan met overzicht van alle sporen.....	30
Figuur 21: Overzicht van de sporen in de vlak verdieping ter hoogte van sporencluster 1. (Boven: vlak 1, Midden: vlak 2, Onder: vlak 3)	31
Figuur 22: Coupe op S2075 en 2076 (Vlak 3).....	32
Figuur 23: Coupe op S2066 en 2067 (Vlak 3).....	32
Figuur 24: Coupe op S2077 (Vlak 3): Fase 1 = Laag 1; Fase 2 = Laag 2 en 3; Fase 3 = Laag 4 en 5; Fase 4 = Laag 6, 7 en 8..	33
Figuur 25: Coupe op S1017.....	33
Figuur 26: Coupetekening van S2012, het noordelijke deel was verstoord.....	34
Figuur 27: Situering van S2012 binnen het plangebied.....	34
Figuur 28: (Links) Enkele fragmenten aardewerk uit S2012, met aan de rechterzijde een wandfragment met gezoneerde kamversiering. (Rechts) Enkele fragmenten aardewerk uit sporencluster in werkput 2.....	35
Figuur 29: S3004 in vlak en coupe.....	36
Figuur 30: Coupe van S3003.....	37
Figuur 31: Groef als accentuering (links) en in parallel motief (rechts).....	40
Figuur 32: Vooraanzicht van scherf met doorboring (vnr 39, links) en doorsnede en vooraanzicht van omgeploide rand van lappenschaal (vnr 23, rechts).....	41
Figuur 33: Doorsnede van bodem met standing (vnr 39)	41
Figuur 34: Doorsnede en vooraanzicht van tweeledige vorm (links, vnr 45) en driedelige vorm (rechts, vnr 26)	42
Figuur 35: Voor- en zijaanzicht van spinschijf (vnr 19)	43
Figuur 36: Aandeel van met indrukken versierde randscherven ten opzichte van onversierde, geplaatst op een tijdslijn, in het assemblage van Oss-Ussen.....	44
Figuur 37: Aandeel van verschillende soorten versiering ten aanzien van de tijdlijn.....	44
Figuur 38: Foto van steelgrape (vnr 9)	46
Figuur 39: Koolstofdateringsgrafieken.....	52
Figuur 40: Coupetekening van S2077: Fase 1 = Laag 1; Fase 2 = Laag 2 en 3; Fase 3 = Laag 4 en 5; Fase 4 = Laag 6, 7 en 8.....	53

10 Bibliografie

- AGIV (2017a) *AGENTSCHAP GEOGRAFIE INFORMATIE VLAANDEREN: Topografische Kaart NGI 1:10000 raster, klassieke reeks*. Available at: <http://www.geopunt.be>.
- AGIV (2017b) *AGENTSCHAP GEOGRAFISCHE INFORMATIE VLAANDEREN: Grootschalig Referentiebestand (GRB)*.
- AGIV (2017c) *AGENTSCHAP GEOGRAFISCHE INFORMATIE VLAANDEREN: Orthofotomozaïek, middenschalig, winteropnamen, kleur, 2013-2015, Vlaanderen*.
- ANNAERT, R. (1993) 'Een Viereckschanze op de Alfsberg te Kontich (prov. Antwerpen): Meer dan een cultusplaats', *Archeologie in Vlaanderen*, III, pp. 53–125.
- VAN DEN BROEKE, P. (2012) *Het handgevormd aardewerk uit de ijzertijd en de Romeinse tijd van Oss-Ussen, Studies naar typonomie, technologie en herkomst*. Leiden.
- CAI (2017) *Centraal Archeologisch Inventaris*. Available at: <http://cai.onroerenderfgoed.be/>.
- CARTESIUS (2016) *Kaart van Deventer (1550-1565)*.
- CHERRETTÉ, B. and BOURGEOIS, J. (2003) 'Oedelem-Wulfsberge 2002: Grafmonument uit brons- en ijzertijd (W-VI)', *Lunula. Archeologia protohistorica*, XI, pp. 33–36.
- DE CLERCQ, W. and et al. (2005) 'De protohistorische periode uit de opgravingen te Aalter, industrieterrein Langevoorde, Profane en rituele aspecten uit de late IJzertijd', *Lunula, archaeolog*, pp. 125–134.
- DELARUELLE, S. (2001) 'De ijzertijdbewoning van Spiere-De Hel', *Archeologische en Historische Monografieën van Zuid-West-Vlaanderen*, 47.
- VAN DOORN, C. (2017) 'Macrobotanische analyse van de opgraving Aalst Merestraat, België'. EARTH.
- VAN DOORSELAER, A. et al. (1987) 'De kimmelberg: een Keltische bergvesting', *West-Vlaamse archeologica, monografieën*, III.
- DOV Vlaanderen (2017) *Databank Ondergrond Vlaanderen*. Available at: www.DOV.be.
- DOV VLAANDEREN (2017a) *Databank Ondergrond Vlaanderen, Bodemkaart*. Available at: <https://www.dov.vlaanderen.be/portaal/?module=public-bodemverkenner#ModulePage>.
- DOV VLAANDEREN (2017b) *Databank Ondergrond Vlaanderen, Neogeen/paleogeen (Tertiair)*. Available at: <https://www.dov.vlaanderen.be/portaal/?module=public-bodemverkenner#ModulePage>.
- DOV VLAANDEREN (2017c) *Databank Ondergrond Vlaanderen, Quartair*. Available at: <https://www.dov.vlaanderen.be/portaal/?module=public-bodemverkenner#ModulePage>.
- DYSELINCK, T. (2013) *Gent-Hogeweg, Vlakdekkende opgraving, BAAC-rapport A-11.0045*.
- DYSELINCK, T. (2016) 'Analyse van het ijzertijdaardewerk', in VERBEKE, E. and DEMOEN, D. (eds) *archeologische prospectie met ingreep in de bodem, Menen Moorselestraat, BAAC Vlaanderen Rpport 207*. Mariakerke-Gent: BAAC Vlaanderen, pp. 46–51.
- EARTH (2017) *EARTH Integrated Archaeology 14C dateringsrapport Aalst Merestraat*.
- FAO (2006) 'Guidelines For Soil Description'. Rome: FAO.
- FISCHER, A. (2017) 'Waarderingsrapport Aalst Merestraat'. EARTH.
- GEOPUNT (2017a) *GEOPUNT VLAANDEREN: Ferrariskaart (1777)*. Available at:

<http://www.geopunt.be>.

GEOPUNT (2017b) *GEOPUNT VLAANDEREN: Popp-kaart Vlaanderen (1842-1879)*. Available at: <http://www.geopunt.be>.

GEOPUNT (2017c) *GEOPUNT VLAANDEREN: Vandermaelen kaart, Cartes de topographique de la Belgique, 1846-1854*. Available at: <http://www.geopunt.be/catalogus/datasetfolder/93795cd6-66d3-4310-83b2-5443adfee403>.

GEOPUNT (2017d) *Toelichting: Vandermaelen (1846-1854)*. Available at: <http://www.geopunt.be/catalogus/datasetfolder/93795cd6-66d3-4310-83b2-5443adfee403>.

VANDER GINST, V. and SMEETS, M. (2016) 'Het archeologisch vooronderzoek aan de Merestraat te Aalst'. Kessel-Lo.

HASQUIN, H. and VAN UYTVEN, R. (1980) *Gemeenten van België: geschiedkundige en administratief-geografisch woordenboek, 1. Vlaanderen*. Edited by J. . DUVOSQUEL and V. ARICKX. België: Gemeentekrediet.

HASQUIN, H., VAN UYTVEN, R. and DUVOSQUEL, J.-M. (1980) *Gemeenten van België. Geschiedkundig en administratief-geografisch woordenboek*. Gemeentekrediet van België.

IOE (2017) *Inventaris Onroerend Erfgoed*. Available at: <https://inventaris.onroerenderfgoed.be>.

JACOBS P., DE CEUKELAIRE M., DE BREUCK W., D. M. G. (1996) 'Toelichting bij de geologische kaart van België, Vlaams gewest, kaartblad 22, Gent, schaal 1:50000'. Brussel: Belgische Geologische Dienst.

KONINKLIJKE BIBLIOTHEEK VAN BELGIË (2016) *Toelichting: Ferraris (kabinetskaart van de Oostenrijkse Nederlanden)*. Available at: http://belgica.kbr.be/nl/coll/cp/cpFerraris_nl.html.

LAMBOT, B. (1988) 'Les coupes à bord festonné du Bassin parisien et du Nord de la France', *Bulletin de la Société Archéologique Champenoise*, 81(2), pp. 31–82.

LEMAN-DELERIVE, G. (1973) 'La coupe à bord ourlés, chronologie, utilisation et repartition à l'époque de La Tène', *L'Antiquité Classique*, XLII(2), pp. 406–435.

LEMAN-DELERIVE, G. (1989) 'Les habitats de l'âge du fer à Villeneuve d'Ascq (Nord)', *Revue du Nord Hors Serie, Collection Archéologie*, 2.

LEMAN-DELERIVE, G. (1999) 'La céramique de La Tène finale dans la partie septentrionale de la Gaule Belgique', in TUFFREAU-LIBRE, M. and JACQUES, A. (eds) *La céramique précoce en Gaule Belgique et dans le régions voisines: de la poterie gauloise a la céramique gallo-romaine*. Nord-Ouest, pp. 11–23.

DE MAEYER, W. *et al.* (2015) 'Aalst Siesegemkouter 1 Archeologisch vooronderzoek'. Erpe-Mere: SOLVA.

DE MOOR, G. (2000) *Toelichting bij de quartairgeologische kaart van België, Vlaams Gewest: Kaartblad 22 Gent*. Gent: Vlaamse overheid, Dienst Natuurlijke Rijkdommen.

DE MOOR G., VERMEIRE S., A. R. (1999) *Geologie van het quartair, kaartblad 22 Gent*. Gent.

MOSTERT, M. and DYSELINCK, T. (2014) 'Uitzonderlijke vondsten uit de bronstijd - ijzertijd nederzetting in Olen-Industrielaan (prov. Antwerpen, België)', *Lunula, archaeolog*, pp. 107–112.

REIMER, P. J. *et al.* (2009) 'IntCal09 and Marine09 radiocarbon age calibration curves, 0-50.000 years cal BP', *Radiocarbon*, 51(4), pp. 1111–1150.

VANDEPUTTE, O. (2008) *Erfgoedbibliotheek van de Belgische gemeenten - Oost-Vlaanderen*. Tielt.

VERBRUGGE, A. (2015) 'Voorlopige resultaten archeologische opgraving Aalst Siesegemkouter'.

WARMENBOL, E. (1983) 'à propos de la jatte à bord lobé', *Bulletin du Club Archéologique Amphora*, (32), pp. 4–10.

ZEEBROEK, I. (2016) 'Bijzondere voorwaarden bij de vergunning voor een archeologische opgraving: Aalst, Merestraat'.

ZOHARY, D. and HOPF, M. (no date) 'Domestication of Plants in the Old World (3rd edition)'. Oxford: Oxford University Press.

11 Bijlagen

11.1 Lijsten

11.1.1 Sporelijst

11.1.2 Fotolijst

11.1.3 Vondstenlijst

11.1.4 Profielenlijst

11.2 Kaartmateriaal

11.2.1 Overzichtsplan

11.2.2 Detailplan vlak 2

11.2.3 Detailplan vlak 3

11.3 Bodemprofielen

11.4 Digitale versie van het rapport, de bijlagen en het fotomateriaal

Bijlage 11.1.1 Sporelijst															
Spoor	Werkput	Vlak	Interpretatie (in vlak)	Interpretatie	Bewaringsdiepte	Vorm	Het/Hom	Tint	Kleur1	Kleur2	Inclusie1	Inclusie2	Inclusie3	Textuur	Spoorrelatie
1.001	1	1	paalkuil	paalkuil	-9	Rond	Heterogeen	Donker	Bruin		Houtskool	Mangaan		LZ3	
1.002	1	1	natuurlijk	natuurlijk		Rond	Heterogeen	Donker	Bruin		Houtskool	Mortel			
1.003	1	1	paalkuil	paalkuil	-11	Rond	Heterogeen	Donker	Bruin		Houtskool				
1.004	1	1	kuil	kuil	-17	Ovaal	Heterogeen	Donker	Bruin	Grijs	Houtskool				
1.005	1	1	paalkuil	paalkuil	-6	Rechthoekig	Heterogeen	Donker	Bruin	Grijs	Houtskool				
1.006	1	1	greppel	greppel	-2	Lineair	Heterogeen	Donker	Bruin	Grijs	Houtskool				
1.007	1	1	kuil	kuil	-16	Rond	Heterogeen	Donker	Bruin	Grijs	Houtskool	Mangaan			
1.008	1	1	kuil	kuil	-18	Ovaal	Heterogeen	Matig	Bruin	Grijs	Houtskool	Mangaan			
1.009	1	1	natuurlijk	natuurlijk		Ovaal	Heterogeen	Matig	Grijs	Bruin	Houtskool	Mangaan			
1.010	1	1	kuil	kuil	-28	Rond	Heterogeen	Licht	Bruin	Grijs	Houtskool	Mangaan			
1.011	1	1	natuurlijk	natuurlijk	-8	Rond	Heterogeen	Licht	Bruin	Grijs	Houtskool	Mangaan			
1.012	1	1	natuurlijk	natuurlijk		Rond	Heterogeen	Matig	Bruin	Grijs	Houtskool	Mangaan			
1.013	1	1	natuurlijk	natuurlijk		Rond	Heterogeen	Donker	Bruin	Grijs	Houtskool	Mangaan			
1.014	1	1	natuurlijk	natuurlijk		Rond	Heterogeen	Licht	Bruin	Grijs	Houtskool	Mangaan			
1.015	1	1	natuurlijk	natuurlijk		Rond	Heterogeen	Matig	Bruin	Grijs	Houtskool	Mangaan			
1.016	1	1	kuil	kuil	-18	Rond	Heterogeen	Donker	Grijs	Bruin	Houtskool	Aardewerk			
1.017	1	1	kuil	kuil	-38	Onregelmatig	Heterogeen	Donker	Bruin	Grijs	Houtskool				
1.018	1	1	natuurlijk	natuurlijk	-8	Ovaal	Heterogeen	Donker	Bruin	Grijs	Houtskool				
2.001	2	1	Kuil	natuurlijk		Rechthoekig	Heterogeen		Bruin	Beige	Houtskool			LZ3	
2.002	2	1	Kuil	kuil	-2	Ovaal	Heterogeen		Bruin	Beige	Houtskool			LZ3	
2.003	2	1	Greppel	greppel	-30	Lineair	Homogeen		Bruin		Houtskool	Bot		LZ3	
2.004	2	1	Kuil	kuil	-6	Rond	Heterogeen		Bruin	Zwart	Houtskool	Verbrande leem		LZ3	
2.005	2	1	Kuil	kuil	-7	Ovaal	Heterogeen		Grijs	Bruin				LZ3	
2.006	2	1	Kuil	kuil	-8	Rechthoekig	Heterogeen		Bruin	Zwart	Houtskool	Verbrande leem		LZ3	
2.007	2	1	Kuil	kuil	-14	Rond	Heterogeen		Grijs	Bruin	Houtskool			LZ3	
2.008	2	1	Kuil	kuil	-30	Rechthoekig	Heterogeen		Grijs	Bruin	Houtskool			LZ3	
2.009	2	1	Kuil	kuil	-32	Rechthoekig	Heterogeen		Bruin	Wit	Mangaan			LZ3	
2.010	2	1	Greppel	greppel	-8	Lineair	Heterogeen		Grijs	Bruin	Houtskool			LZ3	
2.011	2	1	Kuil	recent		Ovaal	Heterogeen		Grijs	Bruin	Houtskool			LZ3	
2.012	2	1	Kuil	kuil	-50	Ovaal	Heterogeen		Bruin	Grijs	Houtskool			LZ3	
2.013	2	1	Kuil	natuurlijk		Ovaal	Heterogeen		Bruin	Grijs	Houtskool			LZ3	
2.014	2	1	Kuil	natuurlijk		Ovaal	Heterogeen		Bruin	Wit	Mangaan			LZ3	
2.015	2	1	Kuil	natuurlijk		Rond	Heterogeen		Bruin		Houtskool			LZ3	
2.016	2	1	Kuil	kuil	-14	Rond	Heterogeen		Bruin		Houtskool			LZ3	
2.017	2	1	Kuil	natuurlijk		Ovaal	Heterogeen		Bruin	Wit	Mangaan			LZ3	
2.018	2	1	Kuil	kuil	-21	Ovaal	Heterogeen		Bruin	Grijs	Houtskool			LZ3	
2.019	2	1	Natuurlijk	natuurlijk		Ovaal	Heterogeen		Bruin	Grijs	Houtskool			LZ3	
2.020	2	1	Kuil	kuil	-14	Ovaal	Heterogeen			Grijs	Houtskool			LZ3	
2.021	2	1	Greppel	greppel	-6	Lineair	Heterogeen			Grijs	Houtskool			LZ3	
2.022	2	1	Kuil	recent		Ovaal	Heterogeen			Grijs	Houtskool			LZ3	
2.023	2	1	Kuil	recent		Rechthoekig	Heterogeen			Grijs				LZ3	
2.024	2	1	Kuil	kuil	-36	Ovaal	Heterogeen		Grijs		Houtskool	Bouwmateriaal		LZ3	
2.025	2	1	Greppel	restant	-2	Lineair	Heterogeen		Grijs					LZ3	
2.026	2	1	Greppel	recent		Lineair	Heterogeen		Grijs	Zwart				LZ3	
2.027	2	1	Kuil	kuil	-12	Ovaal	Heterogeen		Grijs		Houtskool			LZ3	
2.028	2	1	Kuil	paalkuil	-18	Ovaal	Heterogeen		Grijs		Houtskool			LZ3	
2.029	2	1	Paalkuil	paalkuil	-27	Rond	Heterogeen		Grijs		Aardewerk			LZ3	
2.030	2	1	Kuil	natuurlijk	-1	Rond	Heterogeen		Grijs	Rood				LZ3	
2.031	2	1	Kuil	kuil	-36	Rechthoekig	Heterogeen		Grijs		Aardewerk			LZ3	
2.032	2	1	Kuil	kuil	-34	Ovaal	Heterogeen		Grijs		Houtskool			LZ3	
2.033	2	1	Kuil	kuil	-6	Rond	Heterogeen		Grijs	Bruin	Aardewerk			LZ3	
2.034	2	1	Kuil	kuil	-15	Rechthoekig	Heterogeen		Grijs	Bruin				LZ3	
2.035	2	1	Kuil	natuurlijk		Ovaal	Heterogeen		Bruin					LZ3	
2.036	2	1	Kuil	kuil	-1	Rechthoekig	Heterogeen		Bruin	Rood				LZ3	
2.037	2	1	Paalkuil	kuil	-12	Rond	Heterogeen		Zwart	Bruin	Houtskool			LZ3	
2.038	2	1	Kuil	natuurlijk		Ovaal	Heterogeen	Donker	Grijs	Beige	Mangaan			LZ3	
2.039	2	1	Kuil	recent		Ovaal	Homogeen	Matig	Geel	Grijs	Baksteen			LZ3	
2.040	2	1	Kuil	kuil	-10	Ovaal	Heterogeen	Matig	Grijs	Bruin	Mangaan			LZ3	
2.041	2	1	Kuil	natuurlijk		Ovaal	Heterogeen	Licht	Grijs	Bruin	Aardewerk			LZ3	
2.042	2	1	Kuil	natuurlijk		Rond	Heterogeen	Licht	Grijs	Bruin	Aardewerk			LZ3	

Bijlage 11.1.1 Sporelijst															
Spoor	Werkput	Vlak	Interpretatie (in vlak)	Interpretatie	Bewaringsdiepte	Vorm	Het/Hom	Tint	Kleur1	Kleur2	Inclusie1	Inclusie2	Inclusie3	Textuur	Spoorrelatie
2.043	2	1	Paalkuil	paalkuil	-10	Rond	Heterogeen	Matig	Bruin		Houtskool			LZ3	
2.044	2	1	Kuil	Natuurlijk		Ovaal	Heterogeen	Matig	Grijs	Bruin				LZ3	
2.045	2	1	Kuil	kuil	-24	Ovaal	Heterogeen	Matig	Bruin		Mangaan	Houtskool		LZ3	
2.046	2	1	Kuil	kuil	-16	Rechthoekig	Heterogeen	Matig	Bruin		Mangaan	Houtskool		LZ3	
2.047	2	1	Kuil	Natuurlijk	-20	Onregelmatig	Heterogeen	Matig	Bruin		Mangaan			LZ3	
2.048	2	1	Kuil	Kuil	-30	Rond	Heterogeen	Matig	Bruin		Aardewerk			LZ3	is gelijk aan spoor 2056
2.049	2	1	Kuil	Natuurlijk	-10	Onregelmatig	Heterogeen	Matig	Bruin		Mangaan			LZ3	
2.050	2	1	Natuurlijk	kuil	-35	Rechthoekig	Heterogeen	Licht	Grijs	Bruin	Mangaan	Houtskool		LZ3	
2.051	2	2	Kuil	kuil	-16	Rond	Heterogeen	Matig	Bruin	Grijs	Mangaan	Houtskool		LZ3	
2.052	2	2	Kuil	kuil	-8	Ovaal	Heterogeen	Matig	Bruin	Grijs	Mangaan			LZ3	
2.053	2	2	Kuil	kuil	-16	Ovaal	Heterogeen	Matig	Bruin	Grijs	Mangaan			LZ3	
2.054	2	2	Kuil	Natuurlijk		Ovaal	Heterogeen	Matig	Bruin	Grijs	Mangaan			LZ3	
2.055	2	2	Kuil	natuurlijk		Ovaal	Heterogeen	Matig	Bruin	Grijs				LZ3	
2.056	2	2	Kuil	kuil	-30	Onregelmatig	Heterogeen	Matig	Bruin	Grijs	Aardewerk	Mangaan		LZ3	
2.057	2	2	Kuil	kuil	-12	Ovaal	Heterogeen	Matig	Bruin	Grijs	Mangaan			LZ3	
2.058	2	2	Kuil	kuil	-20	Ovaal	Heterogeen	Matig	Bruin	Grijs	Mangaan			LZ3	
2.059	2	2	Kuil	kuil	-8	Onregelmatig	Heterogeen	Matig	Bruin	Grijs	Mangaan			LZ3	
2.060	2	2	Kuil	kuil	-10	Ovaal	Heterogeen	Matig	Bruin	Grijs	Mangaan			LZ3	
2.061	2	2	Paalkuil	Natuurlijk		Rond	Heterogeen	Matig	Bruin	Grijs				LZ3	
2.062	2	2	Kuil	natuurlijk		Ovaal	Heterogeen	Matig	Bruin	Grijs				LZ3	
2.063	2	2	Kuil	kuil	-5	Ovaal	Heterogeen	Matig	Grijs	Bruin	Aardewerk			LZ3	
2.064	2	2	Kuil	kuil	-10	Rond	Heterogeen	Matig	Grijs	Bruin	Mangaan			LZ3	
2.065	2	3	Kuil	kuil	-30	Ovaal	Heterogeen	Matig	Bruin	Grijs	Aardewerk	Mangaan		LZ3	
2.066	2	3	Kuil	Natuurlijk		Rond	Heterogeen	Matig	Grijs	Bruin	Mangaan			LZ3	
2.067	2	3	Kuil	Natuurlijk		Onregelmatig	Heterogeen	Matig	Bruin	Grijs	Mangaan			LZ3	
2.068	2	3	Kuil	kuil	-30	Onregelmatig	Heterogeen	Matig	Grijs	Bruin	Mangaan	Houtskool		LZ3	
2.069	2	3	Kuil	kuil	-10	Ovaal	Heterogeen	Matig	Grijs	Bruin	Mangaan	Ijzer		LZ3	gaat over S2071
2.070	2	3	Kuil	kuil	-10	Ovaal	Heterogeen	Matig	Bruin	Grijs	Mangaan			LZ3	oversneden door S2071
2.071	2	3	Kuil	kuil	-20	Onregelmatig	Heterogeen	Matig	Bruin	Grijs	Mangaan	Ijzer		LZ3	
2.072	2	3	Kuil	kuil	-40	Onregelmatig	Heterogeen	Matig	Bruin	Grijs	Mangaan	Houtskool		LZ3	oversnijdt S2.073
2.073	2	3	Kuil	natuurlijk		Ovaal	Heterogeen	Matig	Bruin	Beige	Aardewerk	Houtskool		LZ3	
2.074	2	3	Kuil	natuurlijk		Onregelmatig	Heterogeen	Matig	Bruin	Grijs	Mangaan			LZ3	
2.075	2	3	Kuil	kuil	-52	Onregelmatig	Heterogeen	Matig	Bruin	Grijs	Mangaan	Houtskool		LZ3	oversnijdt S2.076 en S2.077
2.076	2	3	Kuil	kuil	-52	Onregelmatig	Heterogeen	Matig	Bruin	Grijs	Mangaan	Houtskool		LZ3	
2.077	2	3	Kuil	kuil	-61	Onregelmatig	Heterogeen	Matig	Bruin	Grijs	Houtskool	Mangaan	Verbrande leem	LZ3	donkere humeuze kern met houtskool en verbrande leem
3.001	3	1	Greppel	Natuurlijk		Lineair	Heterogeen	Licht	Bruin		Mangaan			LZ3	
3.002	3	1	Kuil	Natuurlijk		Rond	Heterogeen	Matig	Bruin		Mangaan			LZ3	
3.003	3	1	Kuil	kuil	-128	Onregelmatig	Heterogeen	Matig	Bruin					LZ3	in de wand
3.004	3	1	Kuil	kuil	-30	Ovaal	Heterogeen	Donker	Bruin		Houtskool	Aardewerk		LZ3	met lichtbruine zandige kern, buitenste rand van verbrande leem en houtskool
3.005	3	1	Greppel	Natuurlijk		Lineair	Heterogeen	Matig	Bruin		Mangaan	Ijzer		LZ3	
3.006	3	1	Kuil	Kuil	-5	Onregelmatig	Heterogeen	Donker	Bruin		Houtskool	Verbrande leem		LZ3	
3.007	3	1	Kuil	Natuurlijk		Ovaal	Homogeen	Matig	Beige		Mangaan	Baksteen		LZ3	van onder proefsleuf
3.008	3	1	Greppel	Recent		Lineair	Heterogeen	Donker	Bruin		Baksteen			LZ3	rij met vierkante baksteenpuinfunderingen in
3.009	3	1	Kuil	Kuil	-30	Rechthoekig	Heterogeen	Donker	Bruin		Houtskool	Verbrande leem		LZ3	verbrande leem ook, recent?

Bijlage 11.1.2 Fotolijst

2016-254 - Aalst Merestraat - Sfeer - 001.JPG
2016-254 - Aalst Merestraat - Sfeer - 002.JPG
2016-254 - Aalst Merestraat - Sfeer - 003.JPG
2016-254 - Aalst Merestraat - Sfeer - 004.JPG
2016-254 - Aalst Merestraat - Sfeer - 005.JPG
2016-254 - Aalst Merestraat - Sfeer - 006.JPG
2016-254 - Aalst Merestraat - Sfeer - 007.JPG
2016-254 - Aalst Merestraat - Sfeer - 008.JPG
2016-254 - Aalst Merestraat - Sfeer - 009.JPG
2016-254 - Aalst Merestraat - Sfeer - 010.JPG
2016-254 - Aalst Merestraat - Sfeer - 011.JPG
2016-254 - Aalst Merestraat - Sfeer - 012.JPG
2016-254 - Aalst Merestraat - Sfeer - 013.JPG
2016-254 - Aalst Merestraat - Sfeer - 014.JPG
2016-254 - Aalst Merestraat - Sfeer - 015.JPG
2016-254 - Aalst Merestraat - Sfeer - 016.JPG
2016-254 - Aalst Merestraat - Sfeer - 017.JPG
2016-254 - Aalst Merestraat - Sfeer - 018.JPG
2016-254 - Aalst Merestraat - Sfeer - 019.JPG
2016-254 - Aalst Merestraat - Sfeer - 020.JPG
2016-254 - Aalst Merestraat - Sfeer - 021.JPG
2016-254 - Aalst Merestraat - Sfeer - 022.JPG
2016-254 - Aalst Merestraat - Sfeer - 023.JPG
2016-254 - Aalst Merestraat - Sfeer - 024.JPG
2016-254 - Aalst Merestraat - Sfeer - 025.JPG
2016-254 - Aalst Merestraat - Sfeer - 026.JPG
2016-254 - Aalst Merestraat - Sfeer - 027.JPG
2016-254 - Aalst Merestraat - Sfeer - 028.JPG
2016-254 - Aalst Merestraat - WP1 - Overzicht - 001.JPG
2016-254 - Aalst Merestraat - WP1 - Overzicht - 002.JPG
2016-254 - Aalst Merestraat - WP1 - Overzicht - 003.JPG
2016-254 - Aalst Merestraat - WP1 - Overzicht - 004.JPG
2016-254 - Aalst Merestraat - WP1 - Overzicht - 005.JPG
2016-254 - Aalst Merestraat - WP1 - Overzicht - 006.JPG
2016-254 - Aalst Merestraat - WP1 - Overzicht - 007.JPG
2016-254 - Aalst Merestraat - WP1 - Overzicht - 008.JPG
2016-254 - Aalst Merestraat - WP1 - Overzicht - 009.JPG
2016-254 - Aalst Merestraat - WP1 - Overzicht - 010.JPG
2016-254 - Aalst Merestraat - WP1 - Overzicht - 011.JPG
2016-254 - Aalst Merestraat - WP1 - Overzicht - 012.JPG
2016-254 - Aalst Merestraat - WP1 - Overzicht - 013.JPG
2016-254 - Aalst Merestraat - WP1 - Profiel 1 - 001.JPG
2016-254 - Aalst Merestraat - WP1 - Profiel 2 - 001.JPG
2016-254 - Aalst Merestraat - WP1 - S1001 - Vlak 1 - Coupe - 001.JPG
2016-254 - Aalst Merestraat - WP1 - S1002 - Vlak 1 - 001.JPG
2016-254 - Aalst Merestraat - WP1 - S1002 - Vlak 1 - Coupe - 001.JPG
2016-254 - Aalst Merestraat - WP1 - S1003 - Vlak 1 - 001.JPG
2016-254 - Aalst Merestraat - WP1 - S1003 - Vlak 1 - Coupe - 001.JPG
2016-254 - Aalst Merestraat - WP1 - S1004 - Vlak 1 - 001.JPG

Bijlage 11.1.2 Fotolijst

2016-254 - Aalst Merestraat - WP1 - S1004 - Vlak 1 - Coupe - 001.JPG
2016-254 - Aalst Merestraat - WP1 - S1005 - Vlak 1 - 001.JPG
2016-254 - Aalst Merestraat - WP1 - S1005 - Vlak 1 - Coupe - 001.JPG
2016-254 - Aalst Merestraat - WP1 - S1006 - Vlak 1 - 001.JPG
2016-254 - Aalst Merestraat - WP1 - S1006 - Vlak 1 - Coupe - 001.JPG
2016-254 - Aalst Merestraat - WP1 - S1006 - Vlak 1 - Coupe B - 001.JPG
2016-254 - Aalst Merestraat - WP1 - S1007 - Vlak 1 - 001.JPG
2016-254 - Aalst Merestraat - WP1 - S1008 - Vlak 1 - Coupe - 001.JPG
2016-254 - Aalst Merestraat - WP1 - S1008 - Vlak 1 - Coupe - 002.JPG
2016-254 - Aalst Merestraat - WP1 - S1008 - Vlak 1 - Coupe - 003.JPG
2016-254 - Aalst Merestraat - WP1 - S1008, S1009 - Vlak 1 - 001.JPG
2016-254 - Aalst Merestraat - WP1 - S1009 - Vlak 1 - Coupe - 001.JPG
2016-254 - Aalst Merestraat - WP1 - S1010 - Vlak 1 - 001.JPG
2016-254 - Aalst Merestraat - WP1 - S1010 - Vlak 1 - Coupe - 001.JPG
2016-254 - Aalst Merestraat - WP1 - S1011 - Vlak 1 - 001.JPG
2016-254 - Aalst Merestraat - WP1 - S1011 - Vlak 1 - Coupe - 001.JPG
2016-254 - Aalst Merestraat - WP1 - S1012 - Vlak 1 - 001.JPG
2016-254 - Aalst Merestraat - WP1 - S1012 - Vlak 1 - Coupe - 001.JPG
2016-254 - Aalst Merestraat - WP1 - S1013 - Vlak 1 - 001.JPG
2016-254 - Aalst Merestraat - WP1 - S1013 - Vlak 1 - Coupe - 001.JPG
2016-254 - Aalst Merestraat - WP1 - S1014 - Vlak 1 - 001.JPG
2016-254 - Aalst Merestraat - WP1 - S1014 - Vlak 1 - Coupe - 001.JPG
2016-254 - Aalst Merestraat - WP1 - S1015 - Vlak 1 - 001.JPG
2016-254 - Aalst Merestraat - WP1 - S1015 - Vlak 1 - Coupe - 001.JPG
2016-254 - Aalst Merestraat - WP1 - S1016 - Vlak 1 - Coupe - 001.JPG
2016-254 - Aalst Merestraat - WP1 - S1016 - Vlak 1 - Coupe - 002.JPG
2016-254 - Aalst Merestraat - WP1 - S1016, S1017 - Vlak 1 - 001.JPG
2016-254 - Aalst Merestraat - WP1 - S1017 - Vlak 1 - Coupe - 001.JPG
2016-254 - Aalst Merestraat - WP1 - S1017 - Vlak 1 - Coupe - 002.JPG
2016-254 - Aalst Merestraat - WP1 - S1017 - Vlak 1 - Coupe - 003.JPG
2016-254 - Aalst Merestraat - WP1 - S1017 - Vlak 1 - Coupe - 004.JPG
2016-254 - Aalst Merestraat - WP1 - S1018 - Vlak 1 - 001.JPG
2016-254 - Aalst Merestraat - WP1 - S1018 - Vlak 1 - Coupe - 001.JPG
2016-254 - Aalst Merestraat - WP2 - Overzicht - 001.JPG
2016-254 - Aalst Merestraat - WP2 - Overzicht - 002.JPG
2016-254 - Aalst Merestraat - WP2 - Overzicht - 003.JPG
2016-254 - Aalst Merestraat - WP2 - Overzicht - 004.JPG
2016-254 - Aalst Merestraat - WP2 - Overzicht - 005.JPG
2016-254 - Aalst Merestraat - WP2 - Overzicht - 006.JPG
2016-254 - Aalst Merestraat - WP2 - Overzicht - 007.JPG
2016-254 - Aalst Merestraat - WP2 - Overzicht - 008.JPG
2016-254 - Aalst Merestraat - WP2 - Overzicht - 009.JPG
2016-254 - Aalst Merestraat - WP2 - Overzicht - 010.JPG
2016-254 - Aalst Merestraat - WP2 - Overzicht - 011.JPG
2016-254 - Aalst Merestraat - WP2 - Overzicht - 012.JPG
2016-254 - Aalst Merestraat - WP2 - Overzicht - 013.JPG
2016-254 - Aalst Merestraat - WP2 - Overzicht - 014.JPG
2016-254 - Aalst Merestraat - WP2 - Overzicht - 015.JPG
2016-254 - Aalst Merestraat - WP2 - Overzicht - 016.JPG

Bijlage 11.1.2 Fotolijst

2016-254 - Aalst Merestraat - WP2 - Overzicht - 017.JPG
2016-254 - Aalst Merestraat - WP2 - Overzicht - 018.JPG
2016-254 - Aalst Merestraat - WP2 - Overzicht - 019.JPG
2016-254 - Aalst Merestraat - WP2 - Overzicht - 020.JPG
2016-254 - Aalst Merestraat - WP2 - Overzicht - 021.JPG
2016-254 - Aalst Merestraat - WP2 - Overzicht - 022.JPG
2016-254 - Aalst Merestraat - WP2 - Overzicht - 023.JPG
2016-254 - Aalst Merestraat - WP2 - Overzicht - 024.JPG
2016-254 - Aalst Merestraat - WP2 - Overzicht - 025.JPG
2016-254 - Aalst Merestraat - WP2 - Overzicht - 026.JPG
2016-254 - Aalst Merestraat - WP2 - Overzicht - 027.JPG
2016-254 - Aalst Merestraat - WP2 - Overzicht - 028.JPG
2016-254 - Aalst Merestraat - WP2 - Overzicht - 029.JPG
2016-254 - Aalst Merestraat - WP2 - Overzicht - 030.JPG
2016-254 - Aalst Merestraat - WP2 - Overzicht - 031.JPG
2016-254 - Aalst Merestraat - WP2 - Overzicht - 032.JPG
2016-254 - Aalst Merestraat - WP2 - Overzicht - 033.JPG
2016-254 - Aalst Merestraat - WP2 - Overzicht - 034.JPG
2016-254 - Aalst Merestraat - WP2 - Overzicht - 035.JPG
2016-254 - Aalst Merestraat - WP2 - Overzicht - 036.JPG
2016-254 - Aalst Merestraat - WP2 - Overzicht - 037.JPG
2016-254 - Aalst Merestraat - WP2 - Overzicht - 038.JPG
2016-254 - Aalst Merestraat - WP2 - Overzicht - 039.JPG
2016-254 - Aalst Merestraat - WP2 - Overzicht - 040.JPG
2016-254 - Aalst Merestraat - WP2 - Overzicht - Vlak 2 - 041.JPG
2016-254 - Aalst Merestraat - WP2 - Overzicht - Vlak 2 - 042.JPG
2016-254 - Aalst Merestraat - WP2 - Overzicht - Vlak 2 - 043.JPG
2016-254 - Aalst Merestraat - WP2 - Overzicht - Vlak 3 - 001.JPG
2016-254 - Aalst Merestraat - WP2 - Overzicht - Vlak 3 - 002.JPG
2016-254 - Aalst Merestraat - WP2 - Overzicht - Vlak 3 - 003.JPG
2016-254 - Aalst Merestraat - WP2 - Profiel 1 - Vlak 1 - 001.JPG
2016-254 - Aalst Merestraat - WP2 - Profiel 2 - Vlak 1 - 001.JPG
2016-254 - Aalst Merestraat - WP2 - Profiel 3 - 001.JPG
2016-254 - Aalst Merestraat - WP2 - Profiel 3 - 002.JPG
2016-254 - Aalst Merestraat - WP2 - Profiel 3 - 003.JPG
2016-254 - Aalst Merestraat - WP2 - S2001 - Vlak 1 - Coupe - 001.JPG
2016-254 - Aalst Merestraat - WP2 - S2001 - Vlak 1 - Coupe - 002.JPG
2016-254 - Aalst Merestraat - WP2 - S2002 - Vlak 1 - 001.JPG
2016-254 - Aalst Merestraat - WP2 - S2002 - Vlak 1 - Coupe - 001.JPG
2016-254 - Aalst Merestraat - WP2 - S2003 - Vlak 1 - Coupe - 001.JPG
2016-254 - Aalst Merestraat - WP2 - S2003 - Vlak 1 - Coupe - 002.JPG
2016-254 - Aalst Merestraat - WP2 - S2003 - Vlak 1 - Coupe - 003.JPG
2016-254 - Aalst Merestraat - WP2 - S2004 - Vlak 1 - 001.JPG
2016-254 - Aalst Merestraat - WP2 - S2004 - Vlak 1 - Coupe - 001.JPG
2016-254 - Aalst Merestraat - WP2 - S2005 - Vlak 1 - 001.JPG
2016-254 - Aalst Merestraat - WP2 - S2005 - Vlak 1 - Coupe - 001.JPG
2016-254 - Aalst Merestraat - WP2 - S2006 - Vlak 1 - 001.JPG
2016-254 - Aalst Merestraat - WP2 - S2006 - Vlak 1 - Coupe - 001.JPG
2016-254 - Aalst Merestraat - WP2 - S2006 - Vlak 1 - Coupe B - 001.JPG

Bijlage 11.1.2 Fotolijst

2016-254 - Aalst Merestraat - WP2 - S2006 - Vlak 1 - Coupe B - 002.JPG
2016-254 - Aalst Merestraat - WP2 - S2007 - Vlak 1 - Coupe - 001.JPG
2016-254 - Aalst Merestraat - WP2 - S2007, S2008 - Vlak 1 - 001.JPG
2016-254 - Aalst Merestraat - WP2 - S2008 - Vlak 1 - Coupe - 001.JPG
2016-254 - Aalst Merestraat - WP2 - S2009 - Vlak 1 - 001.JPG
2016-254 - Aalst Merestraat - WP2 - S2009 - Vlak 1 - Coupe - 001.JPG
2016-254 - Aalst Merestraat - WP2 - S2009 - Vlak 1 - Coupe - 002.JPG
2016-254 - Aalst Merestraat - WP2 - S2009 - Vlak 1 - Coupe - 003.JPG
2016-254 - Aalst Merestraat - WP2 - S2010 - Vlak 1 - Coupe - 001.JPG
2016-254 - Aalst Merestraat - WP2 - S2010 - Vlak 1 - Coupe - 002.JPG
2016-254 - Aalst Merestraat - WP2 - S2011 - Vlak 1 - 001.JPG
2016-254 - Aalst Merestraat - WP2 - S2011 - Vlak 1 - Coupe - 001.JPG
2016-254 - Aalst Merestraat - WP2 - S2012 - Vlak 1 - 001.JPG
2016-254 - Aalst Merestraat - WP2 - S2012 - Vlak 1 - Coupe - 002.JPG
2016-254 - Aalst Merestraat - WP2 - S2012 - Vlak 1 - Coupe - 003.JPG
2016-254 - Aalst Merestraat - WP2 - S2013 - Vlak 1 - 001.JPG
2016-254 - Aalst Merestraat - WP2 - S2013 - Vlak 1 - Coupe - 001.JPG
2016-254 - Aalst Merestraat - WP2 - S2014 - Vlak 1 - Coupe - 001.JPG
2016-254 - Aalst Merestraat - WP2 - S2015 - Vlak 1 - Coupe - 001.JPG
2016-254 - Aalst Merestraat - WP2 - S2015 - Vlak 1 - Coupe - 002.JPG
2016-254 - Aalst Merestraat - WP2 - S2015, S2018 - Vlak 1 - 001.JPG
2016-254 - Aalst Merestraat - WP2 - S2016 - Vlak 1 - 001.JPG
2016-254 - Aalst Merestraat - WP2 - S2016 - Vlak 1 - Coupe - 001.JPG
2016-254 - Aalst Merestraat - WP2 - S2017 - Vlak 1 - 001.JPG
2016-254 - Aalst Merestraat - WP2 - S2017 - Vlak 1 - Coupe - 001.JPG
2016-254 - Aalst Merestraat - WP2 - S2018 - Vlak 1 - Coupe - 001.JPG
2016-254 - Aalst Merestraat - WP2 - S2019 - Vlak 1 - 001.JPG
2016-254 - Aalst Merestraat - WP2 - S2019 - Vlak 1 - Coupe - 001.JPG
2016-254 - Aalst Merestraat - WP2 - S2020 - Vlak 1 - Coupe - 001.JPG
2016-254 - Aalst Merestraat - WP2 - S2020, S2021, S2022, S2023 - Vlak 1 - 001.JPG
2016-254 - Aalst Merestraat - WP2 - S2020, S2021 - Vlak 1 - Coupe - 001.JPG
2016-254 - Aalst Merestraat - WP2 - S2020, S2021 - Vlak 1 - Coupe - 002.JPG
2016-254 - Aalst Merestraat - WP2 - S2021 - Vlak 1 - Coupe - 001.JPG
2016-254 - Aalst Merestraat - WP2 - S2022 - Vlak 1 - Coupe - 001.JPG
2016-254 - Aalst Merestraat - WP2 - S2024 - Vlak 1 - 001.JPG
2016-254 - Aalst Merestraat - WP2 - S2024 - Vlak 1 - 002.JPG
2016-254 - Aalst Merestraat - WP2 - S2024 - Vlak 1 - Coupe - 001.JPG
2016-254 - Aalst Merestraat - WP2 - S2025, S2026 - Vlak 1 - 001.JPG
2016-254 - Aalst Merestraat - WP2 - S2025, S2026 - Vlak 1 - Coupe - 001.JPG
2016-254 - Aalst Merestraat - WP2 - S2026 - Vlak 1 - Coupe - 001.JPG
2016-254 - Aalst Merestraat - WP2 - S2027 - Vlak 1 - 001.JPG
2016-254 - Aalst Merestraat - WP2 - S2027 - Vlak 1 - Coupe - 001.JPG
2016-254 - Aalst Merestraat - WP2 - S2028 - Vlak 1 - 001.JPG
2016-254 - Aalst Merestraat - WP2 - S2028 - Vlak 1 - 002.JPG
2016-254 - Aalst Merestraat - WP2 - S2028 - Vlak 1 - Coupe - 001.JPG
2016-254 - Aalst Merestraat - WP2 - S2029 - Vlak 1 - Coupe - 001.JPG
2016-254 - Aalst Merestraat - WP2 - S2030 - Vlak 1 - 001.JPG
2016-254 - Aalst Merestraat - WP2 - S2030 - Vlak 1 - Coupe - 001.JPG
2016-254 - Aalst Merestraat - WP2 - S2030 - Vlak 1 - Coupe - 002.JPG

Bijlage 11.1.2 Fotolijst

2016-254 - Aalst Merestraat - WP2 - S2047, S2065, S2066, S2067 - Vlak 3 - 011.JPG
2016-254 - Aalst Merestraat - WP2 - S2047, S2065, S6066, S2067 - Vlak 2 - 001.JPG
2016-254 - Aalst Merestraat - WP2 - S2047, S2065, S6066, S2067 - Vlak 2 - 002.JPG
2016-254 - Aalst Merestraat - WP2 - S2050 - Vlak 1 - 001.JPG
2016-254 - Aalst Merestraat - WP2 - S2050 - Vlak 1 - 002.JPG
2016-254 - Aalst Merestraat - WP2 - S2050 - Vlak 1 - Coupe - 001.JPG
2016-254 - Aalst Merestraat - WP2 - S2050 - Vlak 1 - Coupe - 002.JPG
2016-254 - Aalst Merestraat - WP2 - S2051 - Vlak 1 - 001.JPG
2016-254 - Aalst Merestraat - WP2 - S2051 - Vlak 1 - 002.JPG
2016-254 - Aalst Merestraat - WP2 - S2051 - Vlak 2 - 001.JPG
2016-254 - Aalst Merestraat - WP2 - S2052 - Vlak 2 - 001.JPG
2016-254 - Aalst Merestraat - WP2 - S2052 - Vlak 2 - Coupe - 001.JPG
2016-254 - Aalst Merestraat - WP2 - S2052 - Vlak 2 - Coupe - 002.JPG
2016-254 - Aalst Merestraat - WP2 - S2052 - Vlak 2 - Coupe - 003.JPG
2016-254 - Aalst Merestraat - WP2 - S2053 - Vlak 2 - 001.JPG
2016-254 - Aalst Merestraat - WP2 - S2054 - Vlak 2 - 001.JPG
2016-254 - Aalst Merestraat - WP2 - S2055 - Vlak 2 - Coupe - 001.JPG
2016-254 - Aalst Merestraat - WP2 - S2055, S2056 - Vlak 2 - 001.JPG
2016-254 - Aalst Merestraat - WP2 - S2055, S2056 - Vlak 2 - 002.JPG
2016-254 - Aalst Merestraat - WP2 - S2056 - Vlak 2 - Coupe - 001.JPG
2016-254 - Aalst Merestraat - WP2 - S2056 - Vlak 2 - Coupe A - 001.JPG
2016-254 - Aalst Merestraat - WP2 - S2056, S2064 - Vlak 2 - Coupe - 001.JPG
2016-254 - Aalst Merestraat - WP2 - S2056, S2064 - Vlak 2 - Coupe - 002.JPG
2016-254 - Aalst Merestraat - WP2 - S2057 - Vlak 2 - 001.JPG
2016-254 - Aalst Merestraat - WP2 - S2057 - Vlak 2 - Coupe - 001.JPG
2016-254 - Aalst Merestraat - WP2 - S2058 - Vlak 2 - Coupe - 001.JPG
2016-254 - Aalst Merestraat - WP2 - S2058, S2059, S2060 - Vlak 2 - 001.JPG
2016-254 - Aalst Merestraat - WP2 - S2059, S2060 - Vlak 2 - Coupe - 001.JPG
2016-254 - Aalst Merestraat - WP2 - S2061 - Vlak 2 - Coupe - 001.JPG
2016-254 - Aalst Merestraat - WP2 - S2061 - Vlak 2 - Coupe - 002.JPG
2016-254 - Aalst Merestraat - WP2 - S2061, S2062 - Vlak 2 - 001.JPG
2016-254 - Aalst Merestraat - WP2 - S2063 - Vlak 2 - Coupe - 001.JPG
2016-254 - Aalst Merestraat - WP2 - S2063 - Vlak 2 - Coupe - 002.JPG
2016-254 - Aalst Merestraat - WP2 - S2065 - Vlak 2 - 001.JPG
2016-254 - Aalst Merestraat - WP2 - S2065 - Vlak 2 - 002.JPG
2016-254 - Aalst Merestraat - WP2 - S2065 - Vlak 2 - 003.JPG
2016-254 - Aalst Merestraat - WP2 - S2066, S2067 - Vlak 2 - Coupe - 001.JPG
2016-254 - Aalst Merestraat - WP2 - S2066, S2067 - Vlak 2 - Coupe - 002.JPG
2016-254 - Aalst Merestraat - WP2 - S2066, S2067 - Vlak 2 - Coupe - 003.JPG
2016-254 - Aalst Merestraat - WP2 - S2066, S2067 - Vlak 2 - Coupe - 004.JPG
2016-254 - Aalst Merestraat - WP2 - S2066, S2067 - Vlak 2 - Coupe - 005.JPG
2016-254 - Aalst Merestraat - WP2 - S2066, S2067 - Vlak 2 - Coupe A - 001.JPG
2016-254 - Aalst Merestraat - WP2 - S2066, S2067 - Vlak 2 - Coupe A - 002.JPG
2016-254 - Aalst Merestraat - WP2 - S2066, S2067 - Vlak 2 - Coupe A - 003.JPG
2016-254 - Aalst Merestraat - WP2 - S2068 - Vlak 2 - 001.JPG
2016-254 - Aalst Merestraat - WP2 - S2068 - Vlak 2 - 002.JPG
2016-254 - Aalst Merestraat - WP2 - S2068 - Vlak 2 - 003.JPG
2016-254 - Aalst Merestraat - WP2 - S2068 - Vlak 2 - 004.JPG
2016-254 - Aalst Merestraat - WP2 - S2068 - Vlak 2 - 005.JPG

Bijlage 11.1.2 Fotolijst

2016-254 - Aalst Merestraat - WP3 - Overzicht - Vlak 2 - 001.JPG
2016-254 - Aalst Merestraat - WP3 - Overzicht - Vlak 2 - 002.JPG
2016-254 - Aalst Merestraat - WP3 - Overzicht - Vlak 2 - 003.JPG
2016-254 - Aalst Merestraat - WP3 - Overzicht - Vlak 2 - 004.JPG
2016-254 - Aalst Merestraat - WP3 - Overzicht - Vlak 2 - 005.JPG
2016-254 - Aalst Merestraat - WP3 - Overzicht - Vlak 2 - 006.JPG
2016-254 - Aalst Merestraat - WP3 - Overzicht - Vlak 2 - 007.JPG
2016-254 - Aalst Merestraat - WP3 - Profiel 1 - 001.JPG
2016-254 - Aalst Merestraat - WP3 - Profiel 1 - 002.JPG
2016-254 - Aalst Merestraat - WP3 - Profiel 2 - 001.JPG
2016-254 - Aalst Merestraat - WP3 - Profiel 2 - 002.JPG
2016-254 - Aalst Merestraat - WP3 - Profiel 2 - 003.JPG
2016-254 - Aalst Merestraat - WP3 - S2012 - Vlak 1 - 001.JPG
2016-254 - Aalst Merestraat - WP3 - S2012 - Vlak 1 - 002.JPG
2016-254 - Aalst Merestraat - WP3 - S2012 - Vlak 1 - Coupe - 001.JPG
2016-254 - Aalst Merestraat - WP3 - S2012 - Vlak 1 - Coupe - 002.JPG
2016-254 - Aalst Merestraat - WP3 - S2012 - Vlak 1 - Coupe - 003.JPG
2016-254 - Aalst Merestraat - WP3 - S2012 - Vlak 1 - Coupe - 004.JPG
2016-254 - Aalst Merestraat - WP3 - S2012 - Vlak 1 - Coupe - 005.JPG
2016-254 - Aalst Merestraat - WP3 - S2012 - Vlak 1 - Coupe - 006.JPG
2016-254 - Aalst Merestraat - WP3 - S2012 - Vlak 1 - Coupe B - 001.JPG
2016-254 - Aalst Merestraat - WP3 - S2012 - Vlak 1 - Coupe B - 002.JPG
2016-254 - Aalst Merestraat - WP3 - S2012 - Vlak 1 - Coupe B - 003.JPG
2016-254 - Aalst Merestraat - WP3 - S2012 - Vlak 1 - Coupe B - 004.JPG
2016-254 - Aalst Merestraat - WP3 - S3002 - Vlak 1 - 001.JPG
2016-254 - Aalst Merestraat - WP3 - S3002 - Vlak 1 - Coupe - 001.JPG
2016-254 - Aalst Merestraat - WP3 - S3003 - Vlak 1 - Coupe - 001.JPG
2016-254 - Aalst Merestraat - WP3 - S3003 - Vlak 1 - Coupe - 002.JPG
2016-254 - Aalst Merestraat - WP3 - S3003 - Vlak 1 - Coupe - 003.JPG
2016-254 - Aalst Merestraat - WP3 - S3003 - Vlak 1 - Coupe - 004.JPG
2016-254 - Aalst Merestraat - WP3 - S3003 - Vlak 1 - Coupe - 005.JPG
2016-254 - Aalst Merestraat - WP3 - S3003 - Vlak 1 - Coupe - 006.JPG
2016-254 - Aalst Merestraat - WP3 - S3003 - Vlak 1 - Coupe - 007.JPG
2016-254 - Aalst Merestraat - WP3 - S3003 - Vlak 1 - Coupe - 008.JPG
2016-254 - Aalst Merestraat - WP3 - S3003 - Vlak 1 - Coupe - 009.JPG
2016-254 - Aalst Merestraat - WP3 - S3003 - Vlak 1 - Coupe - 010.JPG
2016-254 - Aalst Merestraat - WP3 - S3004 - Vlak 1 - 001.JPG
2016-254 - Aalst Merestraat - WP3 - S3004 - Vlak 1 - 002.JPG
2016-254 - Aalst Merestraat - WP3 - S3004 - Vlak 1 - 003.JPG
2016-254 - Aalst Merestraat - WP3 - S3004 - Vlak 1 - Coupe - 001.JPG
2016-254 - Aalst Merestraat - WP3 - S3004 - Vlak 1 - Coupe - 002.JPG
2016-254 - Aalst Merestraat - WP3 - S3005 - Vlak 1 - Coupe A - 001.JPG
2016-254 - Aalst Merestraat - WP3 - S3005 - Vlak 1 - Coupe B - 001.JPG
2016-254 - Aalst Merestraat - WP3 - S3006 - Vlak 1 - Coupe - 001.JPG
2016-254 - Aalst Merestraat - WP3 - S3007 - Vlak 1 - 001.JPG
2016-254 - Aalst Merestraat - WP3 - S3007 - Vlak 1 - Coupe - 001.JPG
2016-254 - Aalst Merestraat - WP3 - S3008 - Vlak 1 - Coupe - 001.JPG
2016-254 - Aalst Merestraat - WP3 - S3009 - Vlak 1 - 001.JPG
2016-254 - Aalst Merestraat - WP3 - S3009 - Vlak 1 - 002.JPG

Bijlage 11.1.2 Fotolijst

2016-254 - Aalst Merestraat - WP3 - S3009 - Vlak 1 - 003.JPG

2016-254 - Aalst Merestraat - WP3 - S3009 - Vlak 1 - Coupe - 001.JPG

2016-254 - Aalst Merestraat - WP3 - S3009 - Vlak 1 - Coupe A - 001.JPG

2016-254 - Aalst Merestraat - WP3 - S3009 - Vlak 1 - Coupe A - 002.JPG

2016-254 - Aalst Merestraat - WP3 - S3009 - Vlak 1 - Coupe B - 001.JPG

Bijlage 11.1.3 Vondstenlijst								
vondstnummer	werkput	vlak	spoor	vulling	categorie	context	aanvullende info	datum
1	2	1	2010	1	AW	COUPE	coupe B	22/06/2016
2	2	1	2003		BOT	COUPE		22/06/2016
3	2	1	2006	1	AW	AFW	pijpje	22/06/2016
4	2	1	2003		MXX	AFW	NAGEL	22/06/2016
5	2	1	2003	1	AW	AFW		22/06/2016
6	2	1	2010		AW	AFW	pijpje	22/06/2016
7	2	1	2012	3	HGV AW	COUPE		22/06/2016
8	2	1	2007	1	AW	AFW		22/06/2016
8	2	1	2007	1	BM	AFW		22/06/2016
9	2	1	2029	3	AW	AAVL		22/06/2016
10	2	1	2020	1	GLAS	COUPE		22/06/2016
11	2	1	2011		AW	COUPE	industrieel wit en mogelijks Doorniks aardewerk	23/06/2016
11	2	1	2011		MET	COUPE		23/06/2016
11	2	1	2011		GLAS	COUPE		23/06/2016
12	2	1	2032	1	HGV AW	COUPE		23/06/2016
12	2	1	2032	1	NST	COUPE		23/06/2016
13	2	1	2047		HGV AW	AAVL		23/06/2016
14	2	1	2034	1	BM	PUNT		23/06/2016
15	2	1	2045		HGV AW	AAVL		23/06/2016
16	2	1	ploeglaag		AW	AAVL	pijpje	23/06/2016
17	2	1	2039		AW	COUPE		23/06/2016
18	2	1	2041	1	AW	COUPE		23/06/2016
19	2	1	2047	1 en 2	HGV AW	AAVL		23/06/2016
20	2	1, 2	2045		HGV AW	AAVL	overgang tsn vlak 1 en vlak 2	23/06/2016
21	2	2	2047		HGV AW	AAVL		27/06/2016
22	2	2	2046		HGV AW	AFW		27/06/2016
23	2	2	2063		HGV AW	COUPE		27/06/2016
24	2	2	2063		HGV AW	AFW		27/06/2016
25	2	2	2056		HGV AW	COUPE		27/06/2016
26	2	2	2047		HGV AW	COUPE		28/06/2016
26	2	2	2047		HGV AW	COUPE		28/06/2016
27	2	2	2047		VERB BOT	COUPE		27/06/2016

Bijlage 11.1.3 Vondstenlijst								
vondstnummer	werkput	vlak	spoor	vulling	categorie	context	aanvullende info	datum
28	2	2	2051		AW	AFW		27/06/2016
29	2	1	2028		AW	AFW		27/06/2016
30	2	3	2065		HGV AW	AFW		27/06/2016
31	2	3	2077		HGV AW	AFW		27/06/2016
32	2	3	2047		HGV AW	AAVL		27/06/2016
33	2	3	2072		HGV AW	AFW		28/06/2016
34	2	3	2069		HGV AW	AFW		28/06/2016
35	2	3	2073		HGV AW	AFW		28/06/2016
36	2	3	2077	3	HGV AW	AFW		28/06/2016
37	2	3	2077		SILEX	AFW		28/09/2016
38	2	3	2067	1	HGV AW	AFW		28/06/2016
39	3	1	2012		HGV AW	COUPE		28/06/2016
40	3	1	3008		AW	AAVL		28/06/2016
41	3	1	XX		SILEX	XX		29/06/2016
41	3	1	XX		AW	XX	PIJPENKOPJE	29/06/2016
42	3	1	3009		MXX	COUPE	NAGEL	29/06/2016
43	3	1	3006		AW	AAVL		29/06/2016
44	3	1	2012		HGV AW	AFW		29/06/2016
45	1	1	1016		HGV AW	COUPE		30/06/2016
46	1	1	1017		HGV AW	AFW		30/06/2016
47	1	1	1016		HGV AW	AFW		30/06/2016
48	3	1	3004		BM	COUPE		30/06/2016
49	3	1	3004		AW	COUPE	POST ME AW	30/06/2016
50	3	1	3004	1	MXX	AFW		30/06/2016
50	3	1	3004	1	AW	AFW	POST ME AW	30/06/2016

Bijlage 11.1.4 Profielenlijst

Profiel	WP	Richting	Profielfoto	Tekenvel	Datum	Opmerkingen
1.1	1	O-W	ja	4	6/07/2016	geen
1.2	1	O-W	ja	4	6/07/2016	geen
2.1	2	NO-ZW	ja	2	6/07/2016	geen
2.2	2	ZO-NW	ja	2	6/07/2016	geen
2.3	2	O-W	ja	3	6/07/2016	geen
3.1	3	O-W	ja	neen	6/07/2016	geen
3.2	3	ZO-NW	ja	5	6/07/2016	geen

Aalst-Merestraat

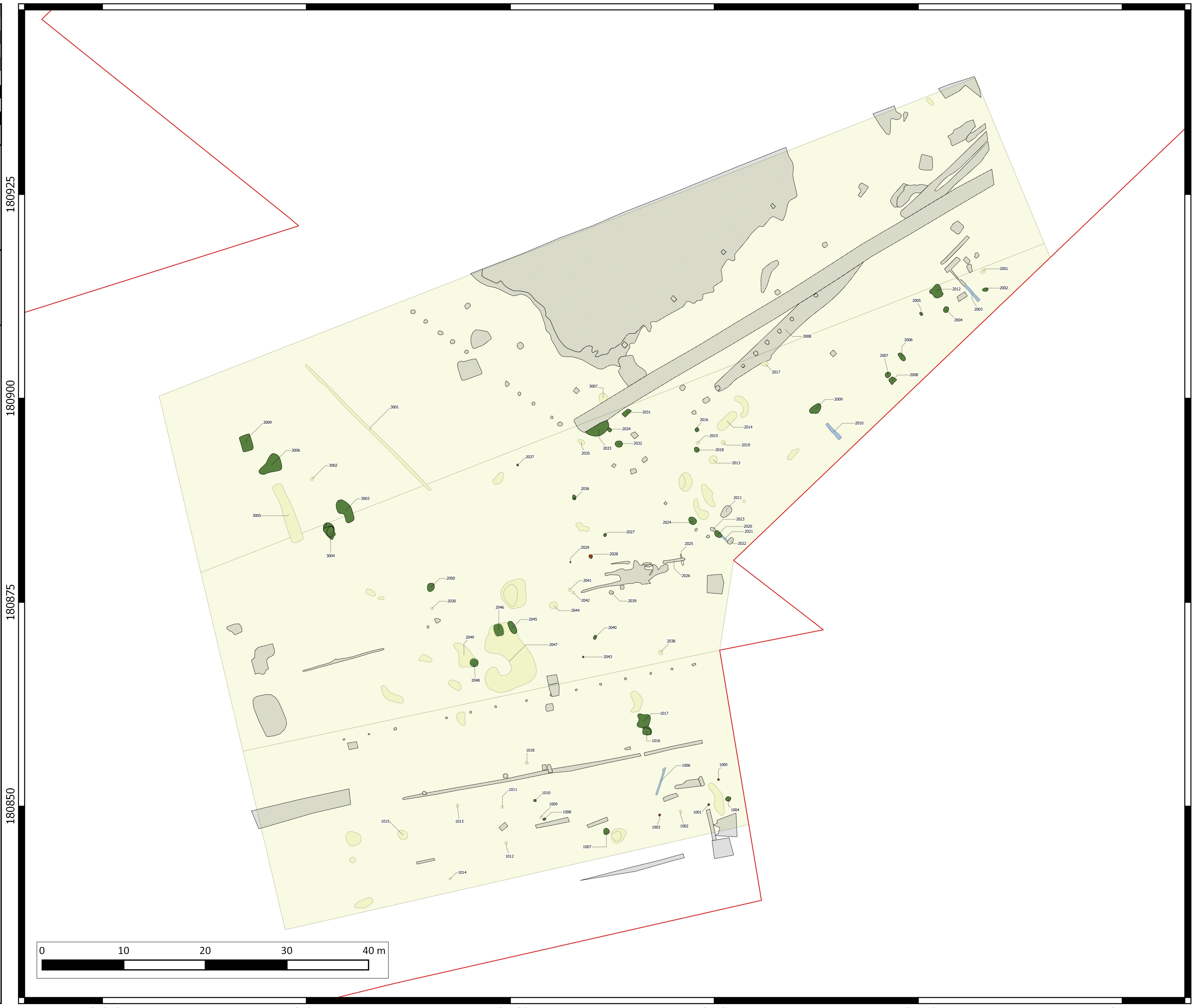
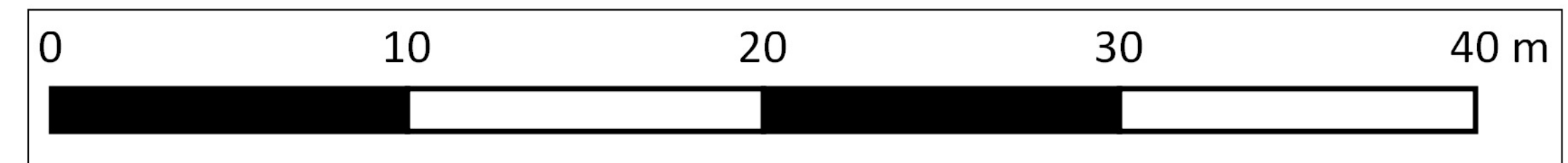
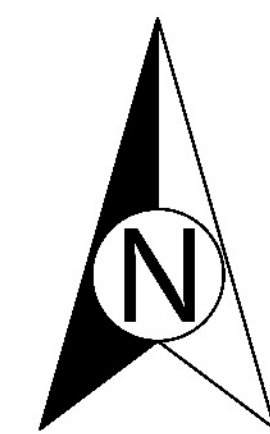
Allesporenkaart

Projectnummer BAAC: 2016-254
Vergunningsnummer: 2016/261

Legende

- Plangebied
- Greppel
- Kuil
- Natuurlijk
- Paalkuil
- Recent
- Werkputten

05/01/2017



Aalst-Merestraat

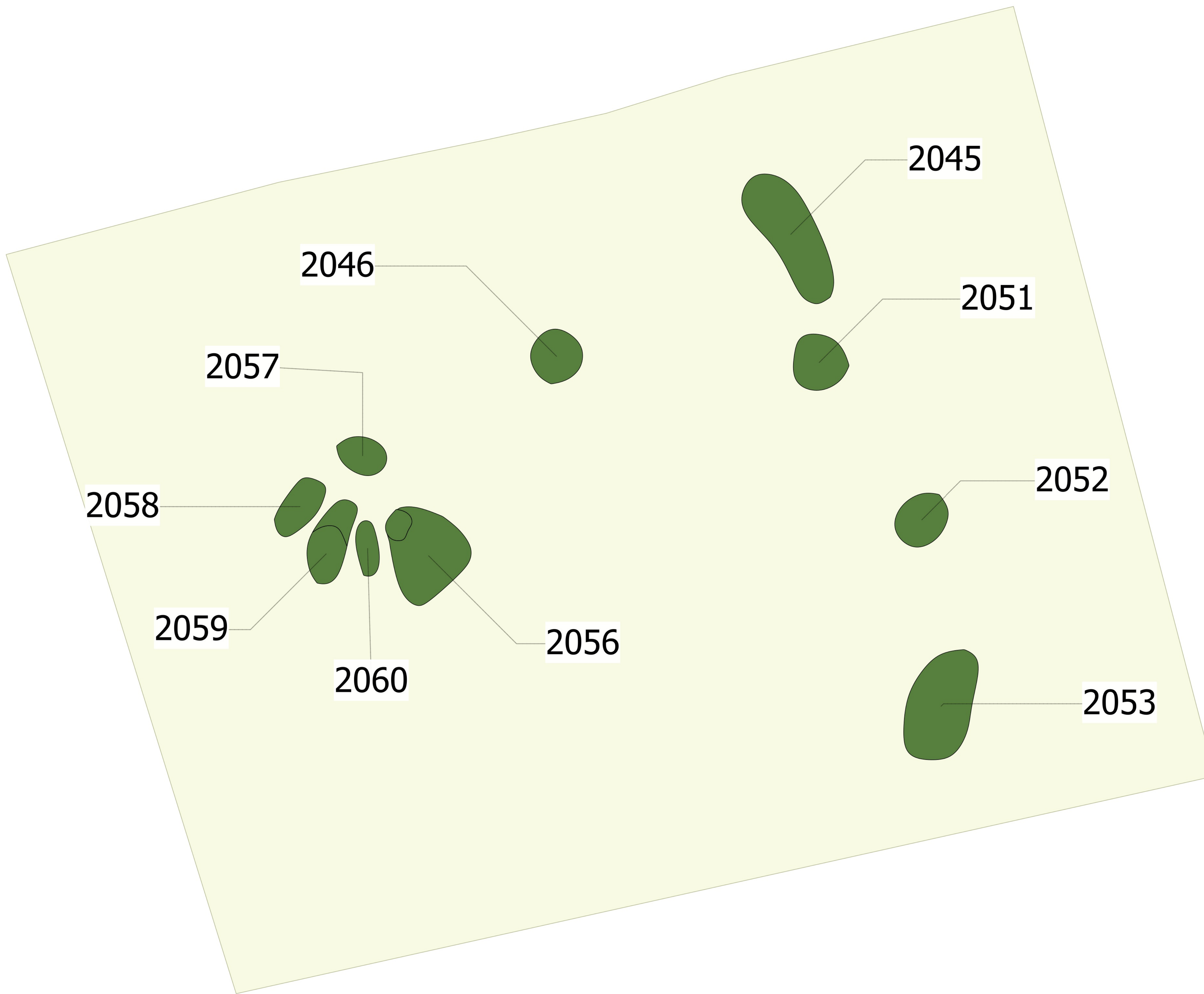
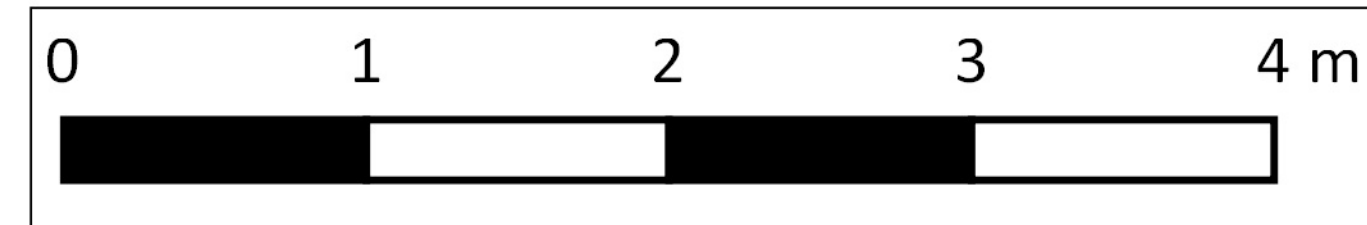
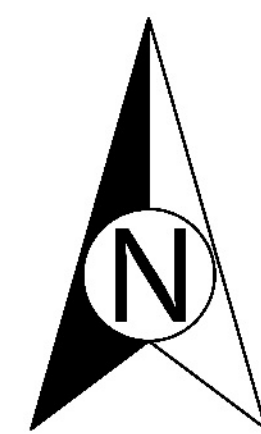
Allesporenkaart Vlak 2

Projectnummer BAAC: 2016-254
Vergunningsnummer: 2016/261

Legende

- Plangebied
- Greppel
- Kuil
- Natuurlijk
- Paalkuil
- Recent
- Vlak 2

05/01/2017



Aalst-Merestraat

Allesporenkaart Vlak 3

Projectnummer BAAC: 2016-254
Vergunningsnummer: 2016/261

Legende

- Plangebied
- Greppel
- Kuil
- Natuurlijk
- Paalkuil
- Recent
- Vlak 3

05/01/2017

